

UNIVERSITATEA "POLITEHNICA" TIMISOARA  
FACULTATEA DE MECANICA

617.595/2  
180 C

inginer Adriana Minerva MOTICA

Teza de doctorat

**"OPTIMIZAREA STRUCTURILOR DE REZISTENTA ALE MASINILOR UNELTE  
PRIN PROIECTAREA ASISTATA DE CALCULATOR CU METODE NUMERICE  
APLICATII PE STRUNGURI NORMALE"**

**Anexa B1**

BIBLIOTECA CENTRALA  
UNIVERSITATEA "POLITEHNICA"  
TIMISOARA

**Conducator stiintific Profesor dr.ing Ionel DOBRE**

**1996**

## CUPRINS

Calculul vibratiilor fortate-Program MARC-MENTAT II	
Varianta stru_f4( $n=800\text{rpm}$ ; $p_0=0,1p_{0,\text{nod}}$ ; amortizare structurala)	B1
Deplasari dir.X-10 incrementi	B2-B12
Deplasari dir.Y-10 incrementi	B13-B23
Deplasari dir.Z-10 incrementi	B24-B34
Acceleratii dir.X,Y,Z	B36-B37
Deplasari nod 863(dir.x,y,z)	B38
Deplasari nod 863 comparativ cu nodurile684 si 963(dir.x,y,z)	B39-B41
Acceleratii nod 863(dir.x,y,z)	B42
Acceleratii nod 863 comparativ cu nodurile684 si 963(dir.x,y,z)	B43-B45
Deplasari nod 822(dir.x,y,z)	B46
Deplasari nod 822 comparativ cu nodurile657 si 941(dir.x,y,z)	B47-B49
Acceleratii nod 822(dir.x,y,z)	B50
Acceleratii nod 822 comparativ cu nodurile657 si 941(dir.x,y,z)	B51-B53
Deplasari nod 219(dir.x,y,z)	B54
Deplasari nod 219 comparativ cu nodurile141 si 302(dir.x,y,z)	B55-B57
Acceleratii nod 219(dir.x,y,z)	B58
Deplasari nod 186(dir.x,y,z)	B59
Deplasari nod 186 comparativ cu nodurile108 si 265(dir.x,y,z)	B60-B62
Acceleratii nod 186(dir.x,y,z)	B63
Deplasari nod 1495(dir.x,y,z)	B64
Deplasari nod 1061(dir.x,y,z)	B65
Deplasari nod 1066(dir.x,y,z)	B66
Deplasari nod 959(dir.x,y,z)	B67
Deplasari nod 1004(dir.x,y,z)	B68
Deplasari nod 1027(dir.x,y,z)	B69
Deplasari nod 1092(dir.x,y,z)	B70
Deplasari nod 1093(dir.x,y,z)	B71
Deplasari nod 1697(dir.x,y,z)	B72
Deplasari nod 1700(dir.x,y,z)	B73
Varianta stru_f2( $n=1000\text{rpm}$ ; $p_0=0,1p_{0,\text{nod}}$ ; amortizare structurala)	B74
Deplasari dir.X-10 incrementi	B75-B85
Deplasari dir.Y-10 incrementi	B86-B96
Deplasari dir.Z-10 incrementi	B97-B108
Acceleratii dir.X,Y,Z	B109-B111
Deplasari nod 863(dir.x,y,z)	B112
Deplasari nod 863 comparativ cu nodurile684 si 963(dir.x,y,z)	B113-B115
Acceleratii nod 863(dir.x,y,z)	B116
Acceleratii nod 863 comparativ cu nodurile684 si 963(dir.x,y,z)	B117-B119
Deplasari nod 822(dir.x,y,z)	B120
Deplasari nod 822 comparativ cu nodurile657 si 941(dir.x,y,z)	B121-B123
Acceleratii nod 822(dir.x,y,z)	B124
Acceleratii nod 822 comparativ cu nodurile657 si 941(dir.x,y,z)	B125-B127
Deplasari nod 219(dir.x,y,z)	B128
Deplasari nod 219 comparativ cu nodurile141 si 302(dir.x,y,z)	B129-B131
Acceleratii nod 219(dir.x,y,z)	B132

Deplasari nod 186(dir.x,y,z)	B133
Deplasari nod 186 comparativ cu nodurile108 si 265(dir.x,y,z)	B134-B136
Acceleratii nod 186(dir.x,y,z)	B137
Deplasari nod 1495(dir.x,y,z)	B138
Deplasari nod 1061(dir.x,y,z)	B139
Deplasari nod 1066(dir.x,y,z)	B140
Deplasari nod 959(dir.x,y,z)	B141
Deplasari nod 1004(dir.x,y,z)	B142
Deplasari nod 1027(dir.x,y,z)	B143
Deplasari nod 1092(dir.x,y,z)	B144
Deplasari nod 1093(dir.x,y,z)	B145
Deplasari nod 1697(dir.x,y,z)	B146
Deplasari nod 1700(dir.x,y,z)	B147
Varianta stru_f(n=1200rpm;p <sub>0</sub> =0,1p <sub>0,nod</sub> ;amortizare structurala)	B148
Deplasari dir.X-10 incrementi	B149-B159
Deplasari dir.Y-10 incrementi	B160-B170
Deplasari dir.Z-10 incrementi	B171-B181
Acceleratii dir.X,Y,Z	B182-B184
Deplasari nod 863(dir.x,y,z)	B185
Deplasari nod 863 comparativ cu nodurile684 si 963(dir.x,y,z)	B186-B188
Acceleratii nod 863(dir.x,y,z)	B189
Acceleratii nod 863 comparativ cu nodurile684 si 963(dir.x,y,z)	B190-B192
Deplasari nod 822(dir.x,y,z)	B193
Deplasari nod 822 comparativ cu nodurile657 si 941(dir.x,y,z)	B194-B196
Acceleratii nod 822(dir.x,y,z)	B197
Acceleratii nod 822 comparativ cu nodurile657 si 941(dir.x,y,z)	B198-B200
Deplasari nod 219(dir.x,y,z)	B201
Deplasari nod 219 comparativ cu nodurile141 si 302(dir.x,y,z)	B202-B204
Acceleratii nod 219(dir.x,y,z)	B205
Deplasari nod 186(dir.x,y,z)	B206
Deplasari nod 186 comparativ cu nodurile108 si 265(dir.x,y,z)	B207-B209
Acceleratii nod 186(dir.x,y,z)	B210
Deplasari nod 1495(dir.x,y,z)	B211
Deplasari nod 1061(dir.x,y,z)	B212
Deplasari nod 1066(dir.x,y,z)	B213
Deplasari nod 959(dir.x,y,z)	B214
Deplasari nod 1027(dir.x,y,z)	B215
Deplasari nod 1004(dir.x,y,z)	B216
Deplasari nod 1092(dir.x,y,z)	B217
Deplasari nod 1093(dir.x,y,z)	B218
Deplasari nod 1700(dir.x,y,z)	B219

**CALCULUL VIBRATIILOR FORTATE pentru:**

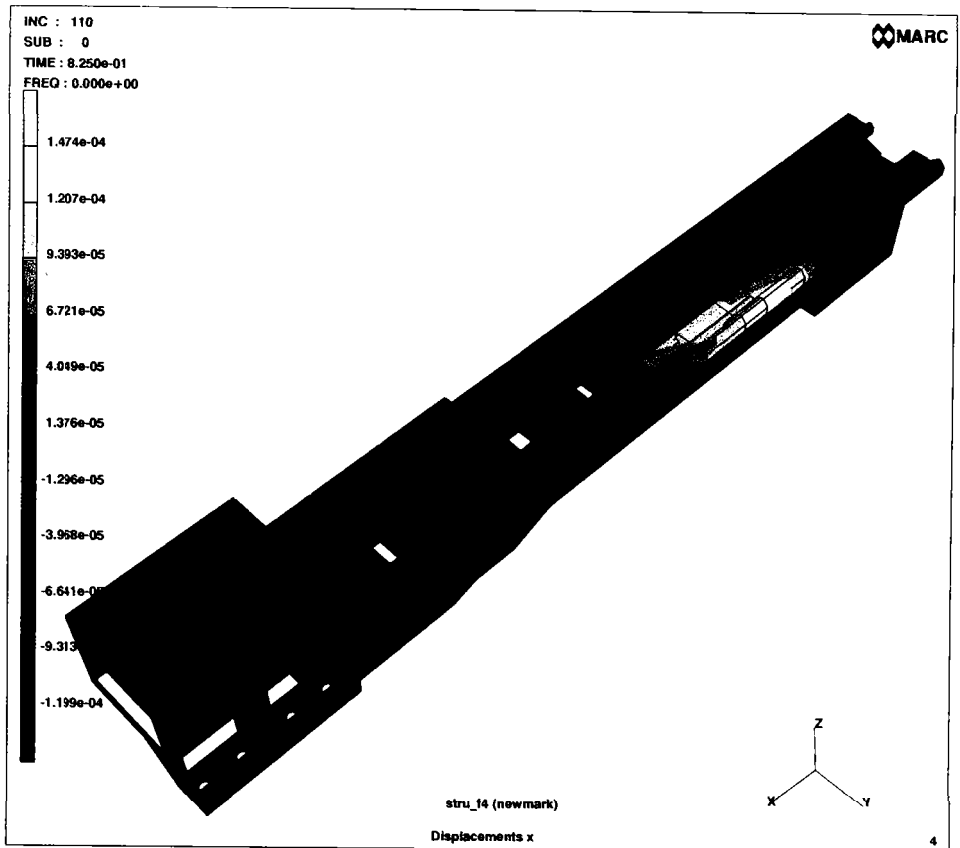
**$n=800$  rpm**

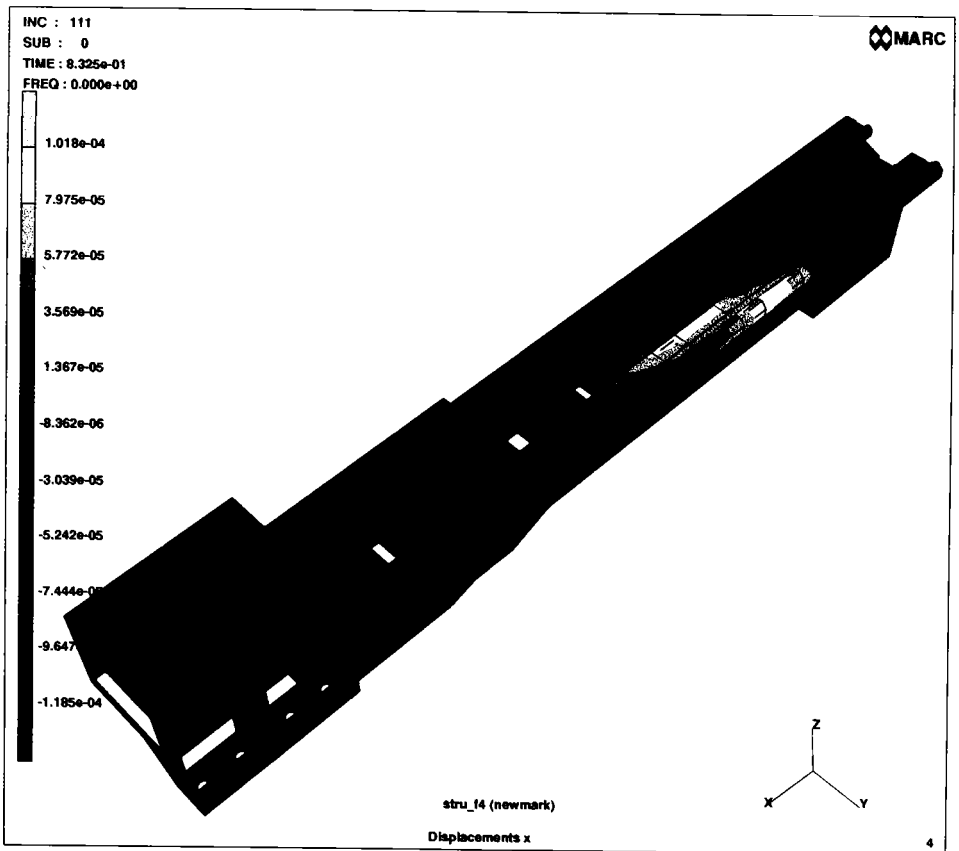
**$t=1.5$  s ;  $\Delta t=0.0075$  ms**

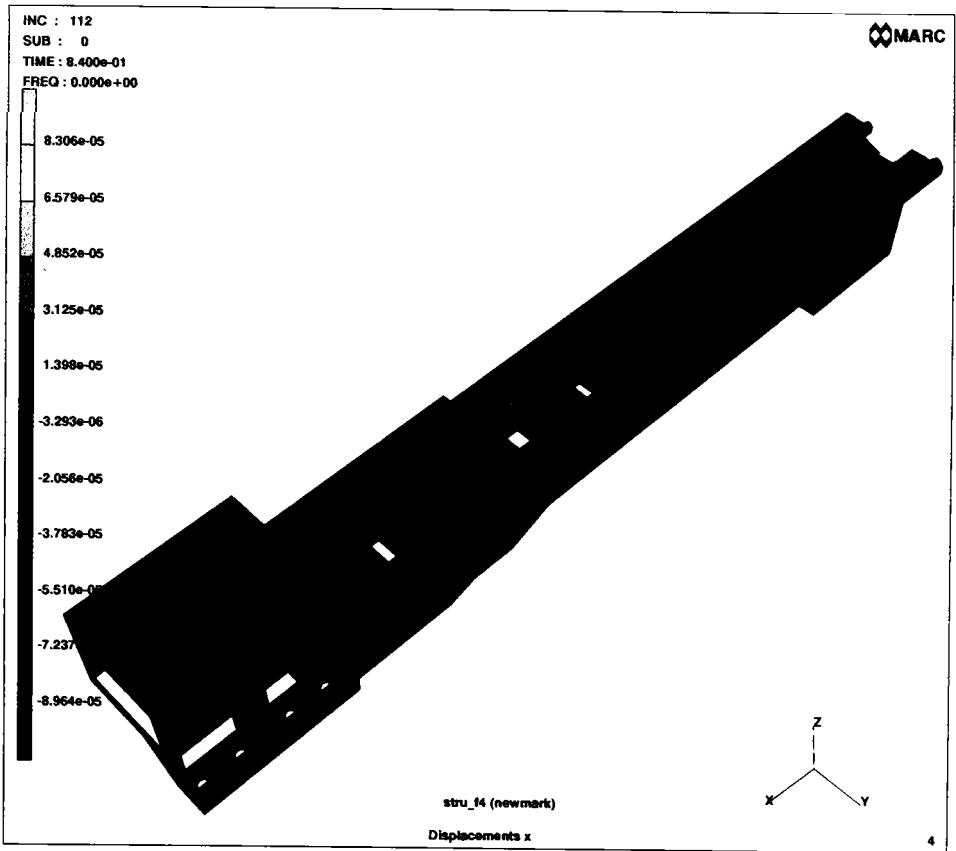
**$p_{nod} = \bar{p}_{o,nod} + p_o \cos \omega t$**

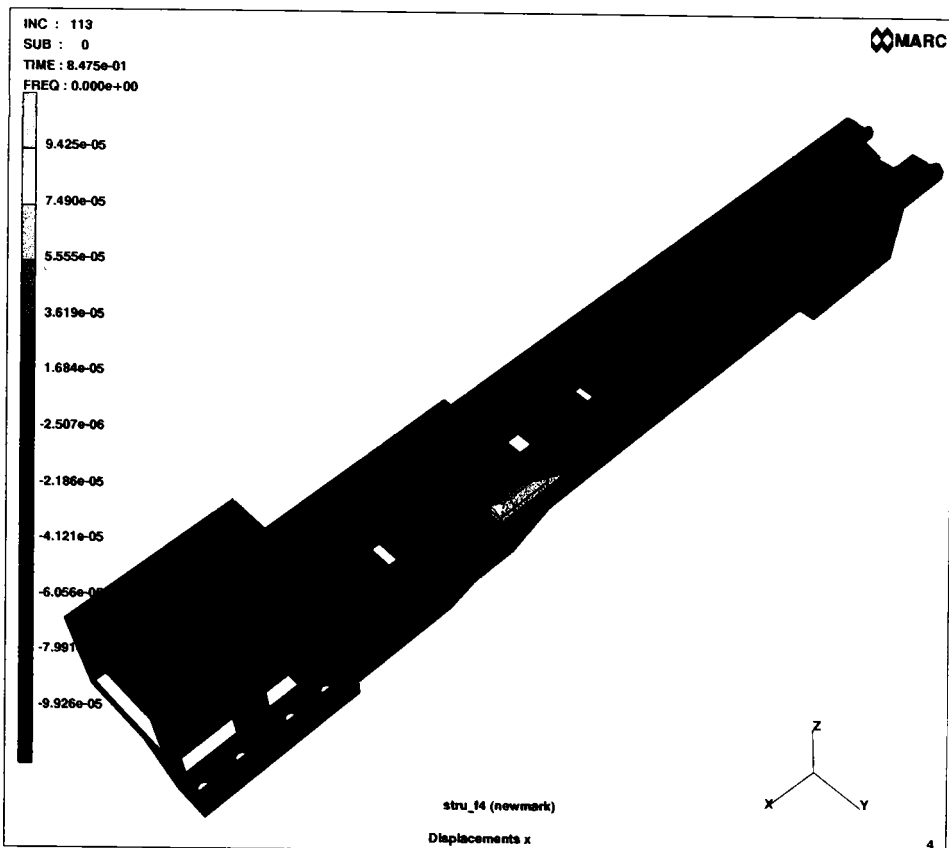
**$p_o = 0.1 \bar{p}_{o,nod}$**

**amortizare structurala**

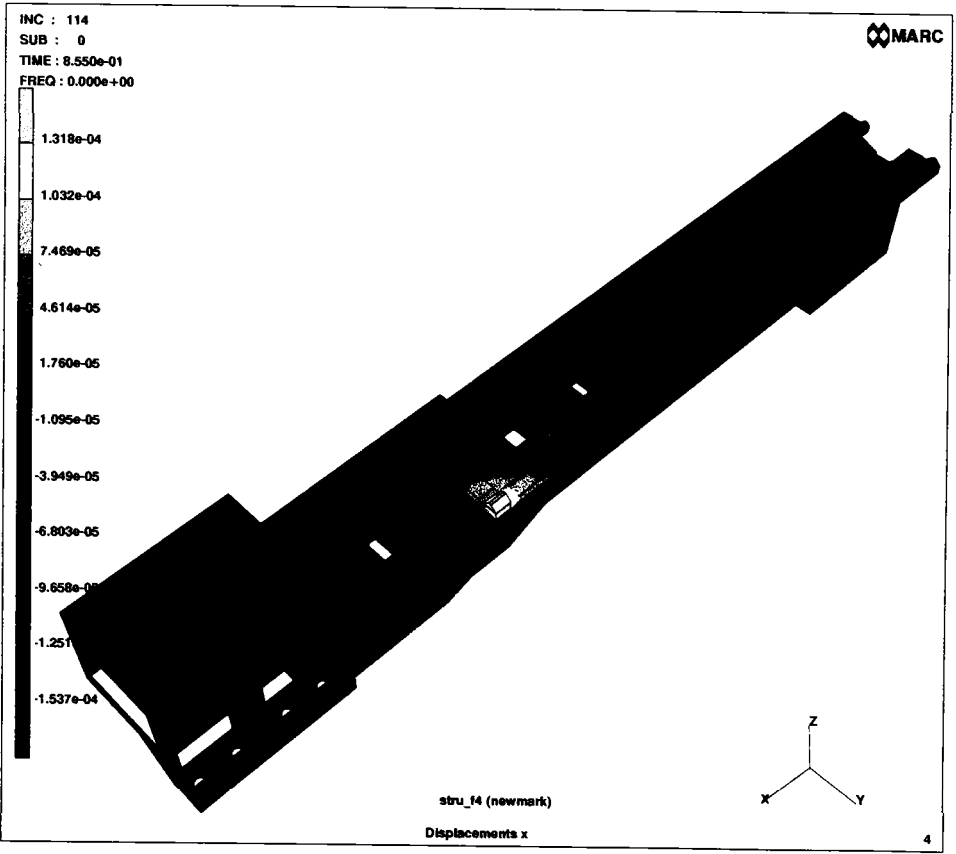


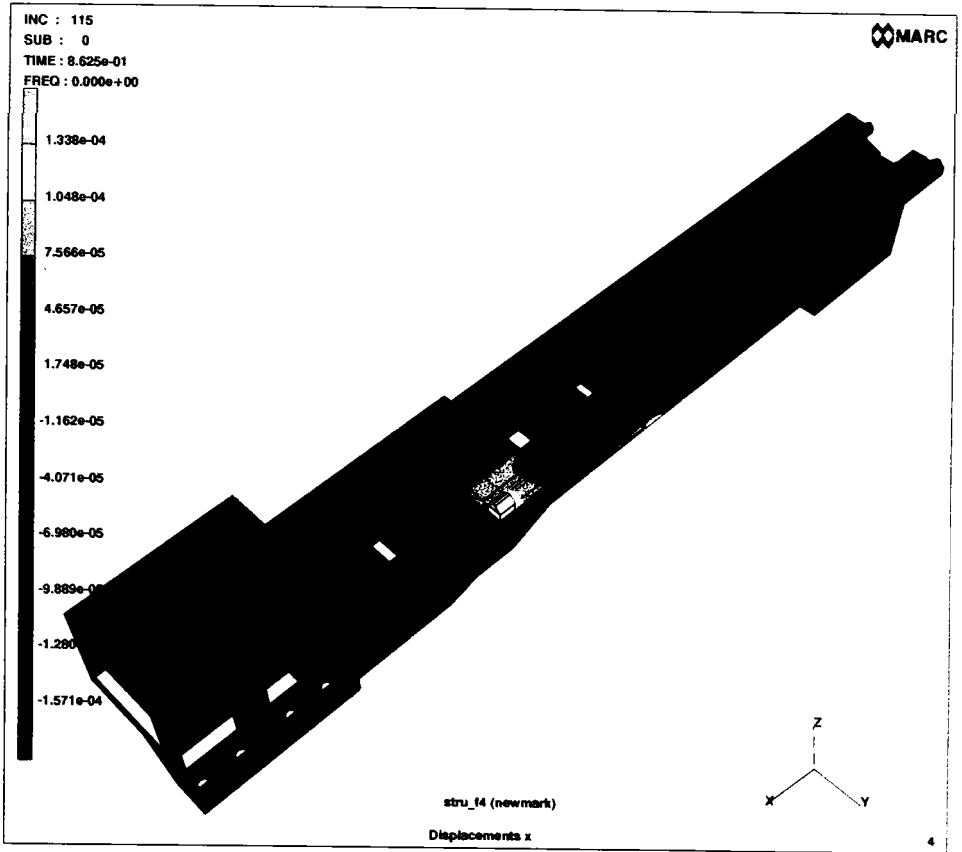


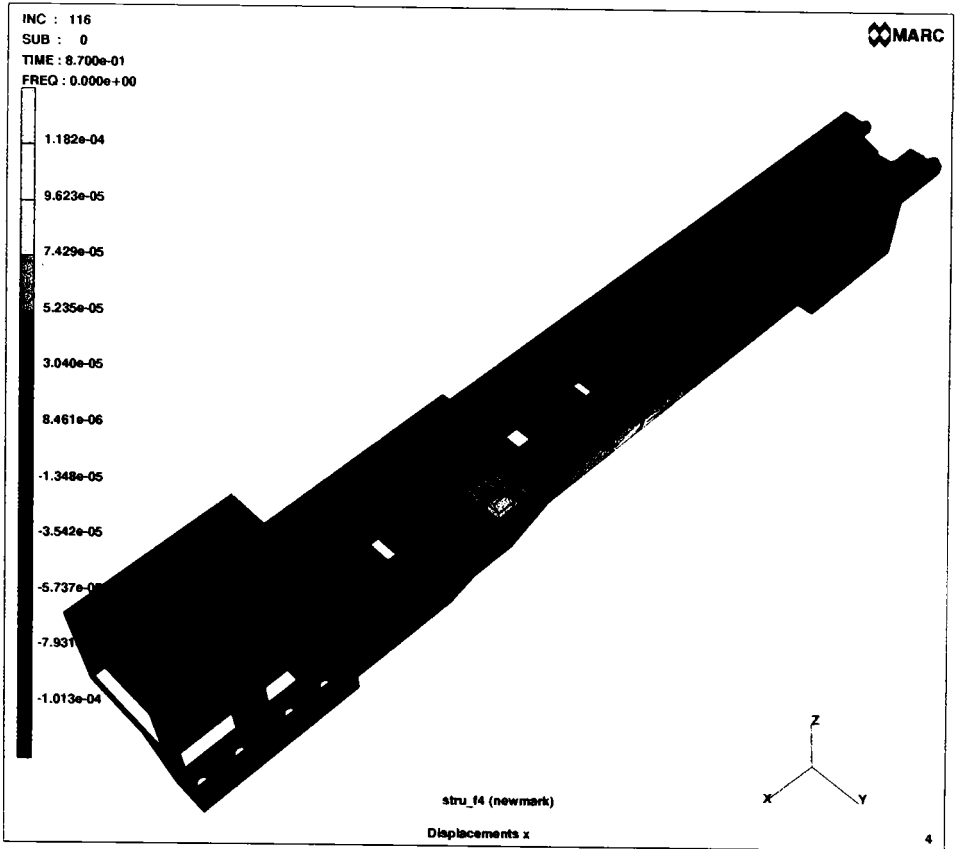


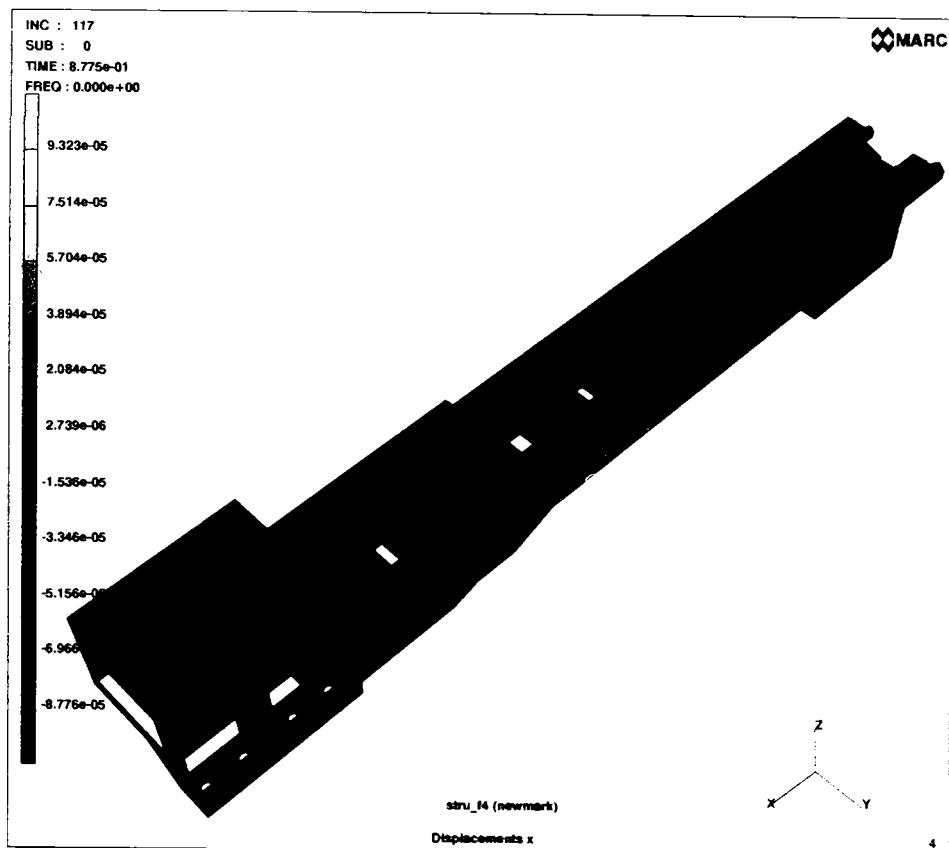


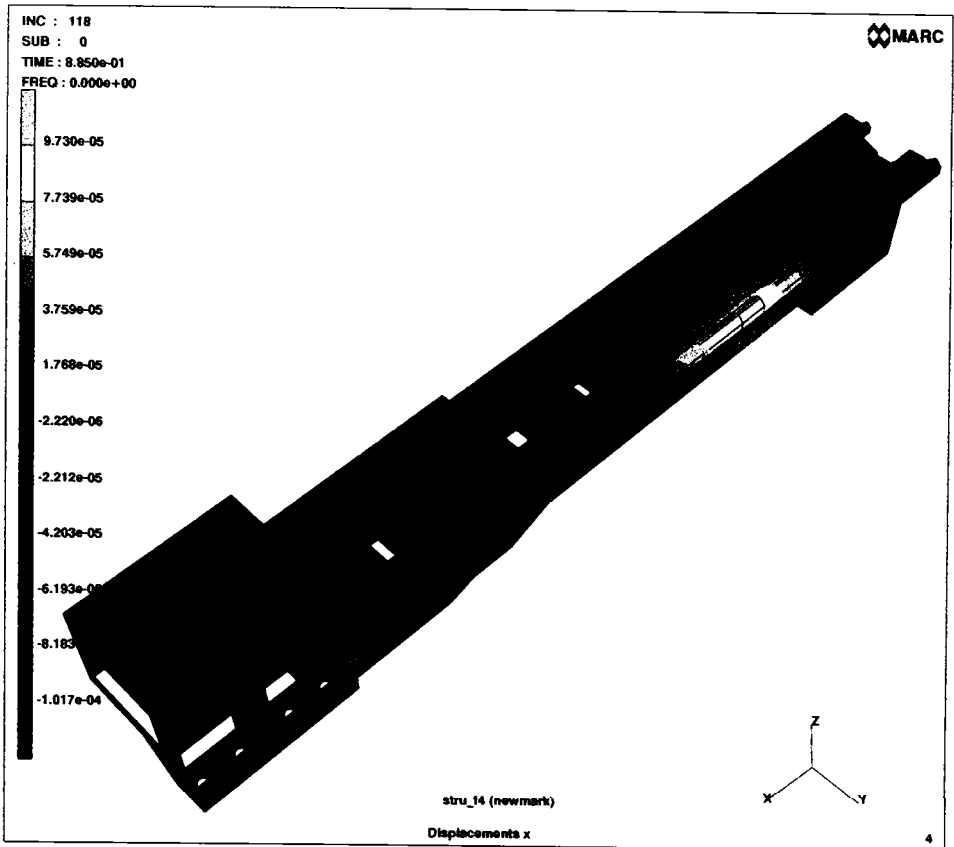


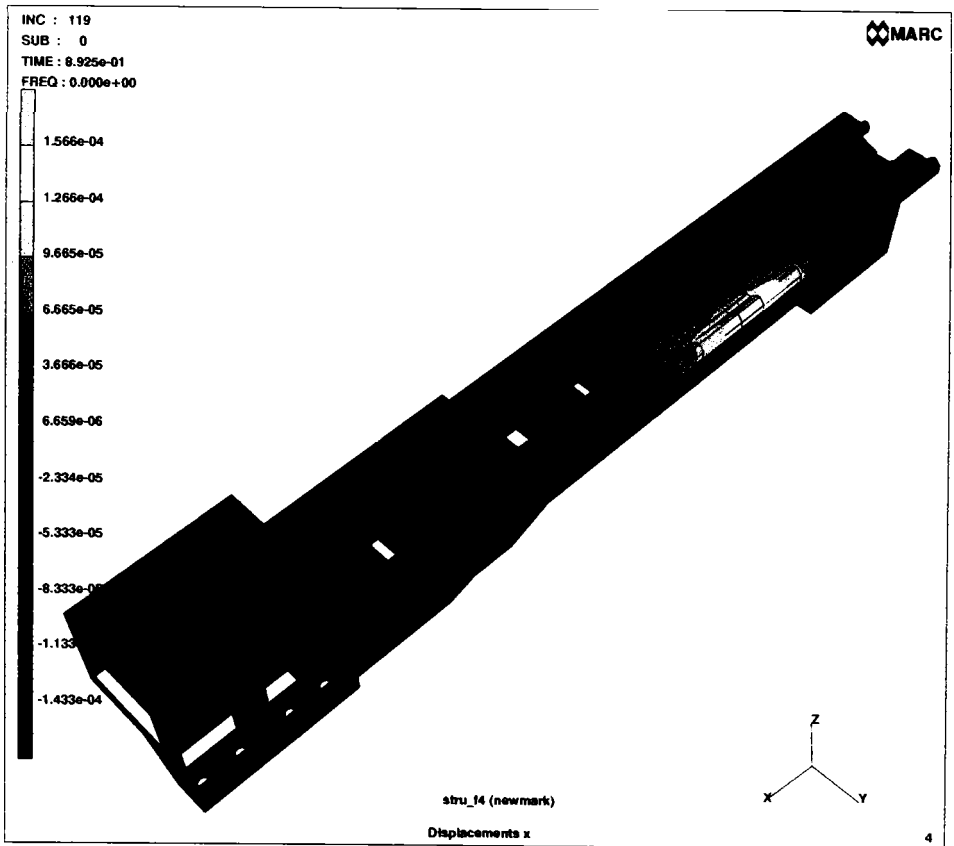


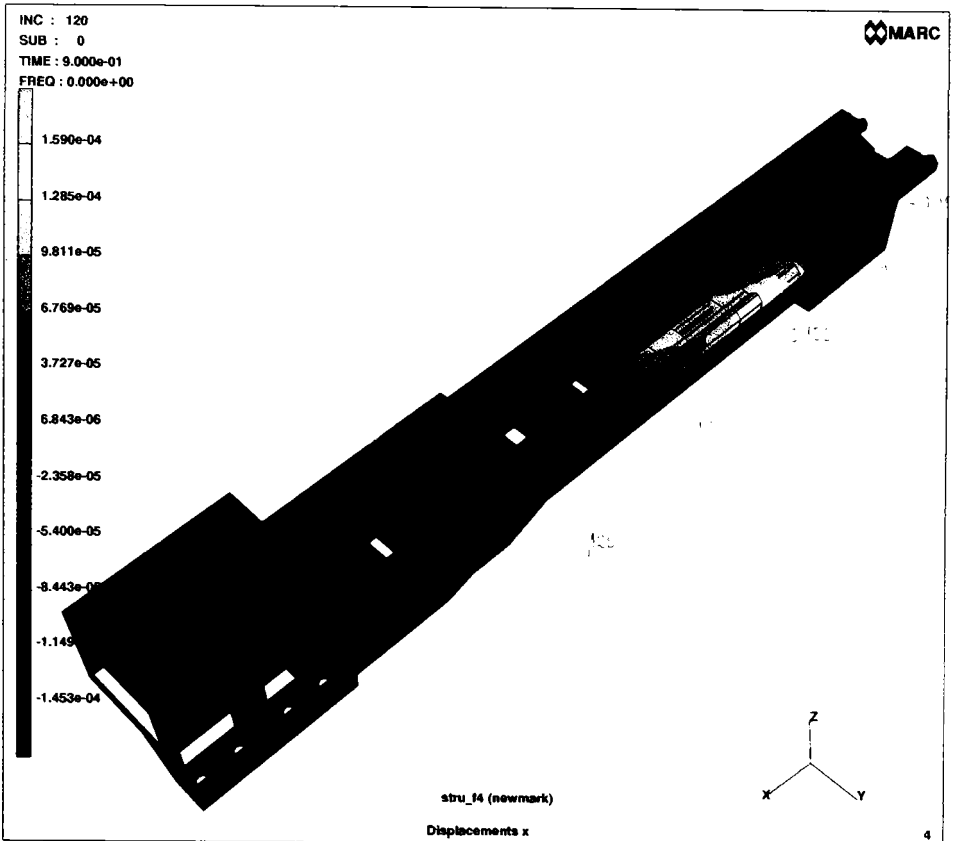


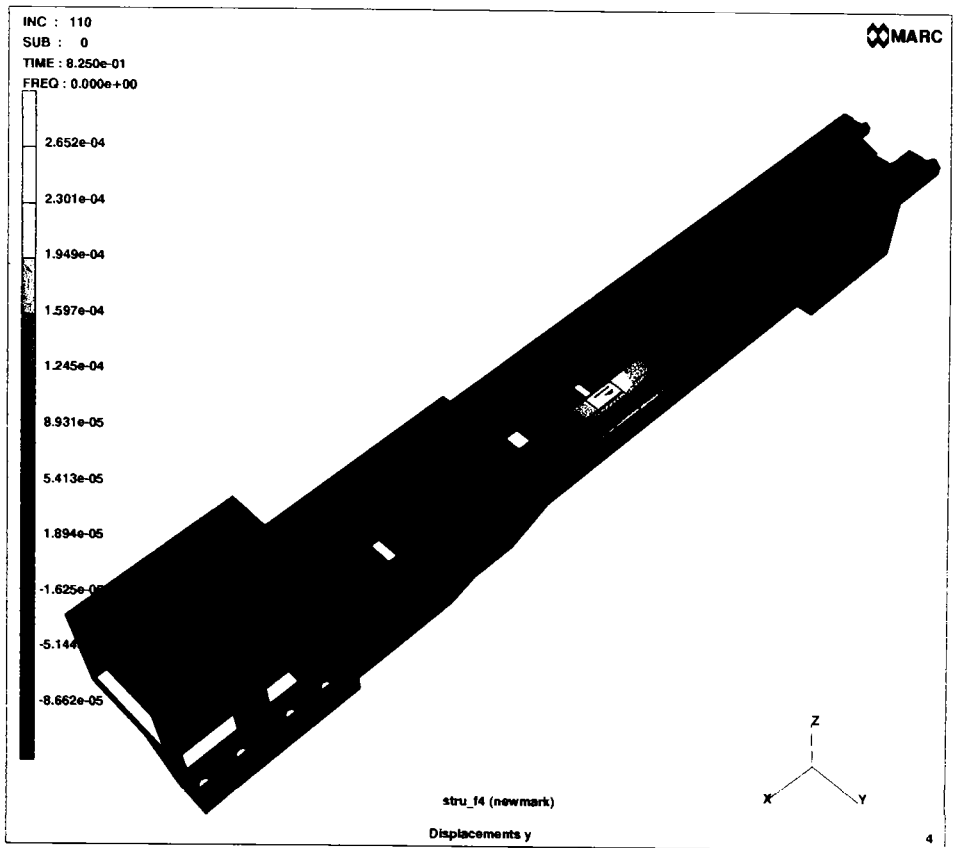




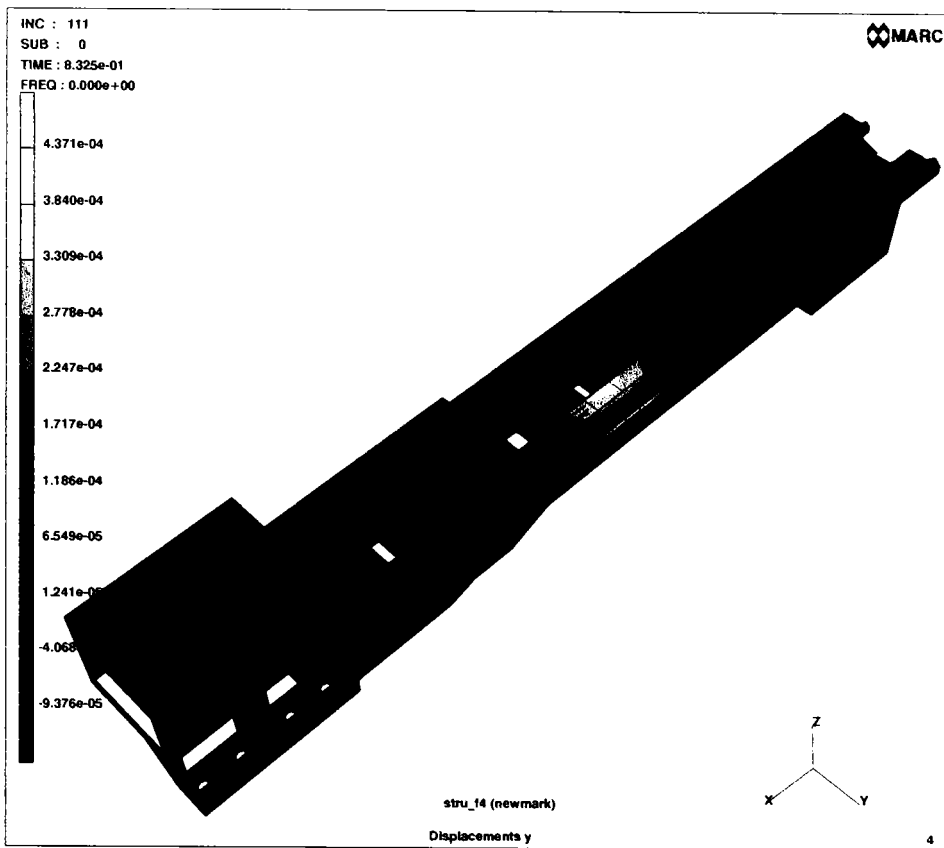


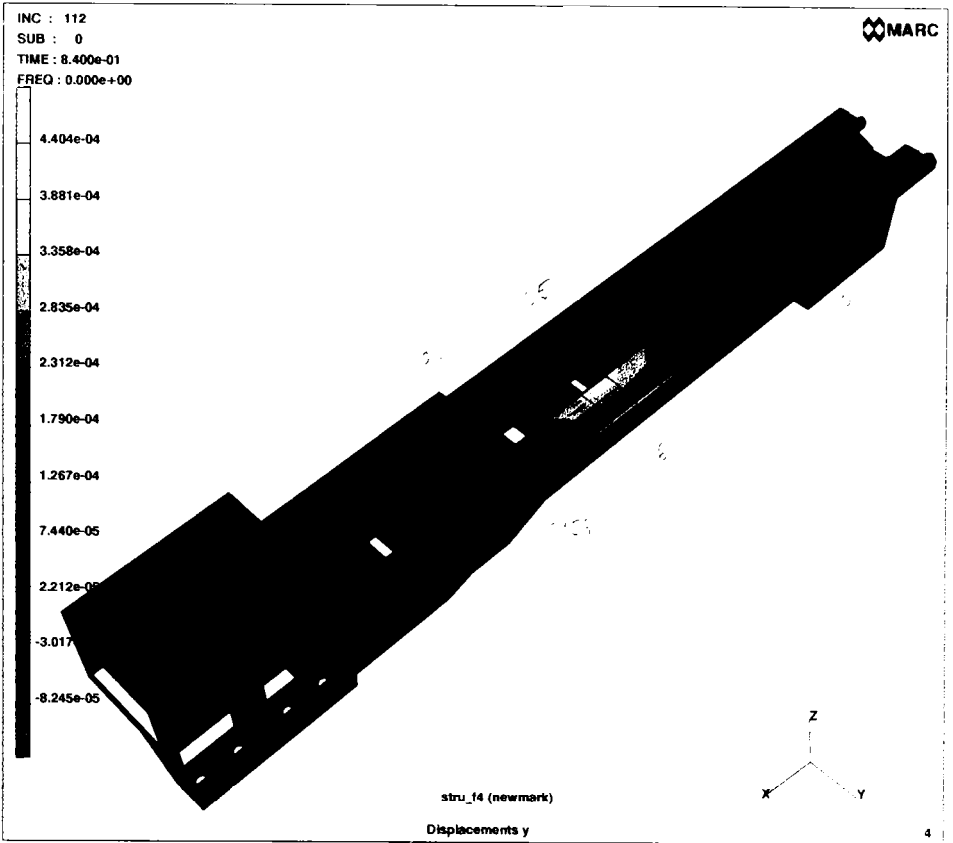


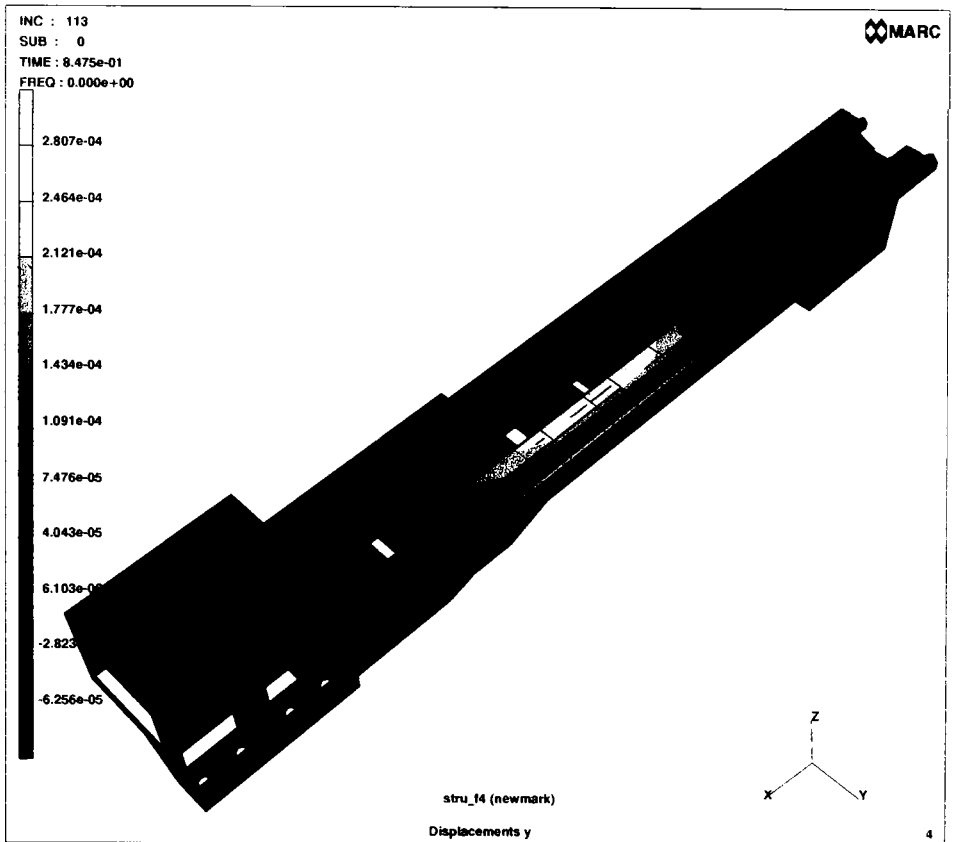


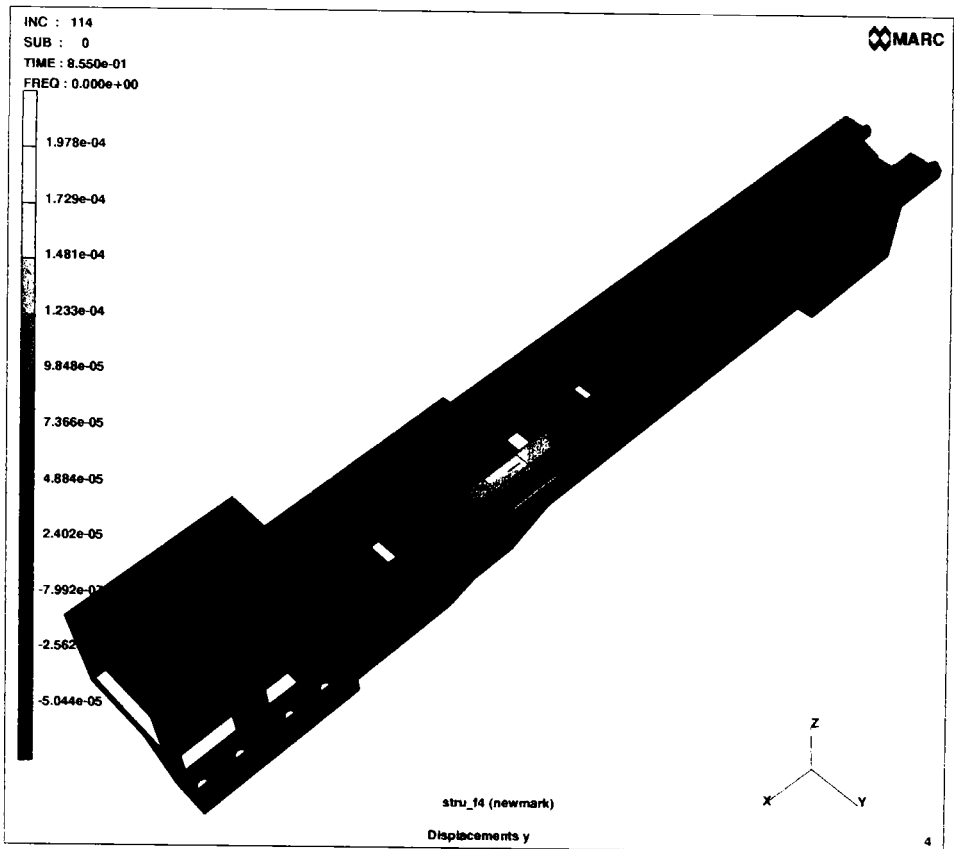




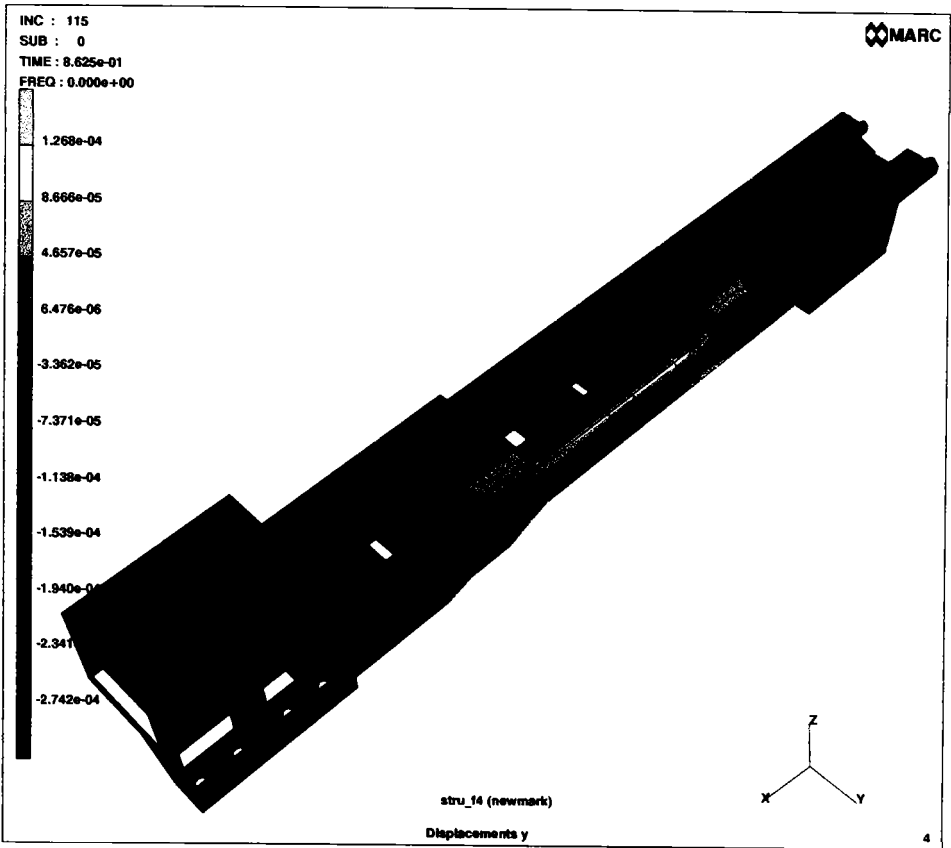


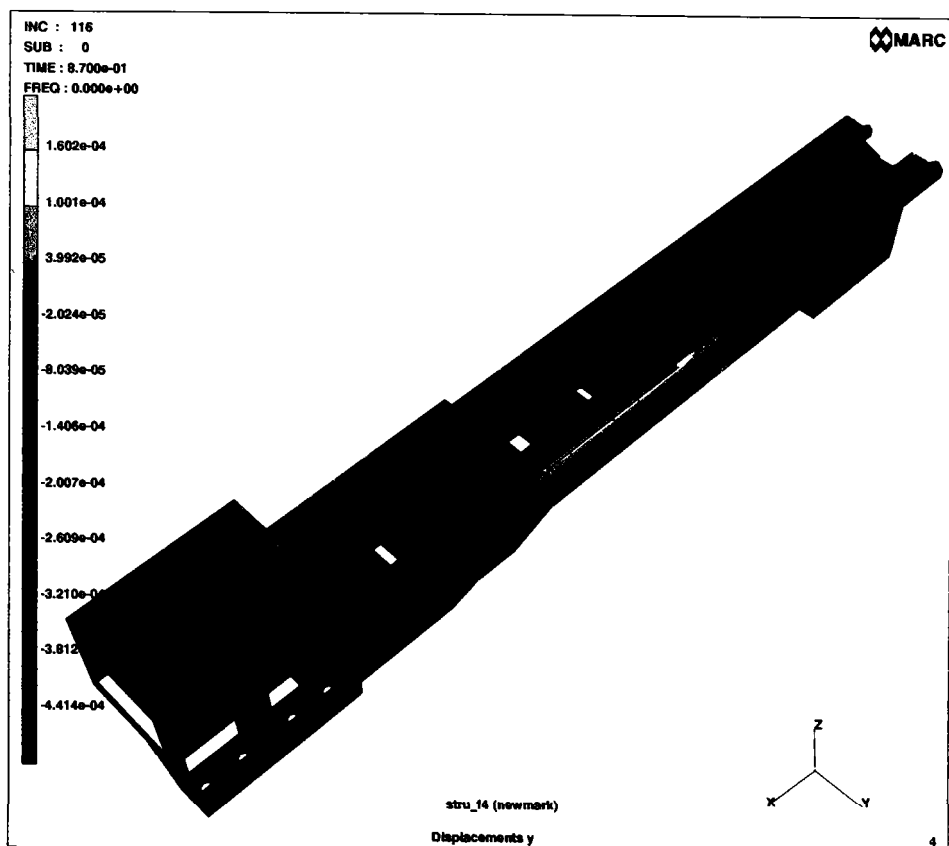


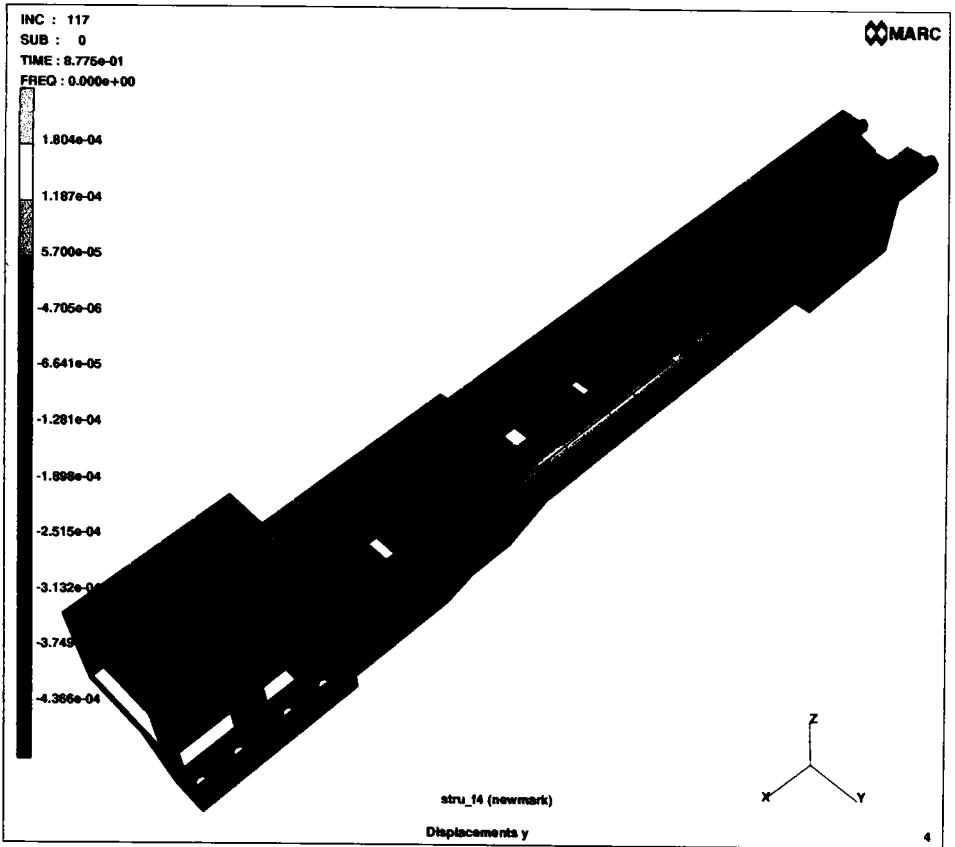


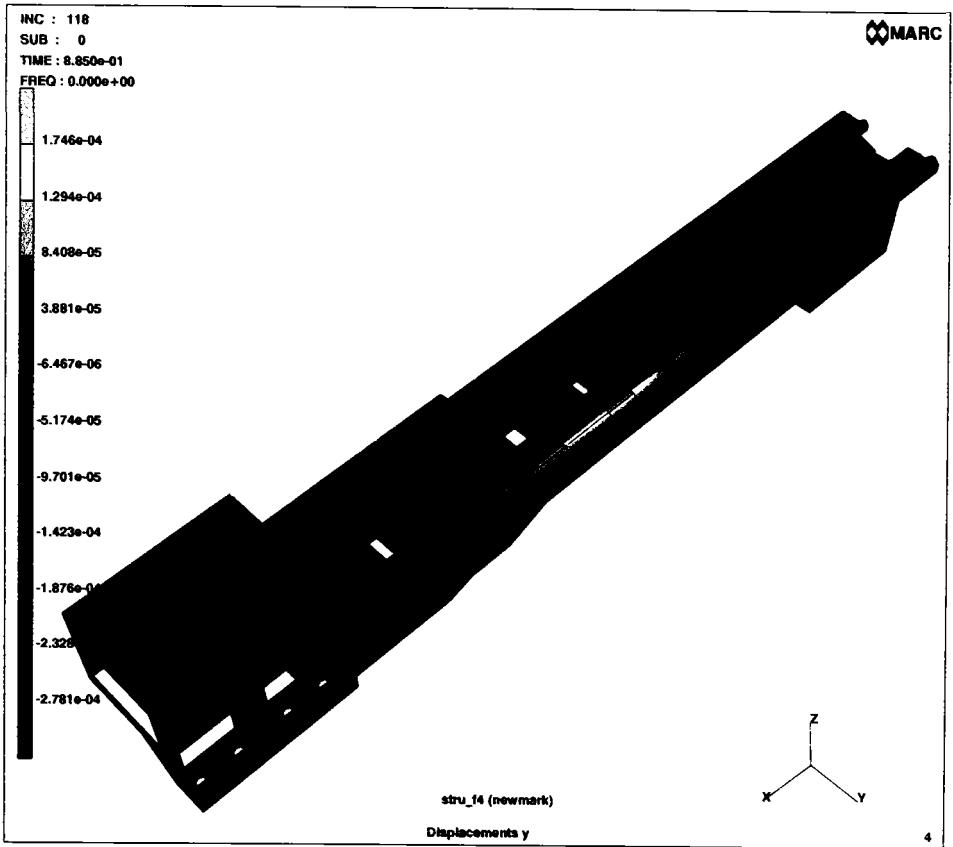


617 585 / 2  
130 C BUPT

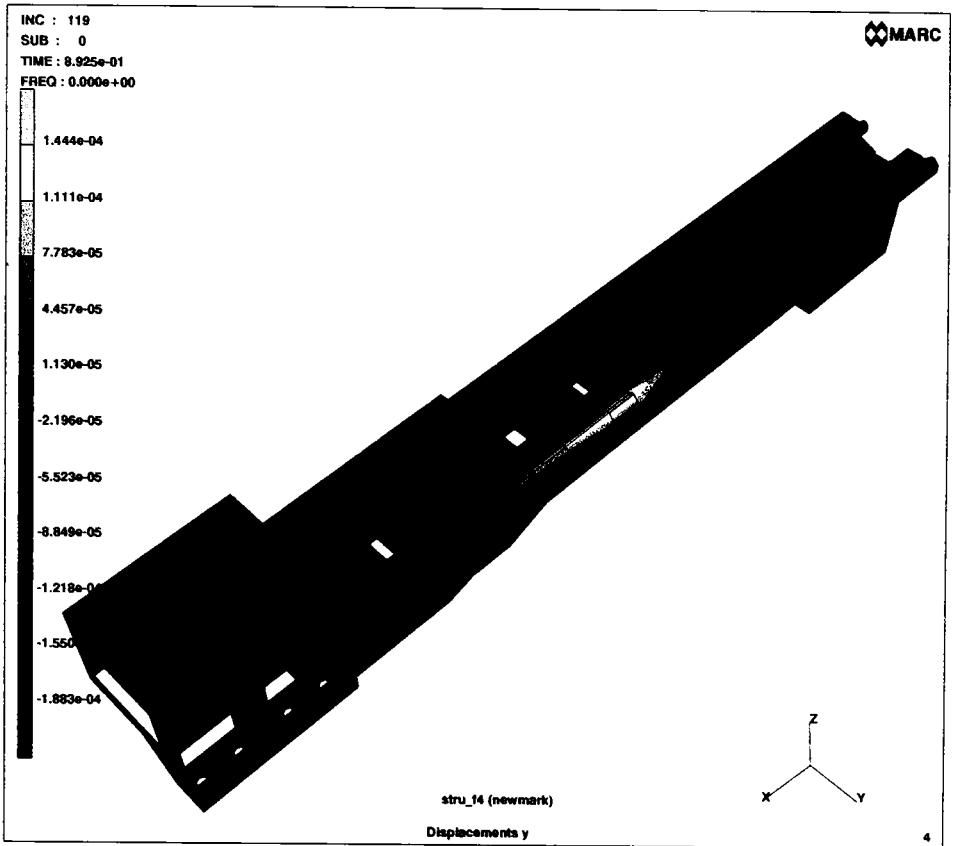


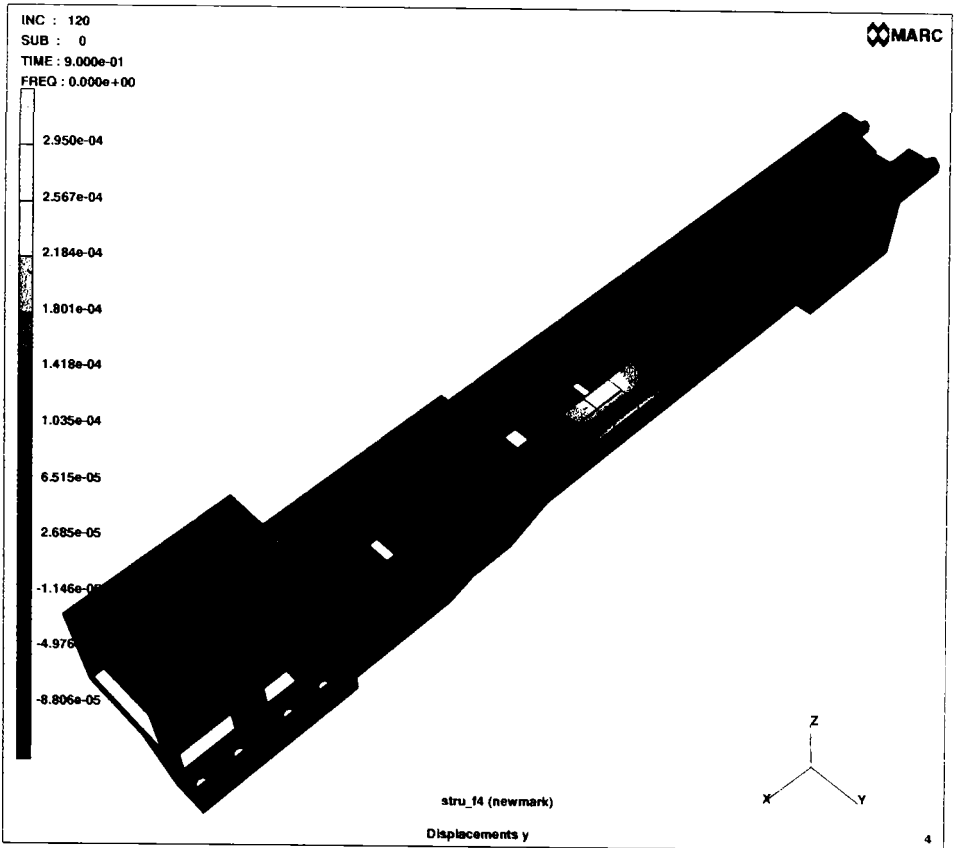


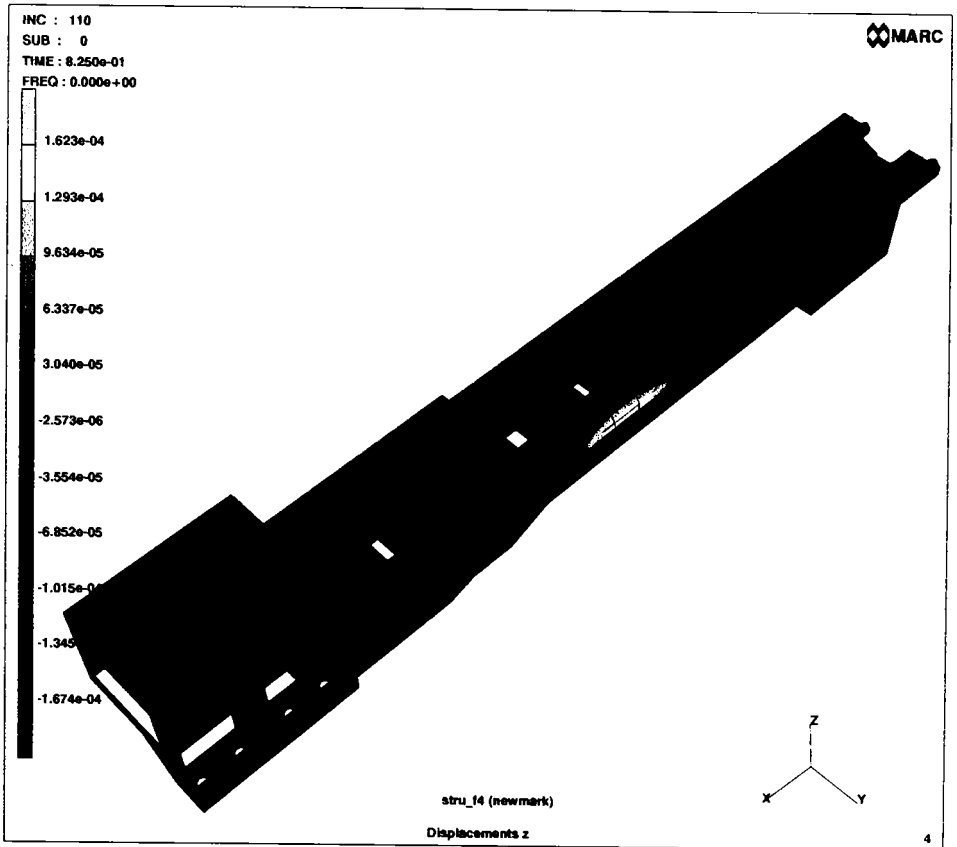


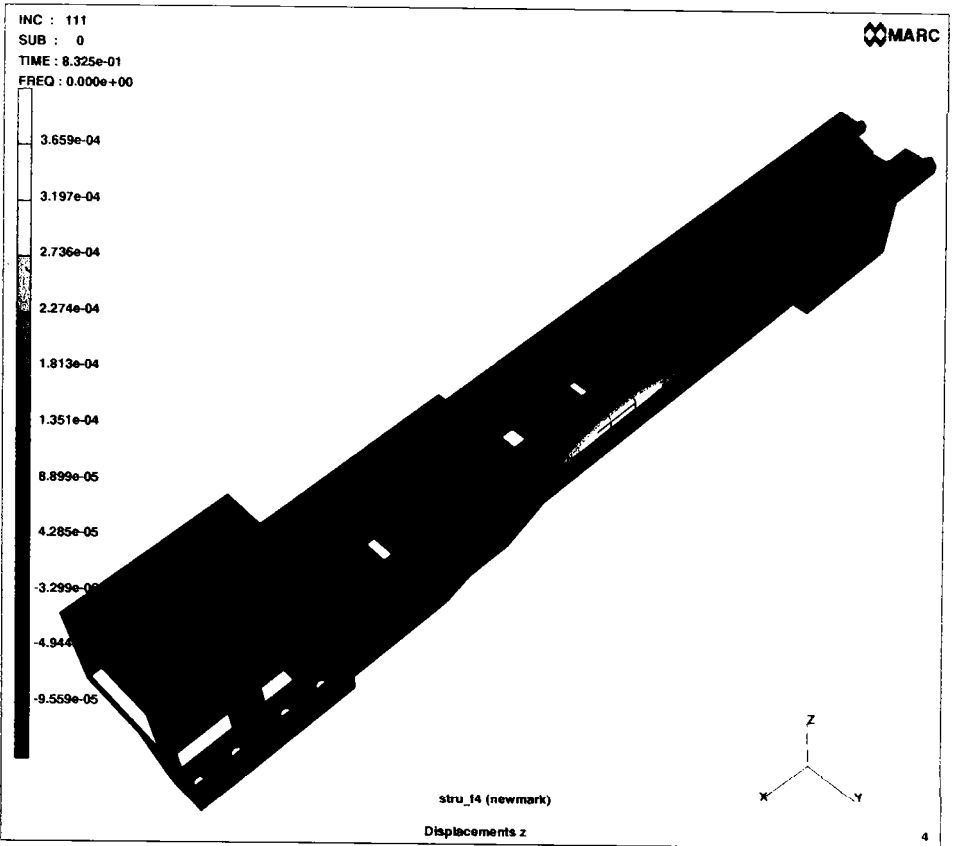


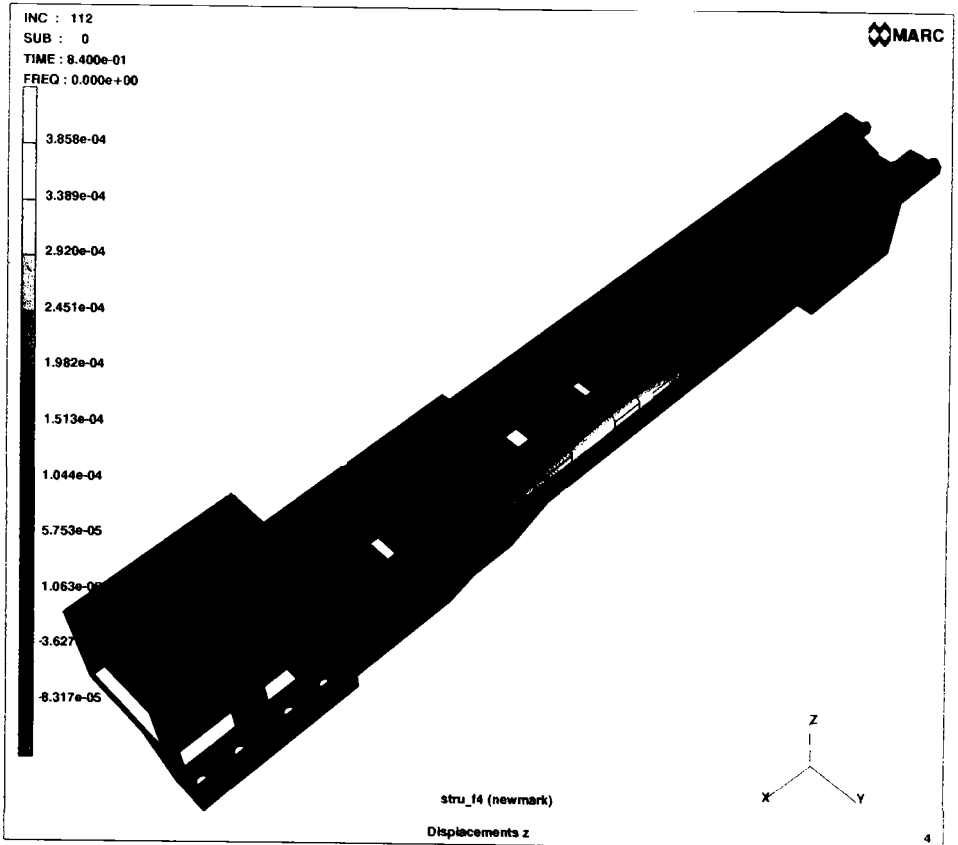


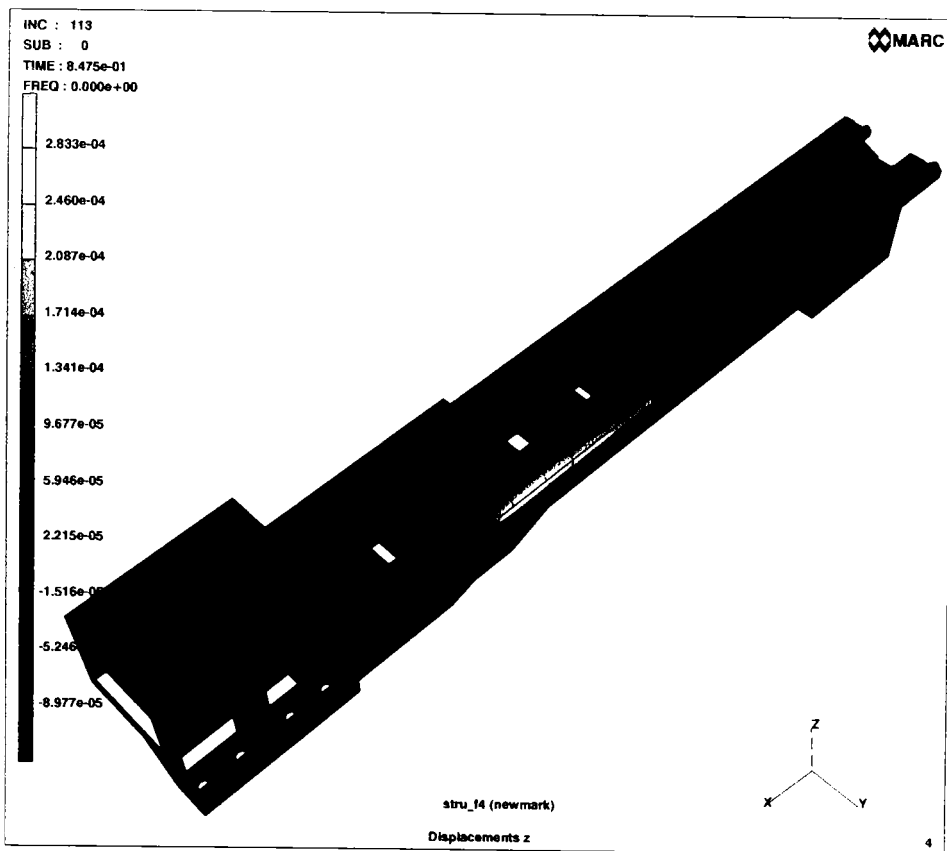


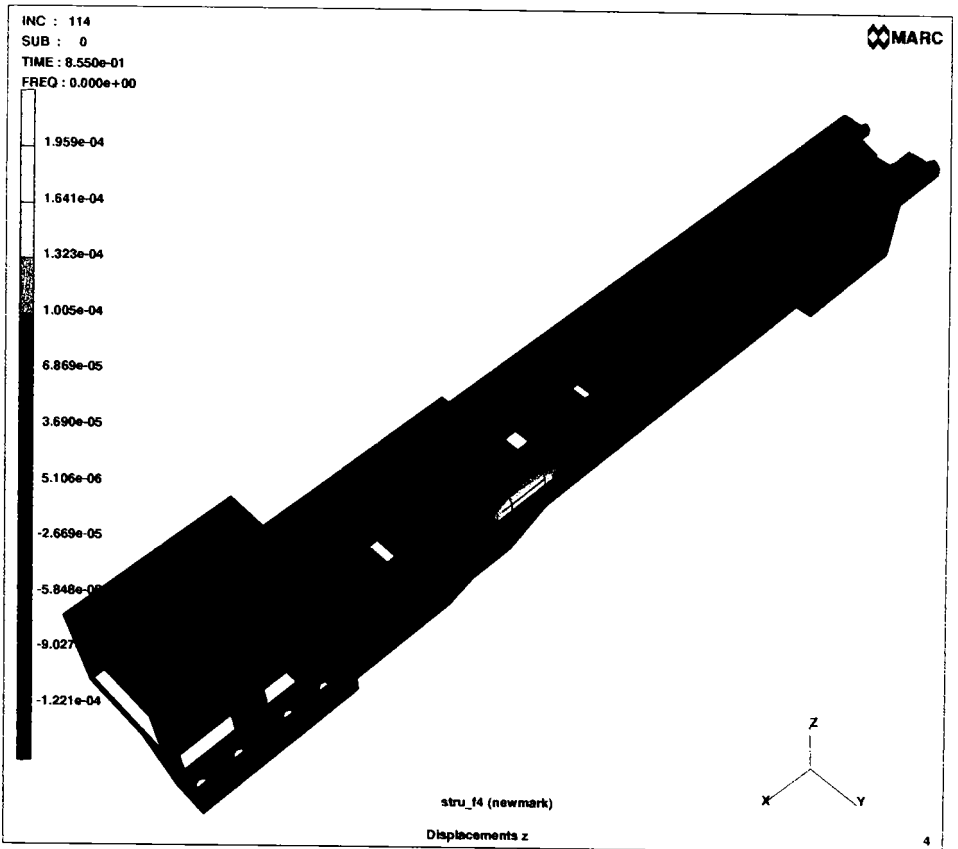


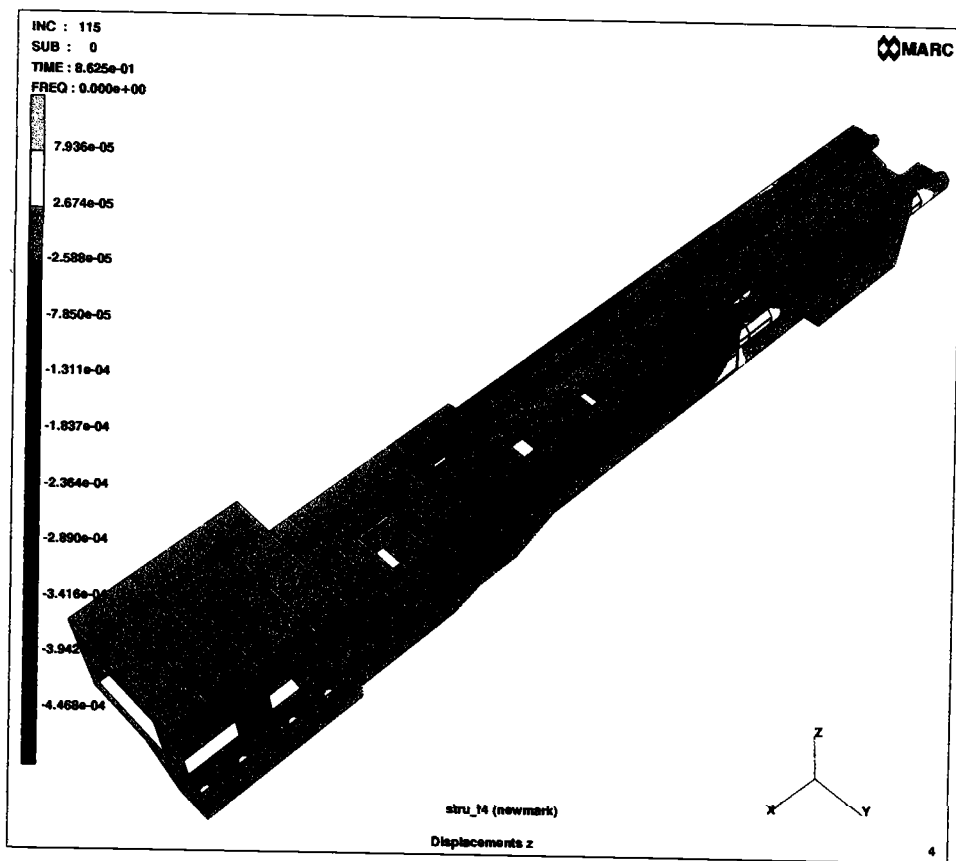




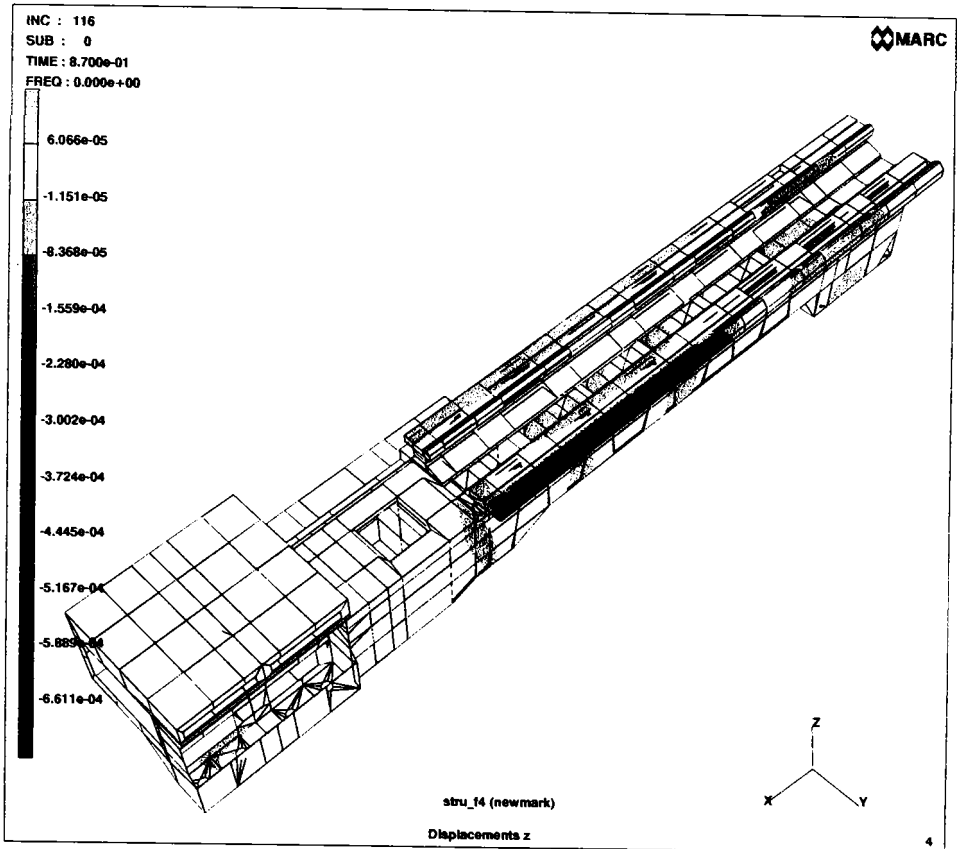


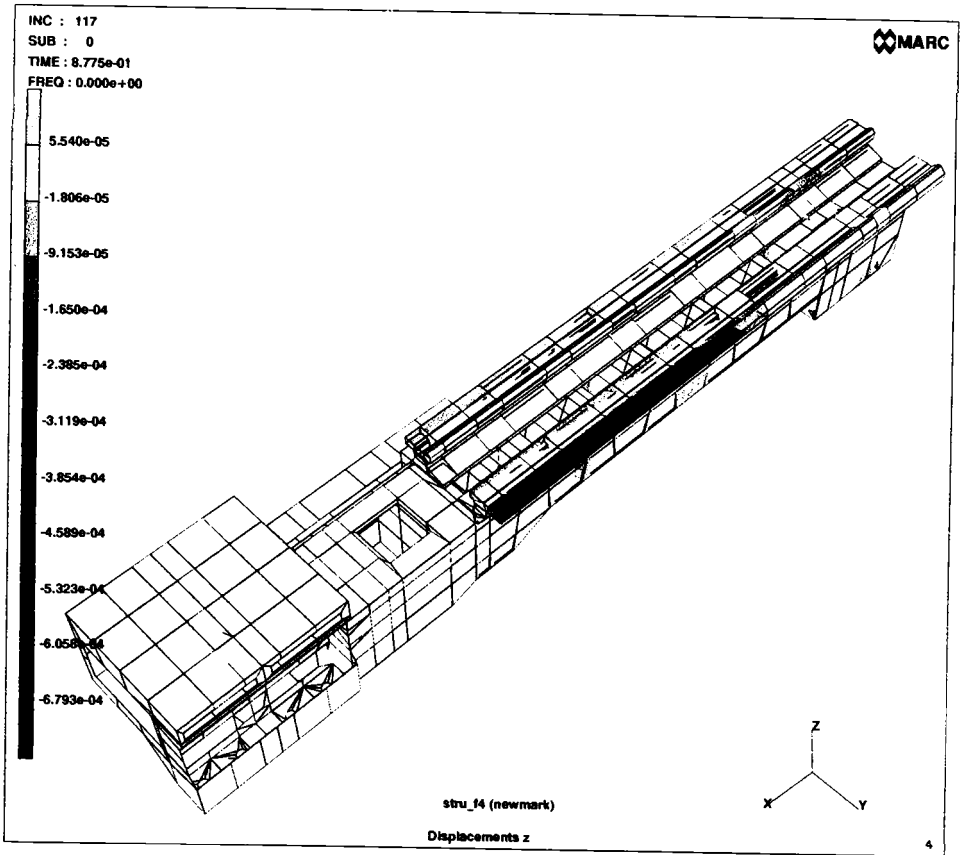


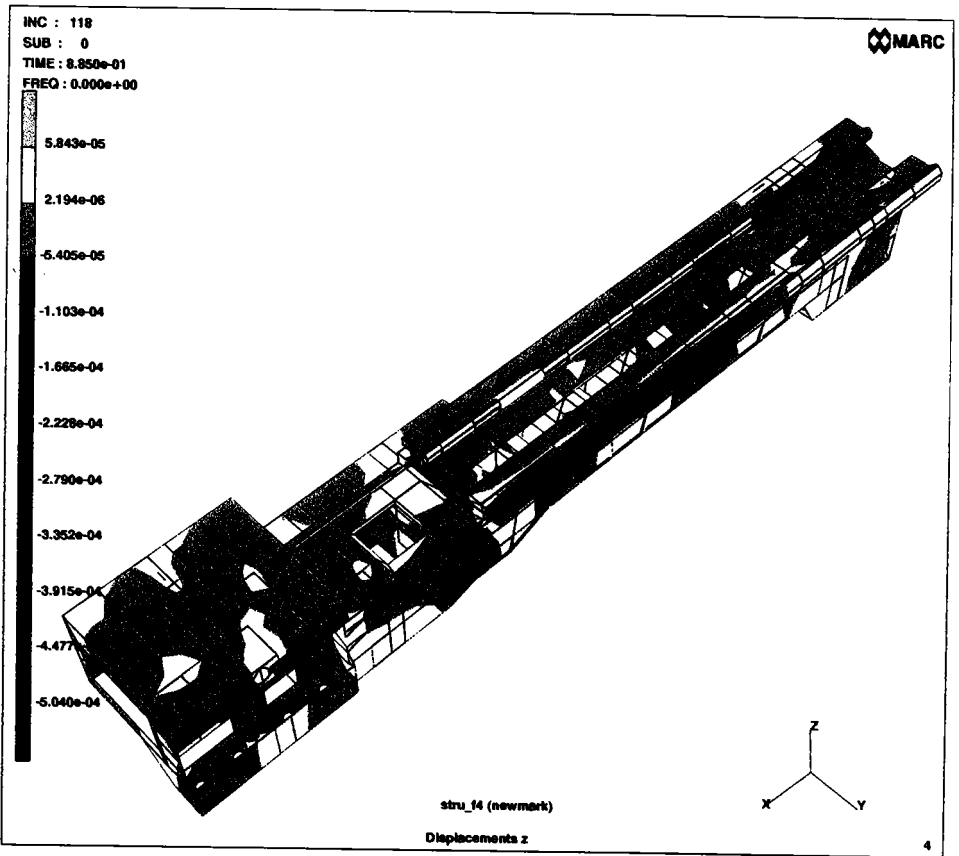


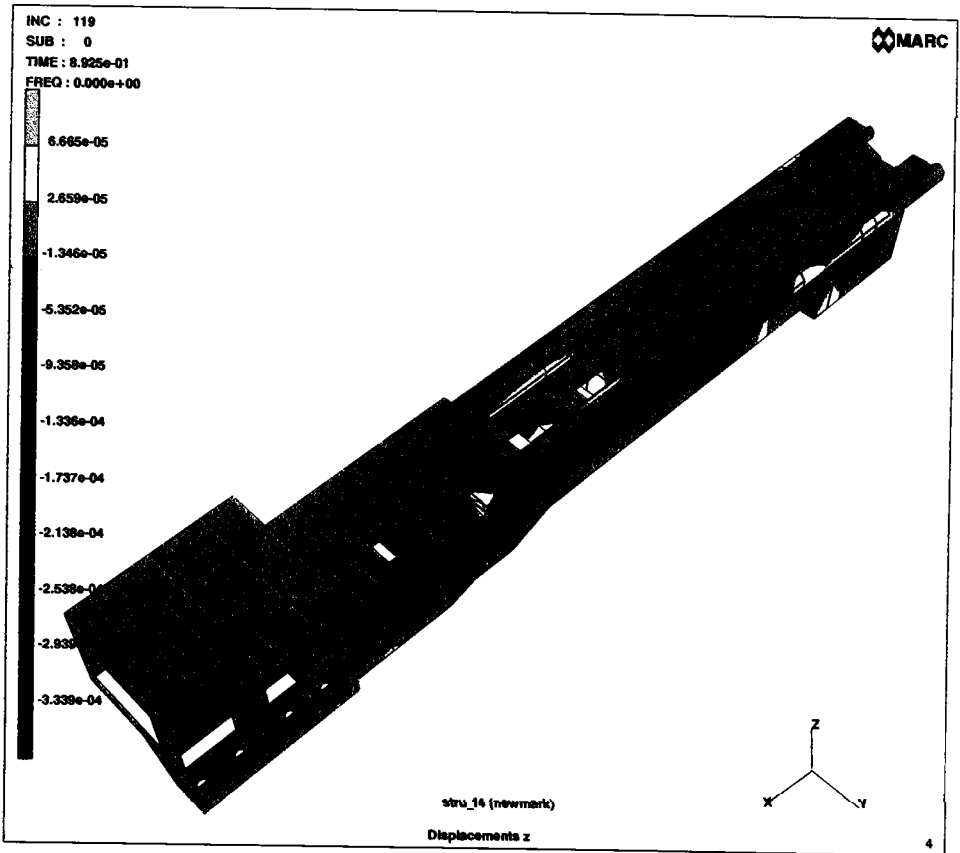


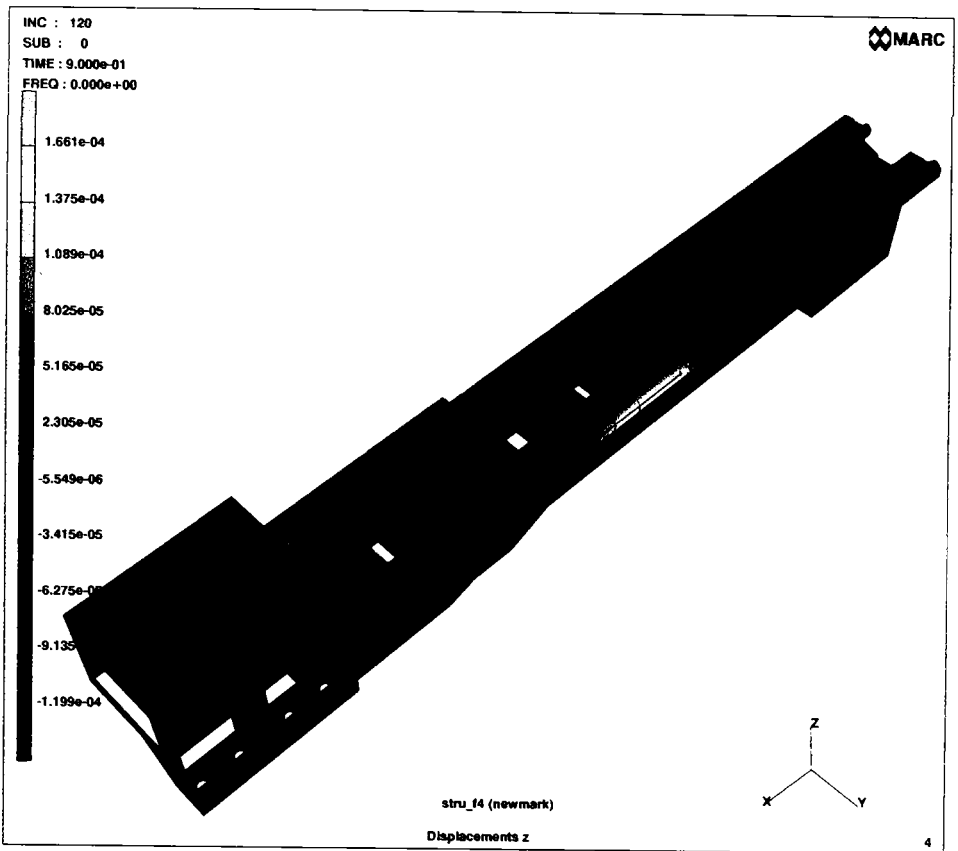


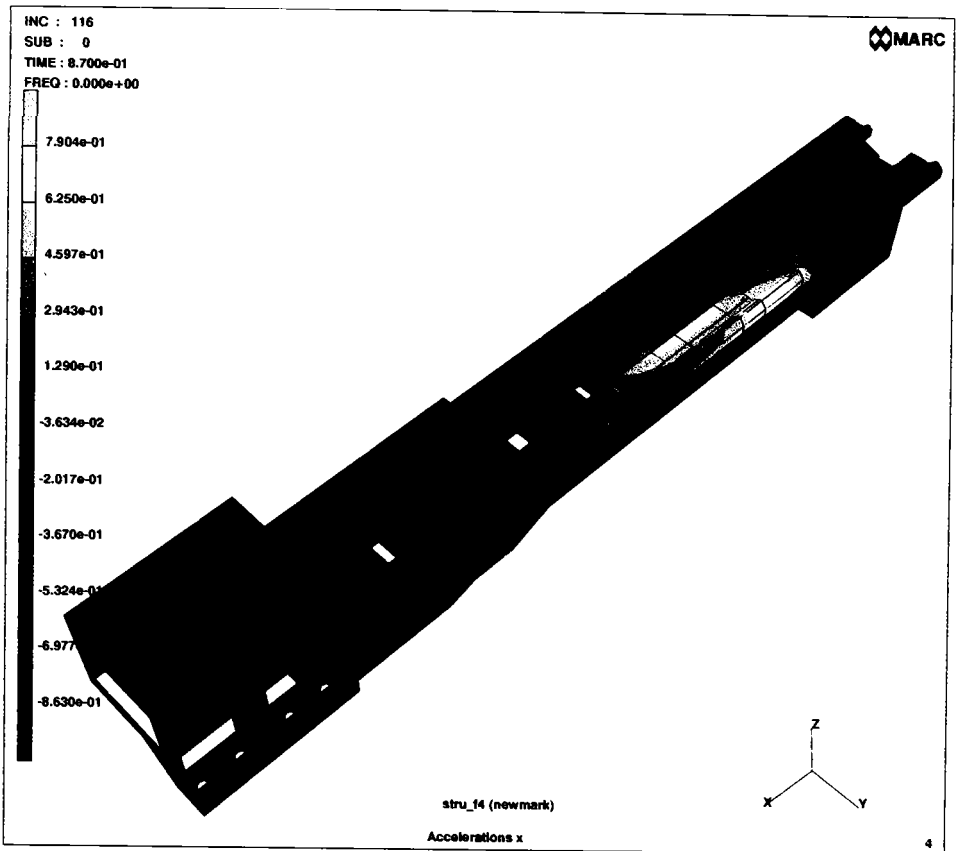


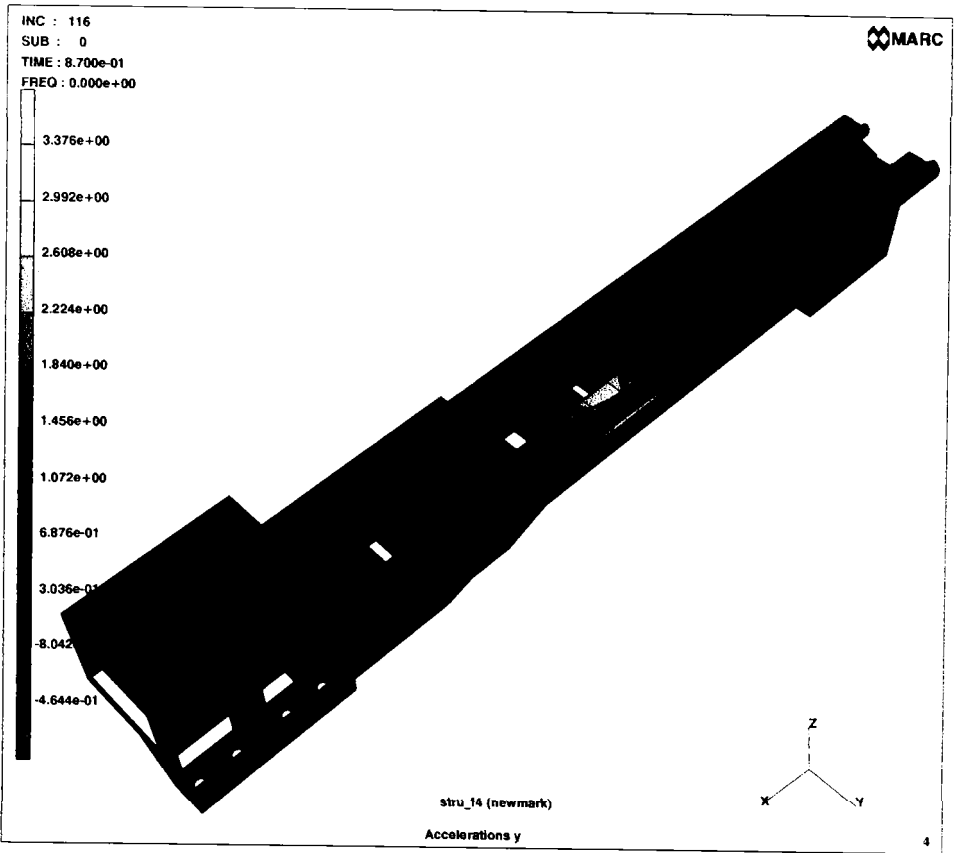


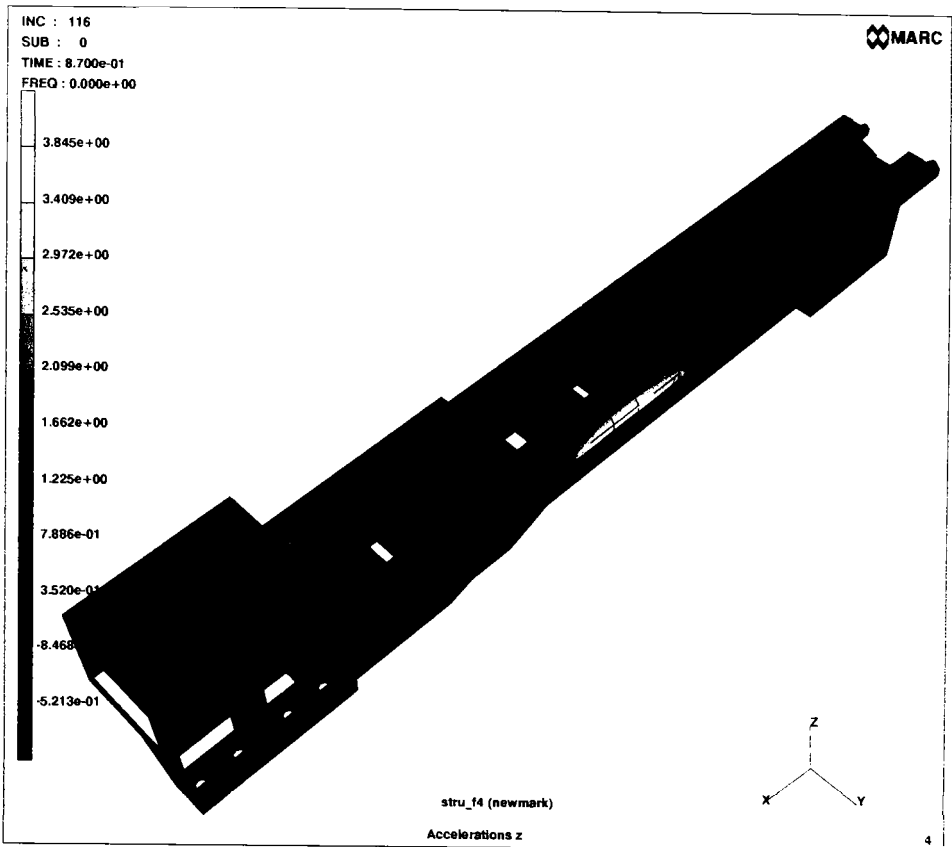




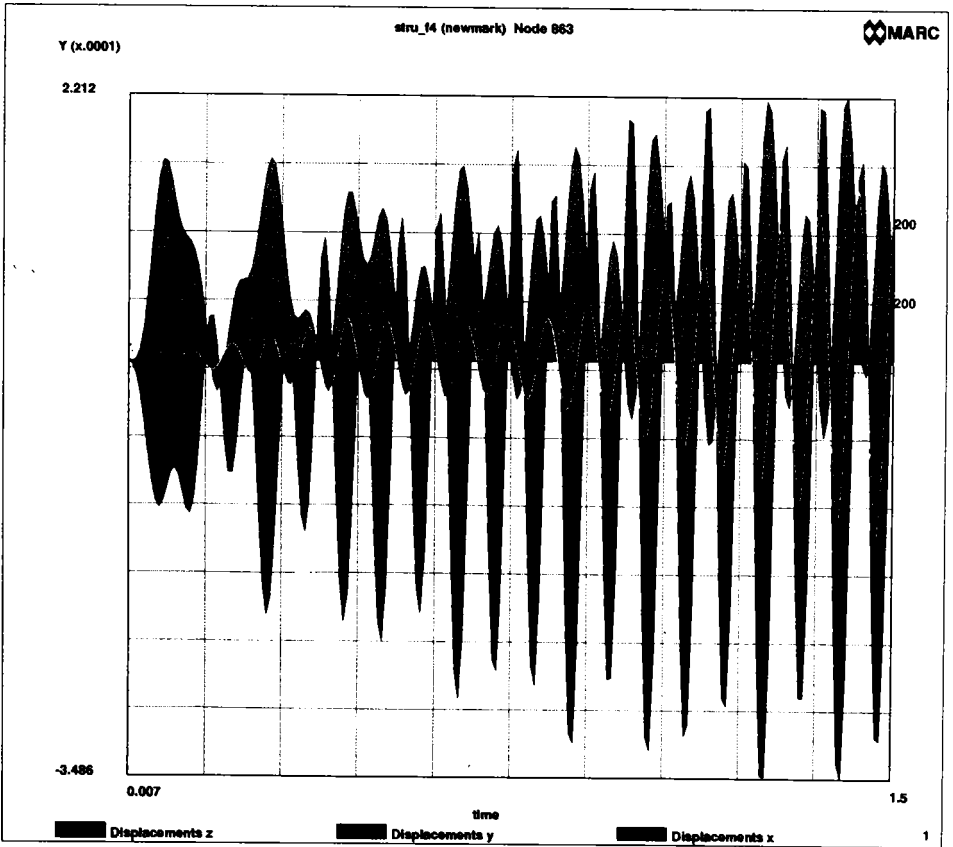


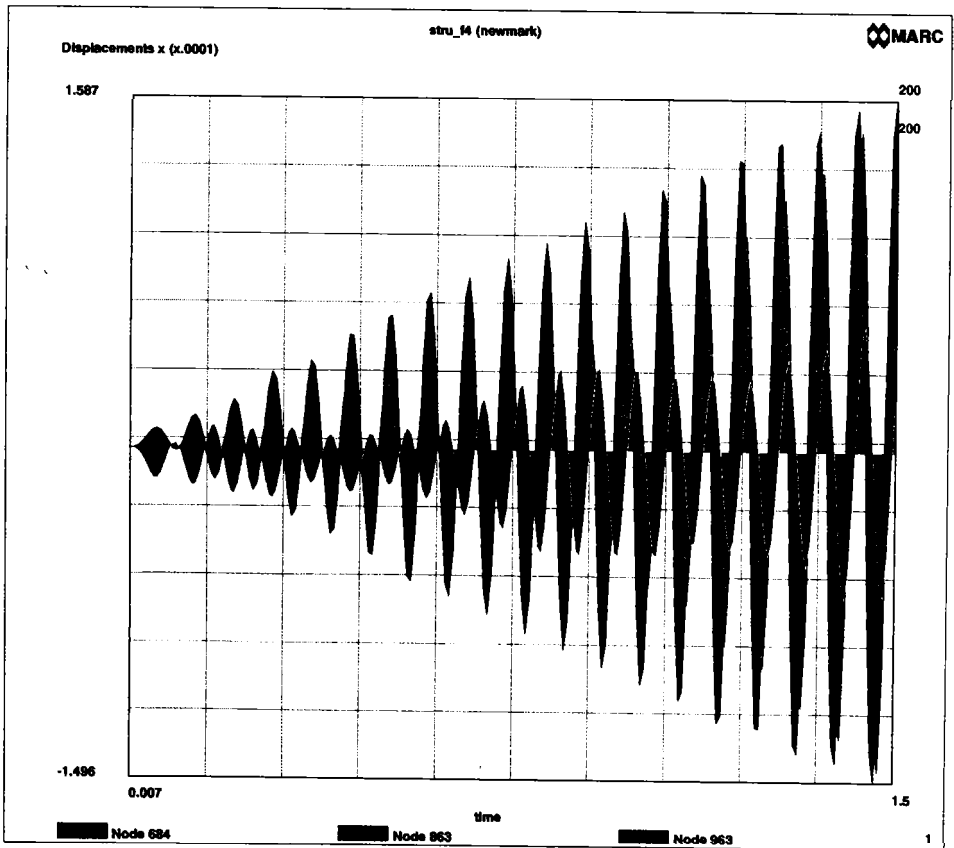


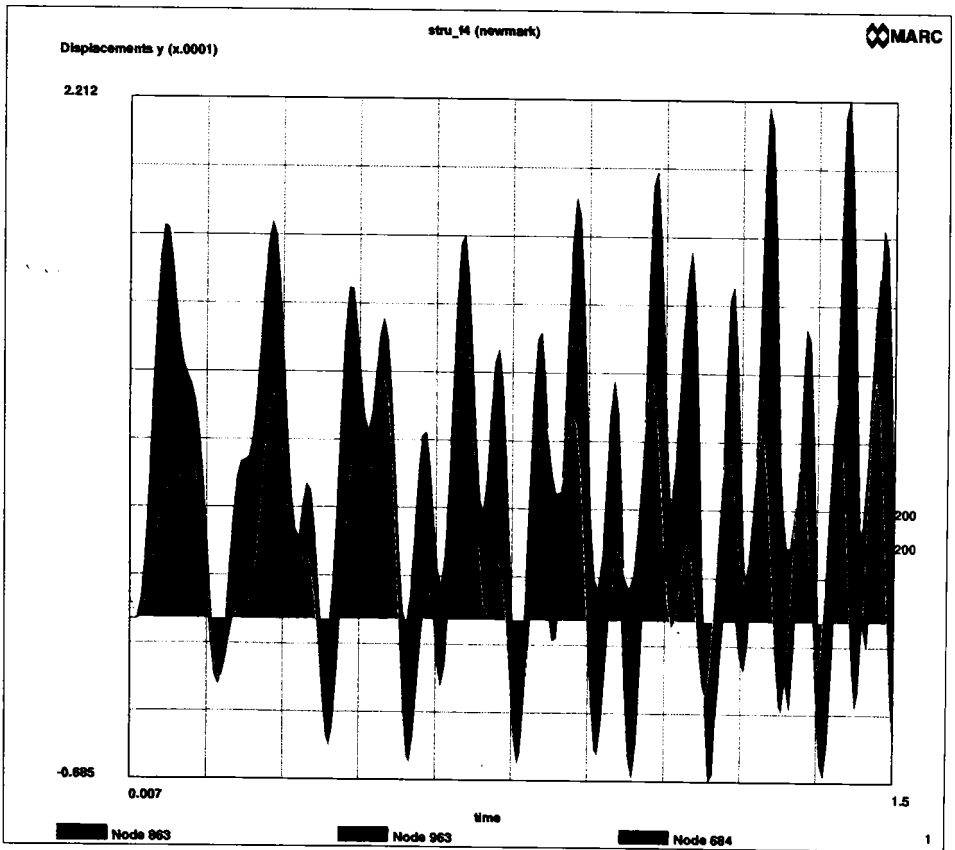


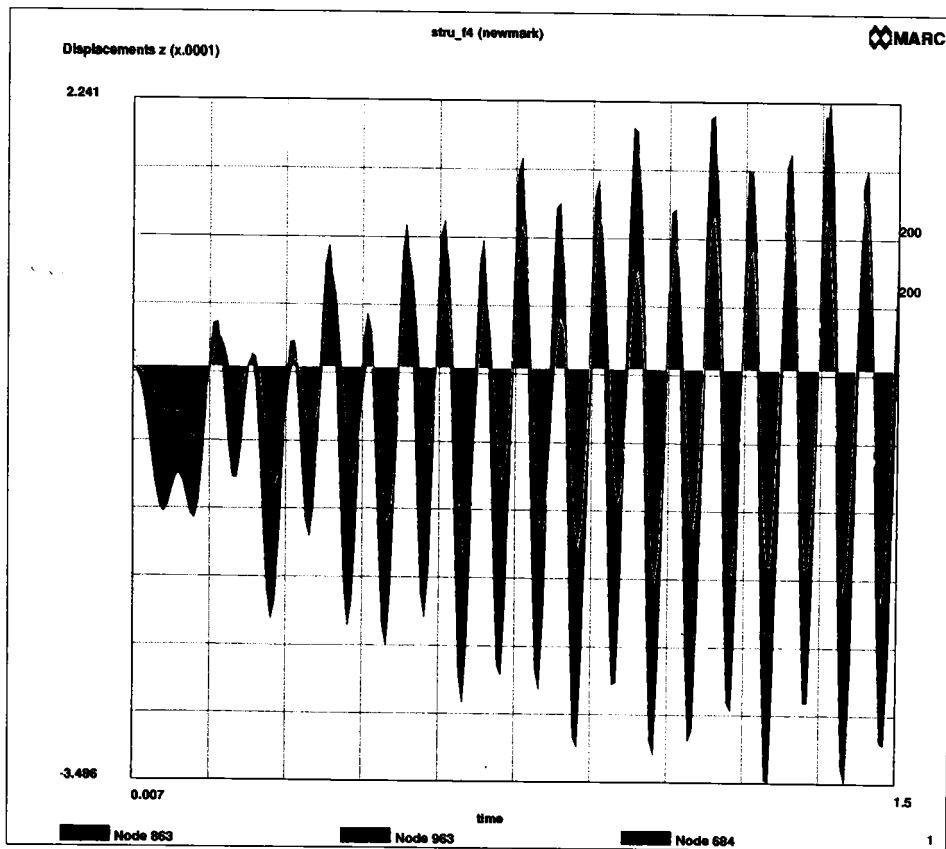


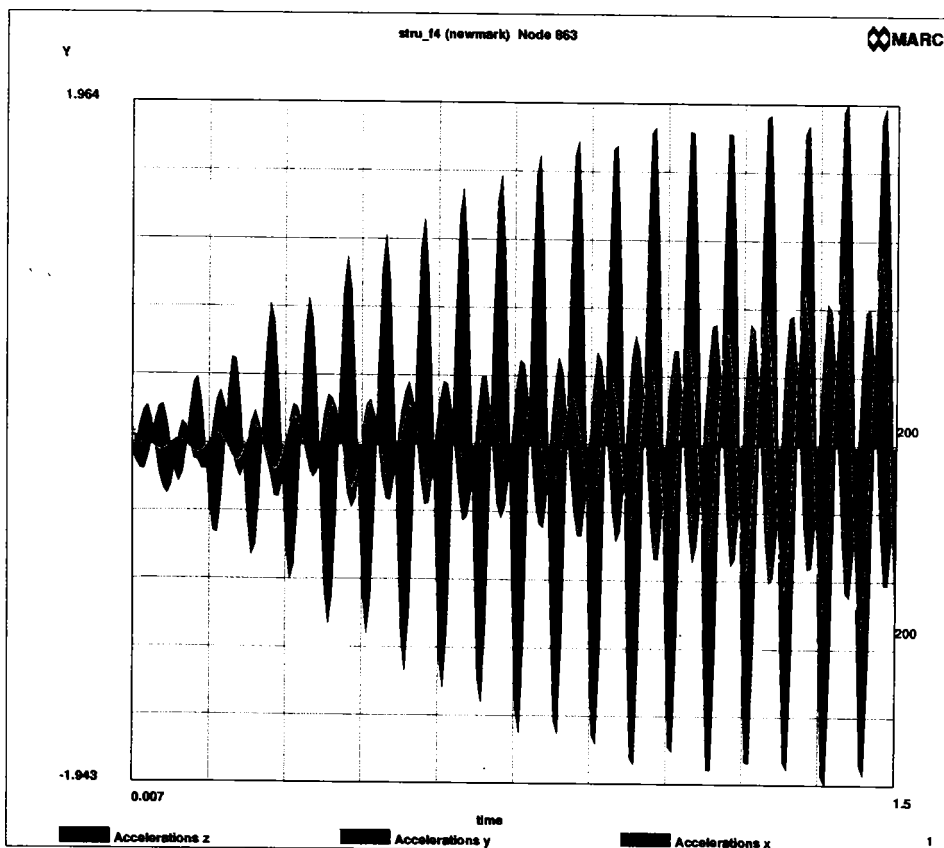


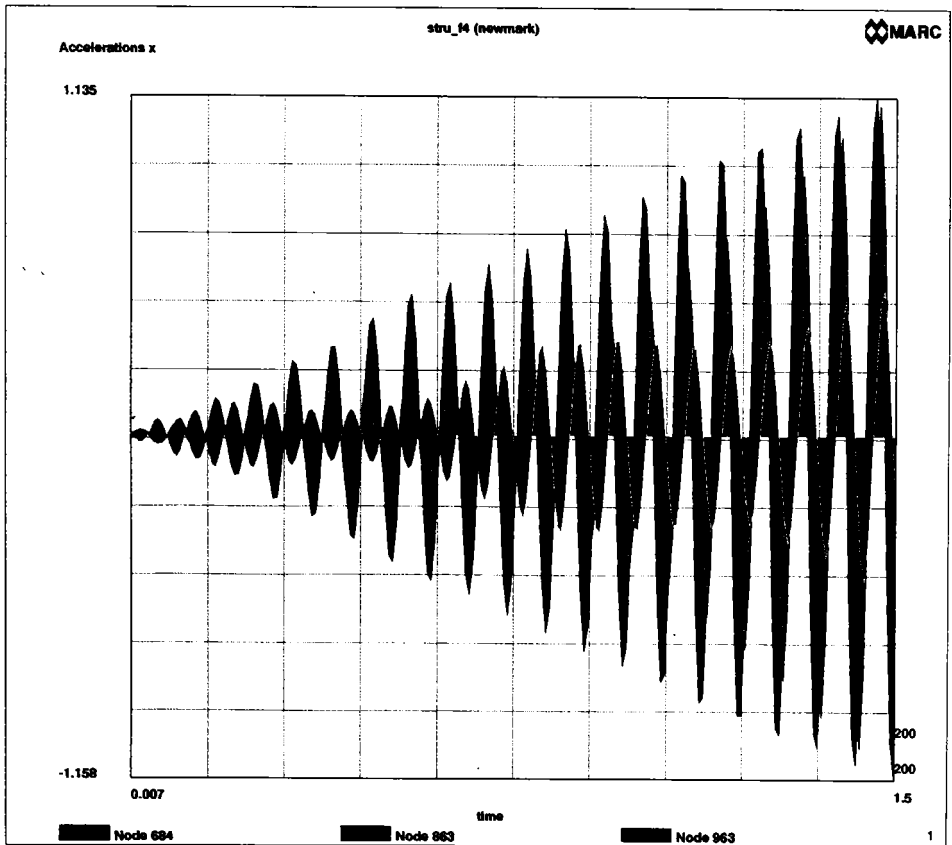


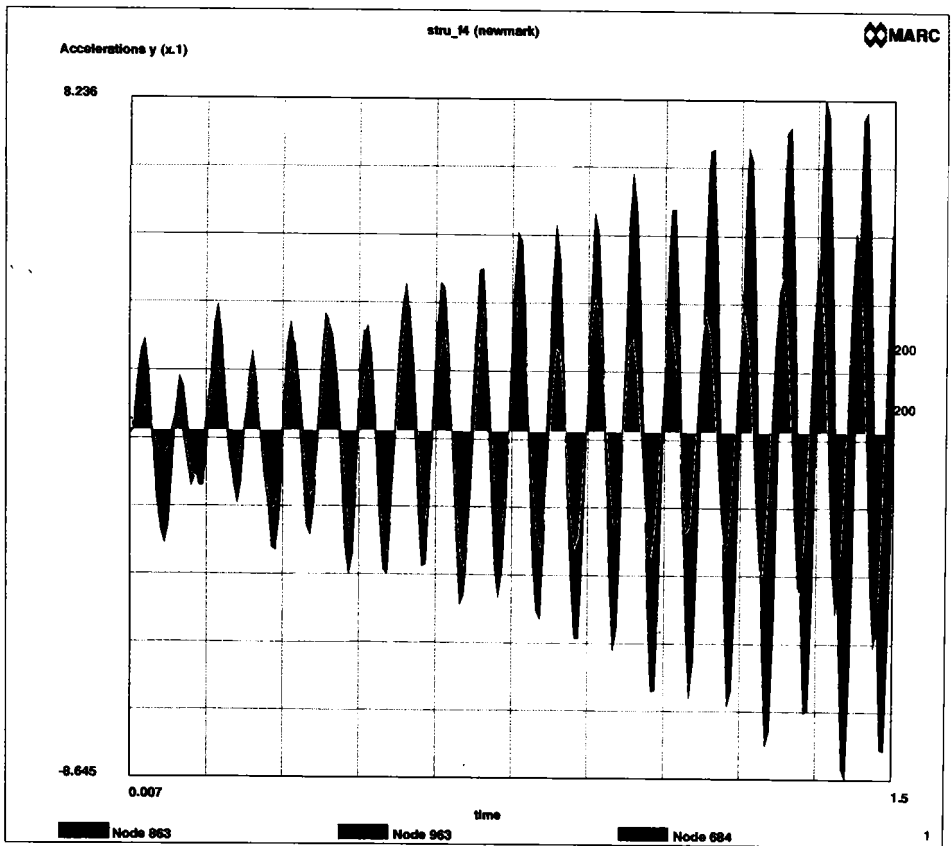


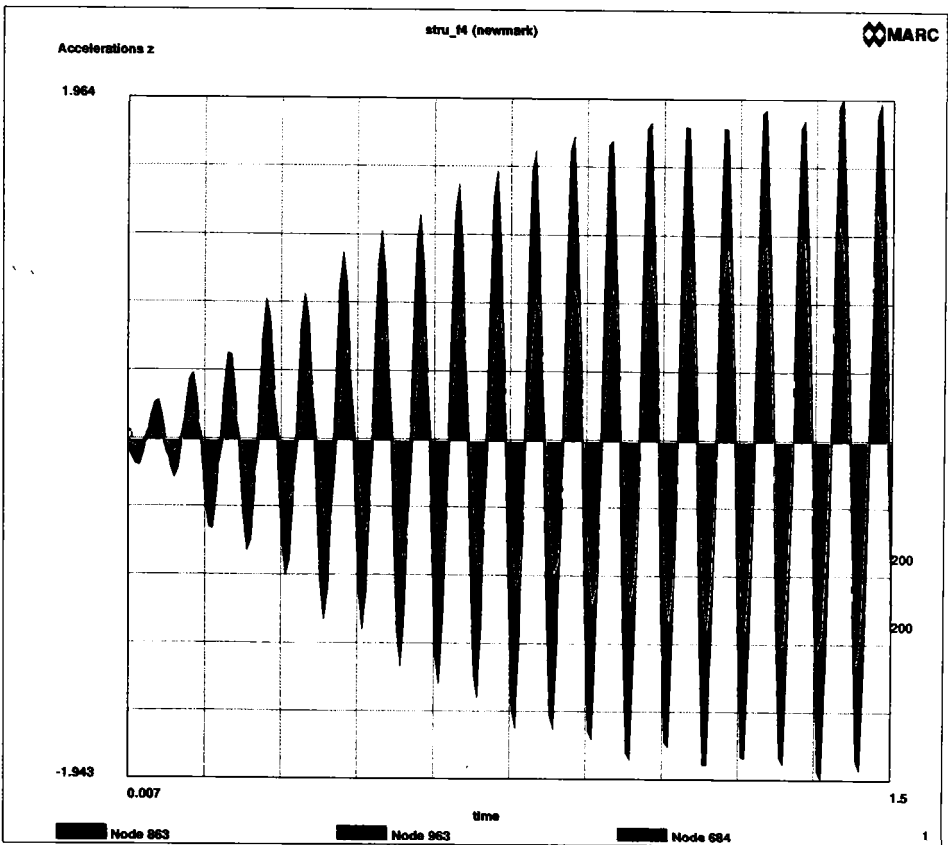




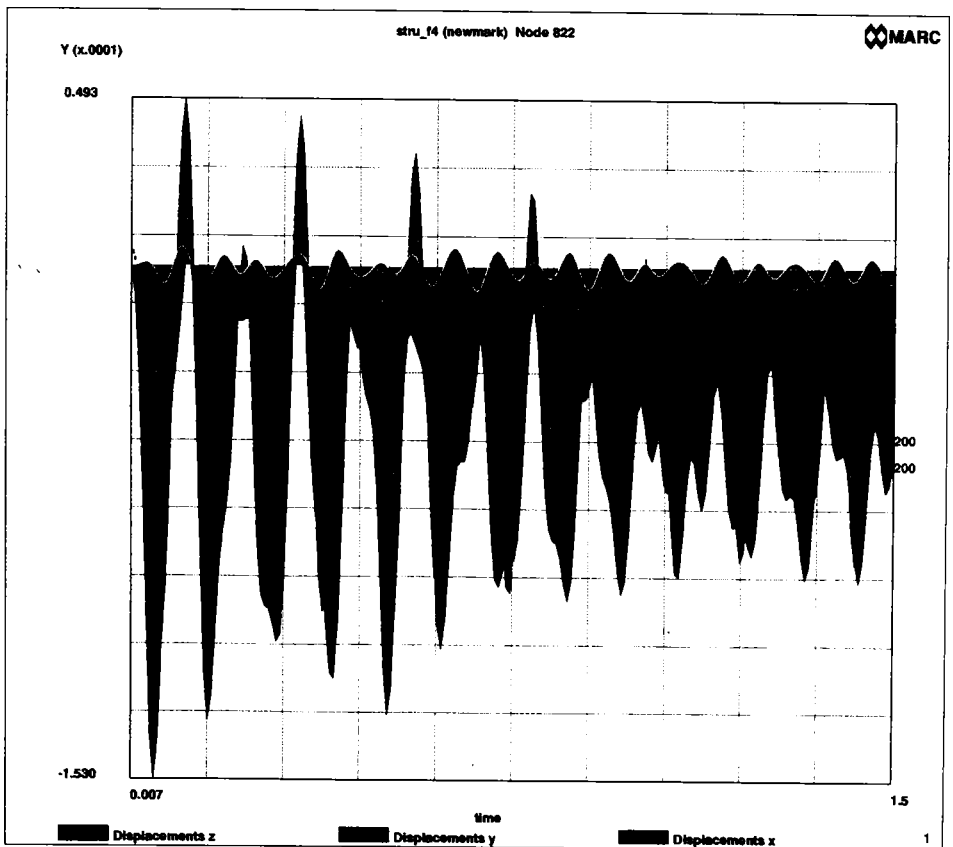


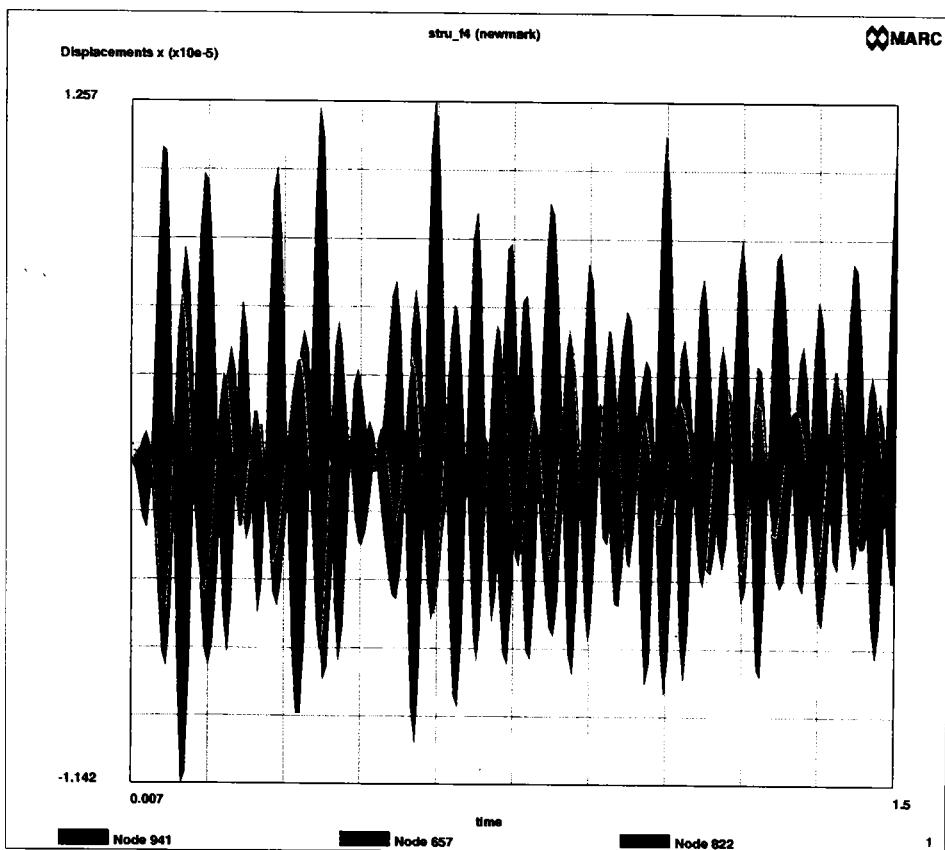


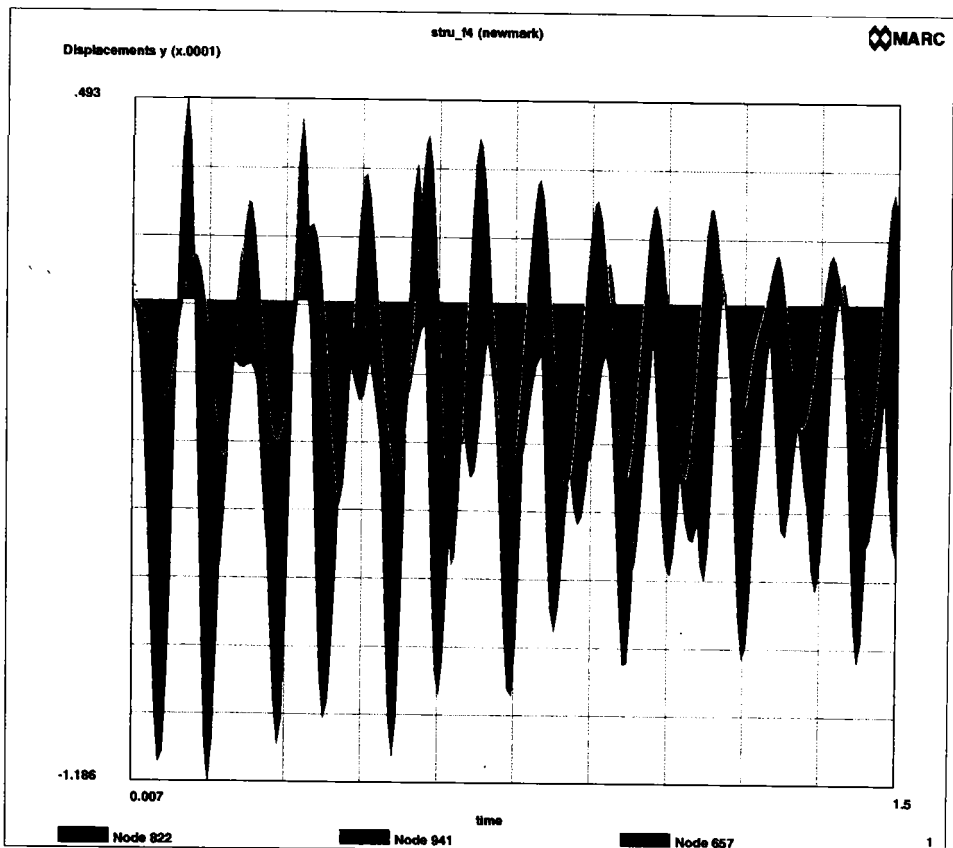


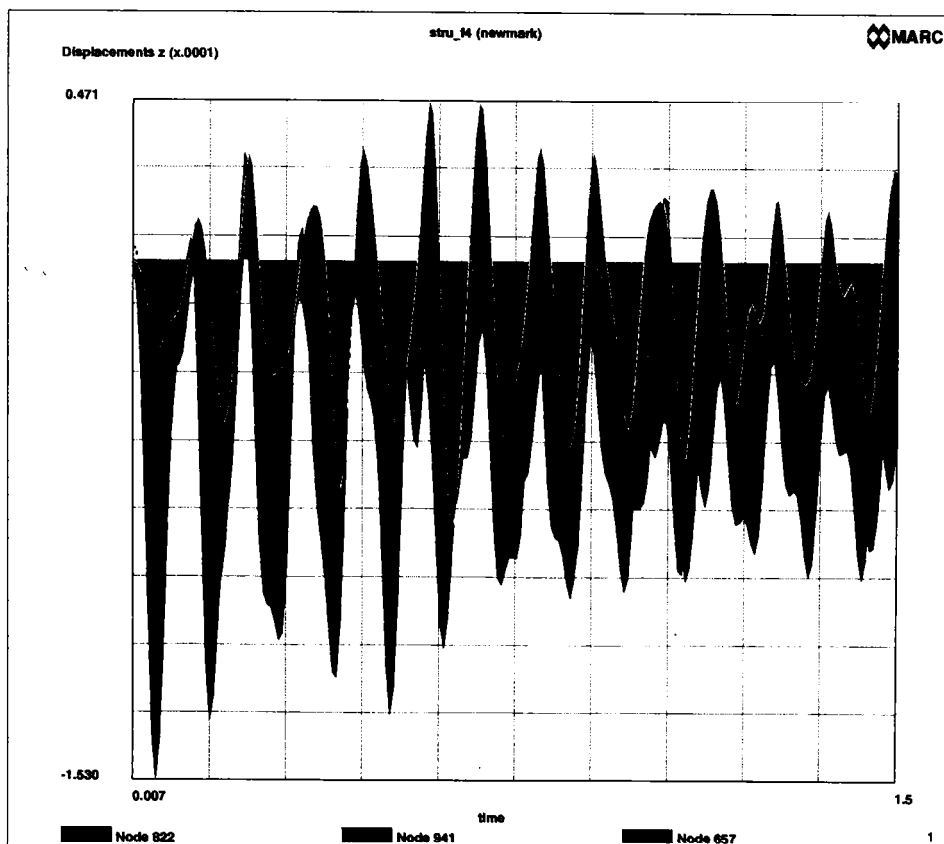


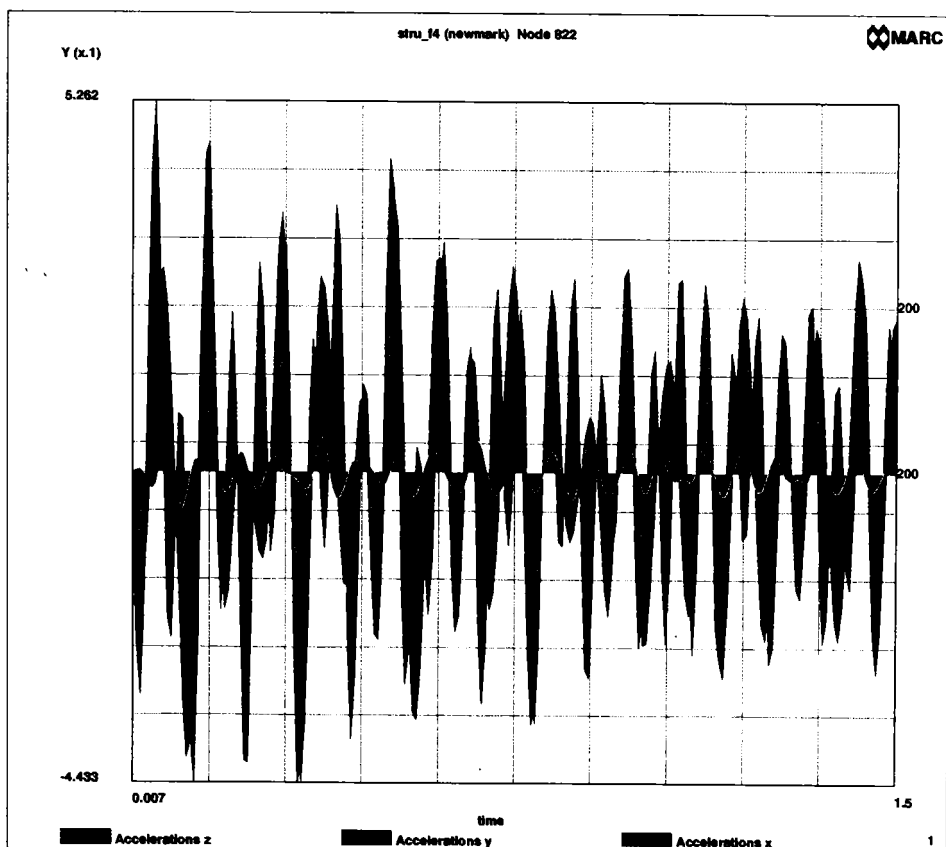


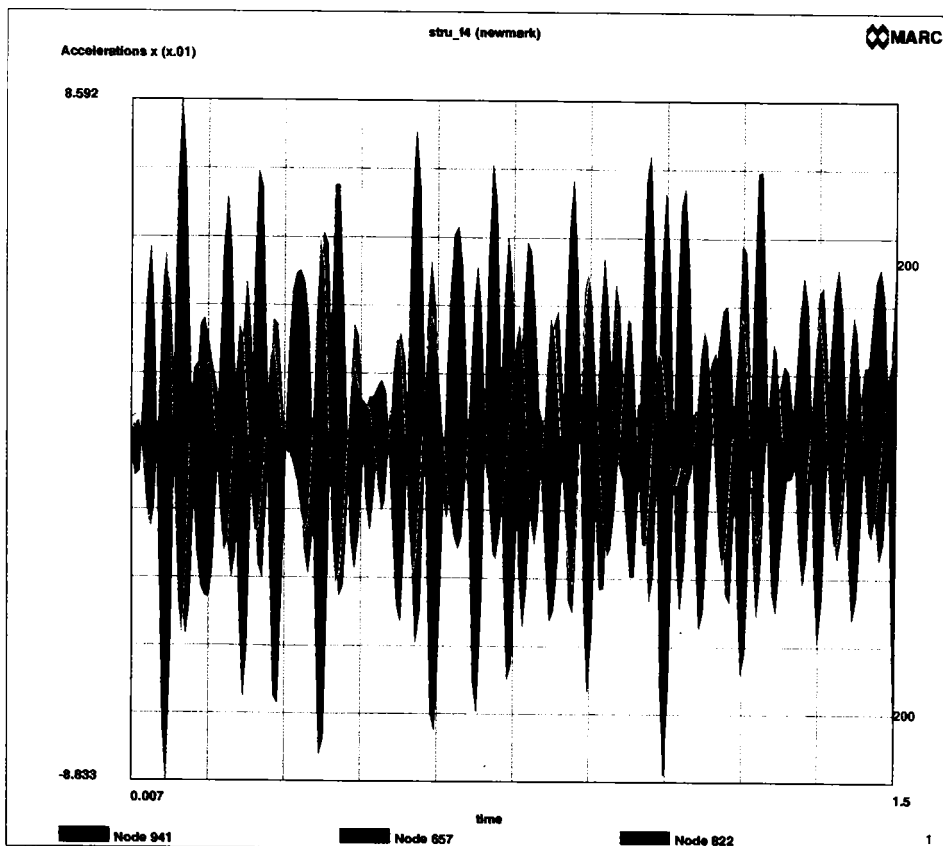


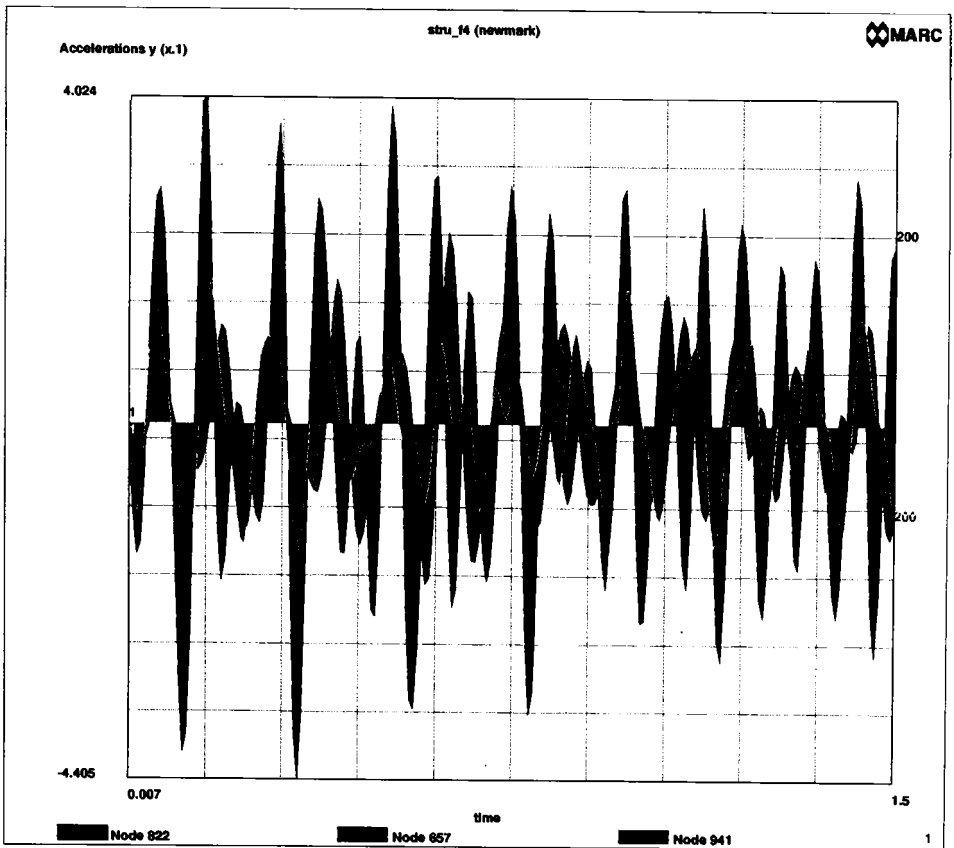


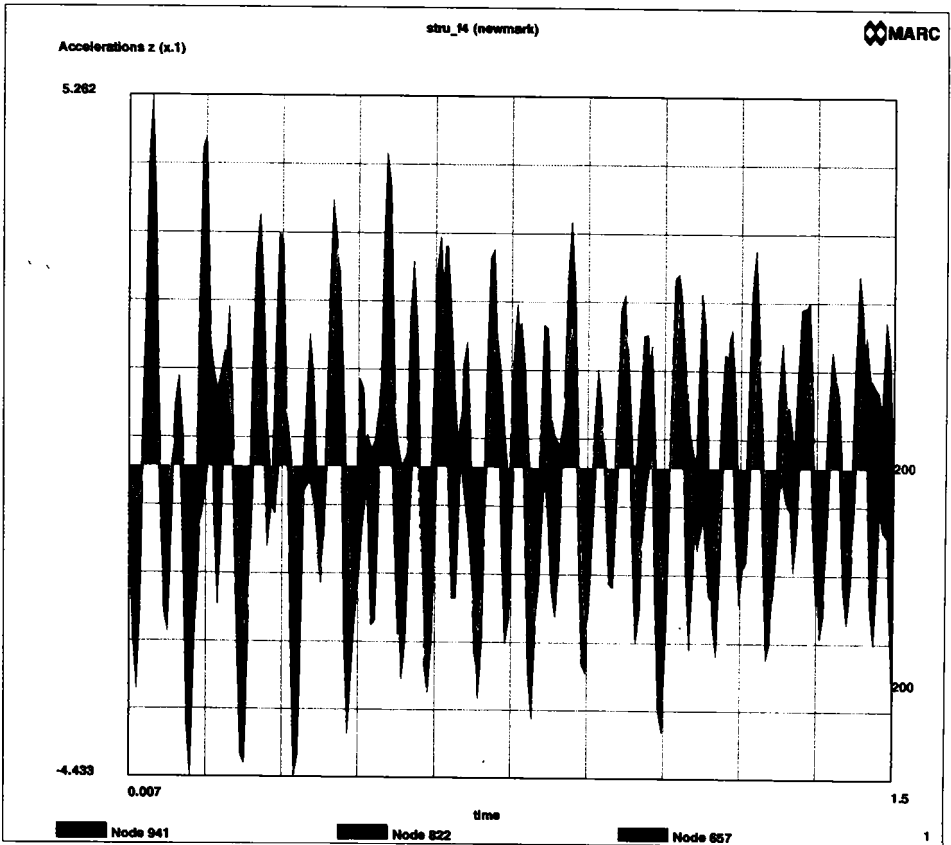




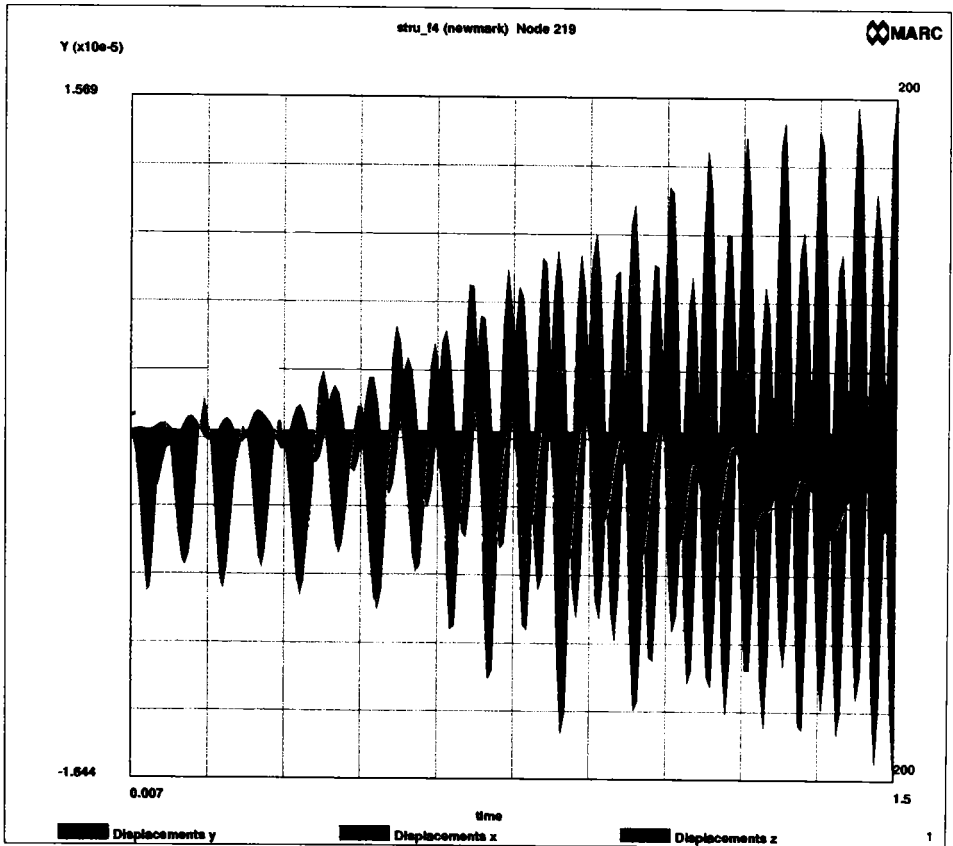


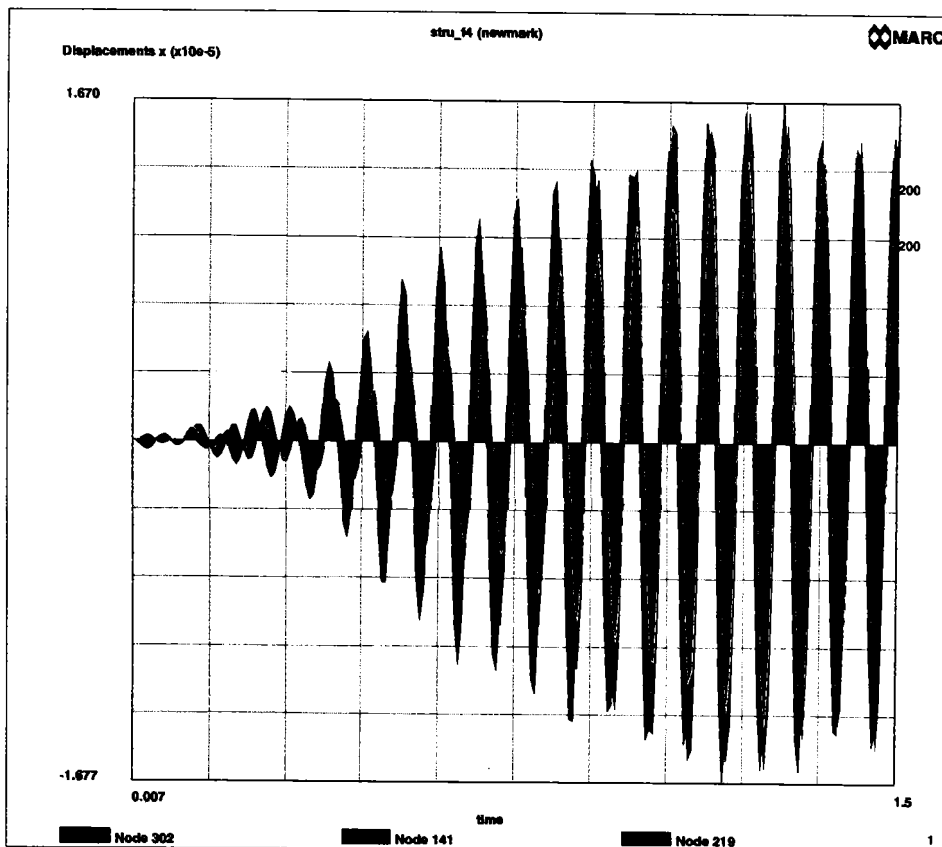


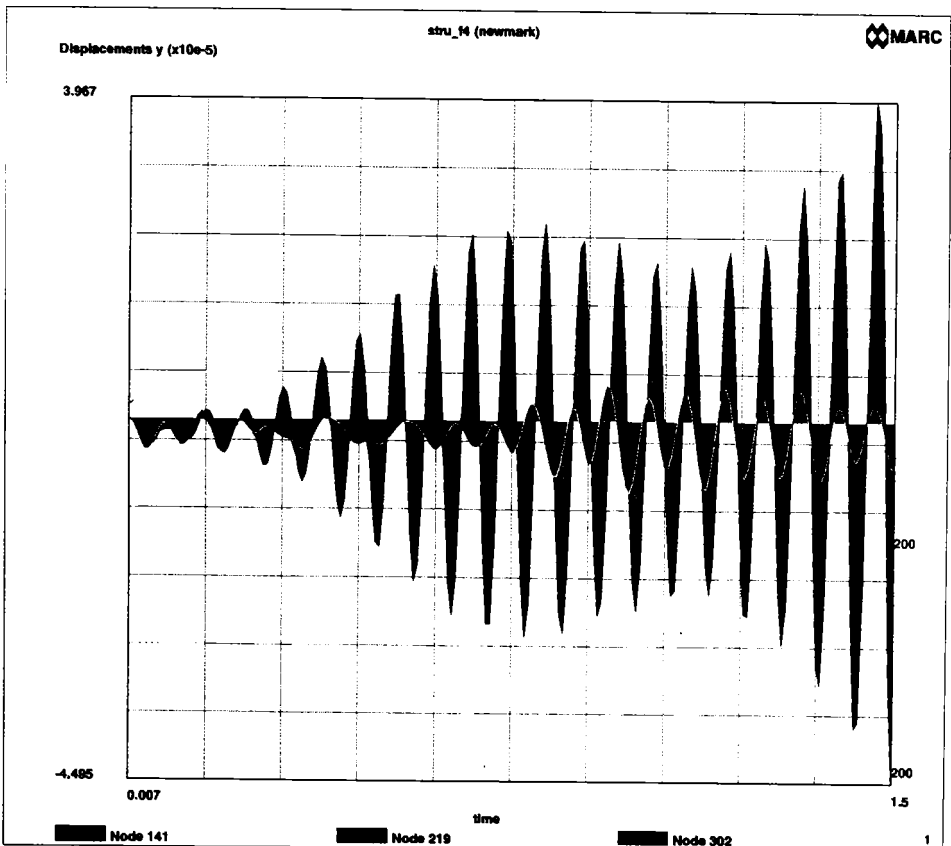


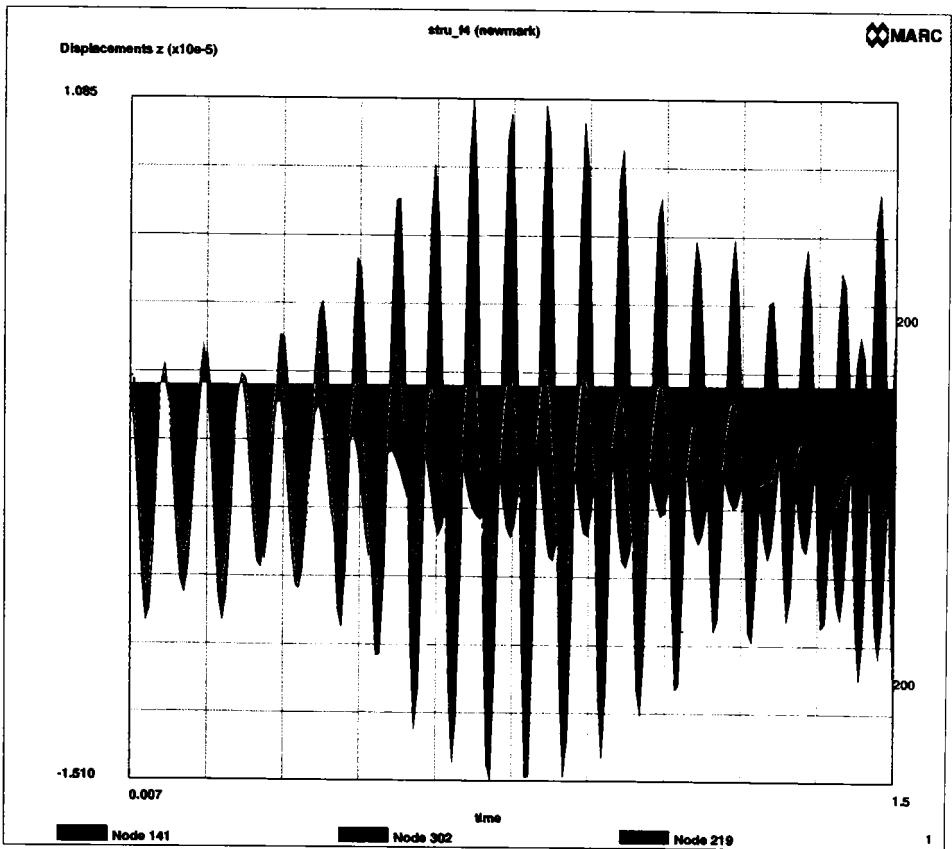


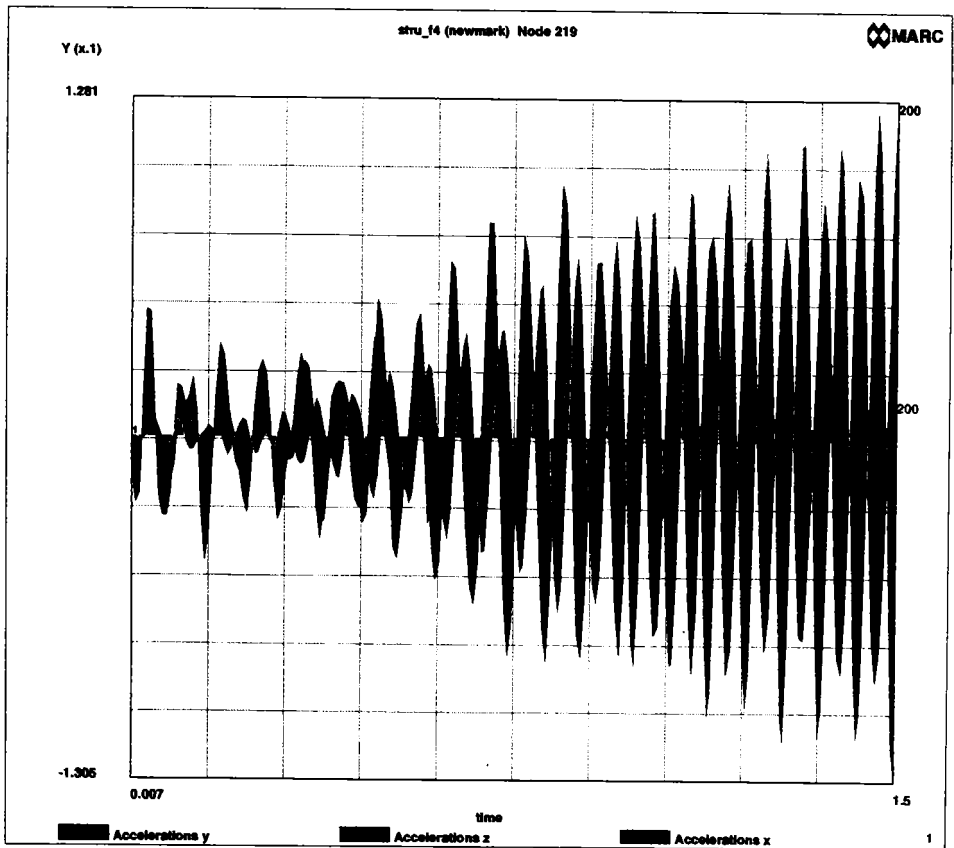


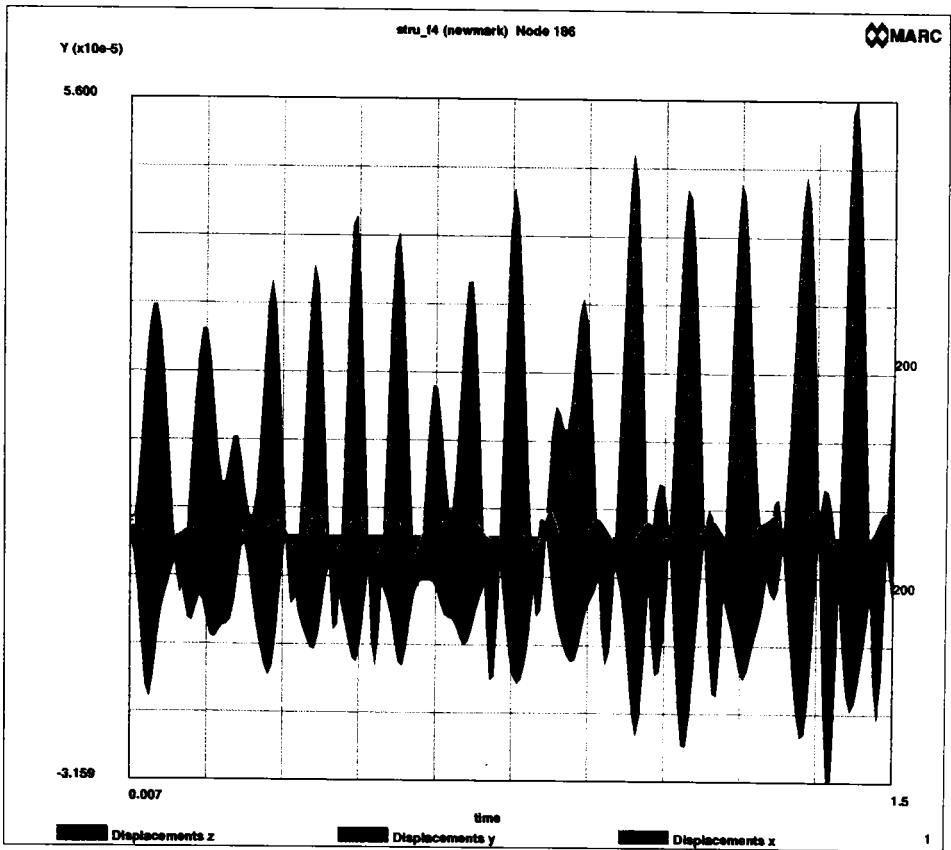


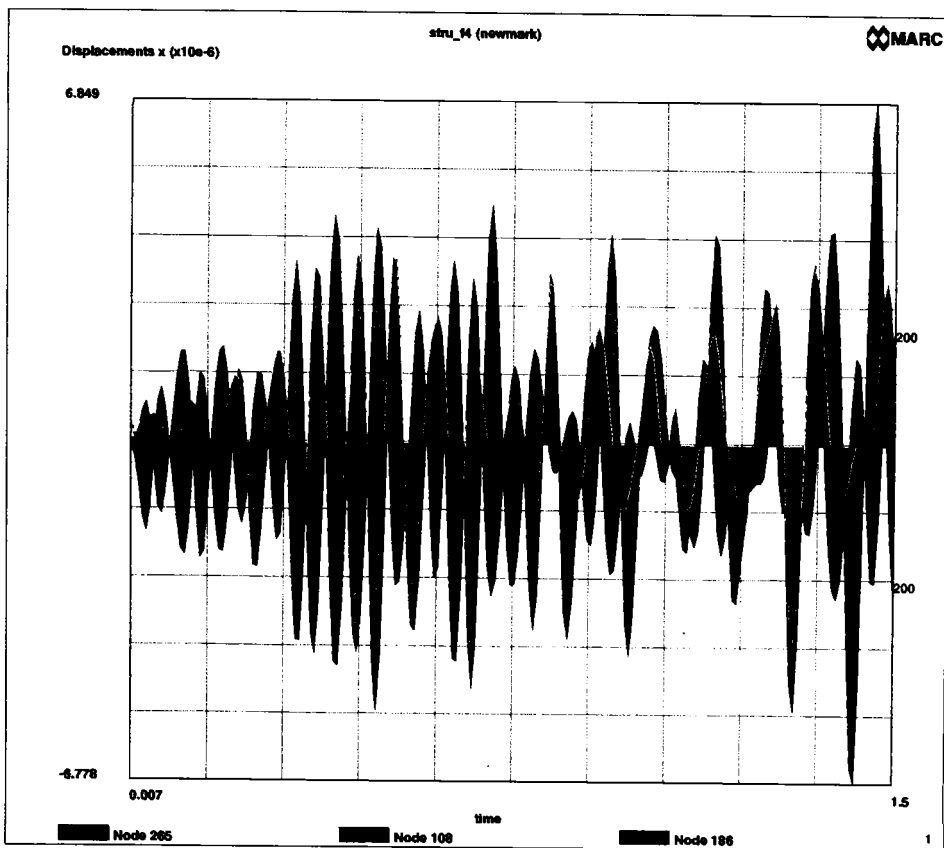


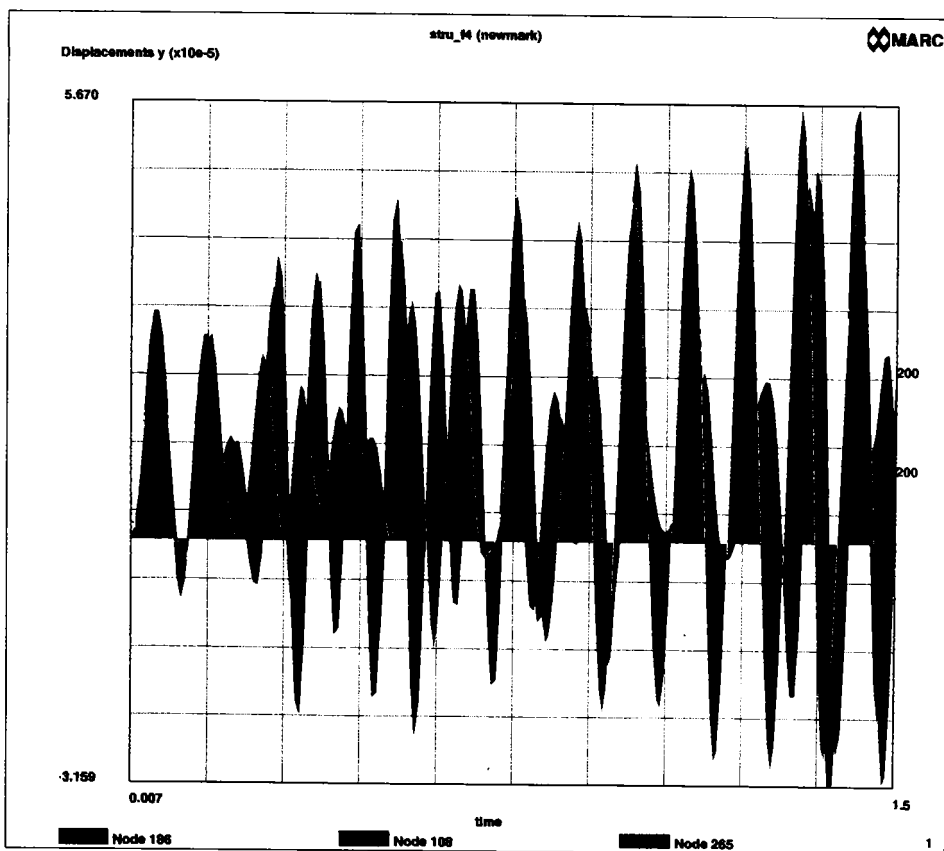




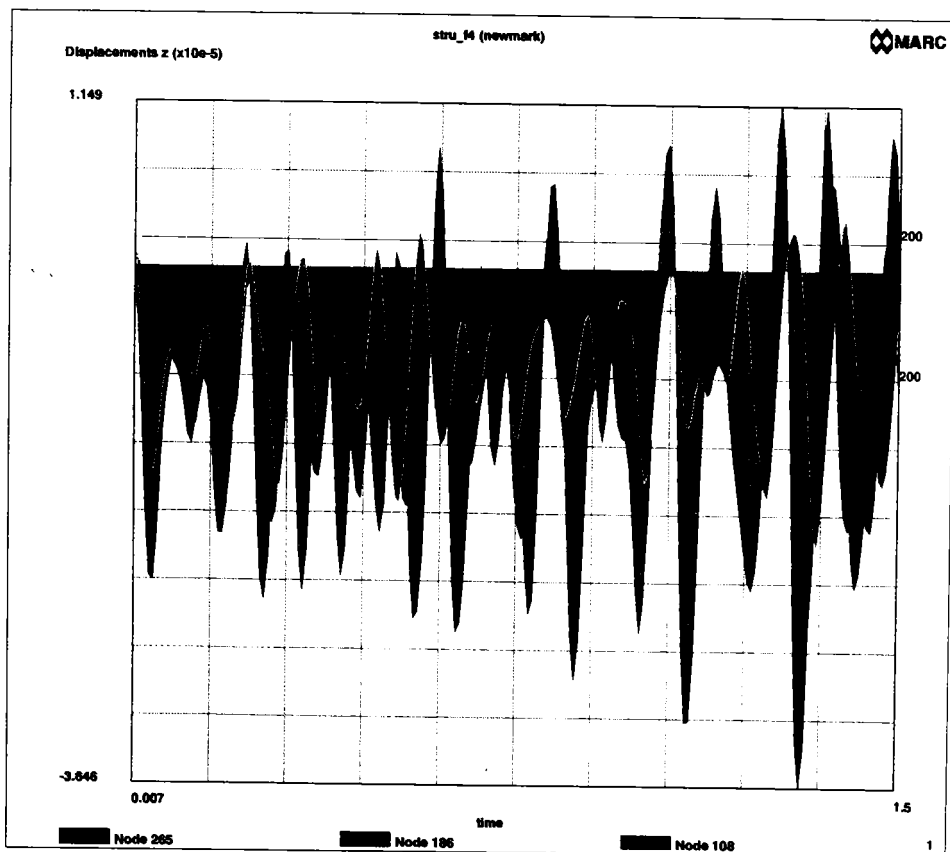


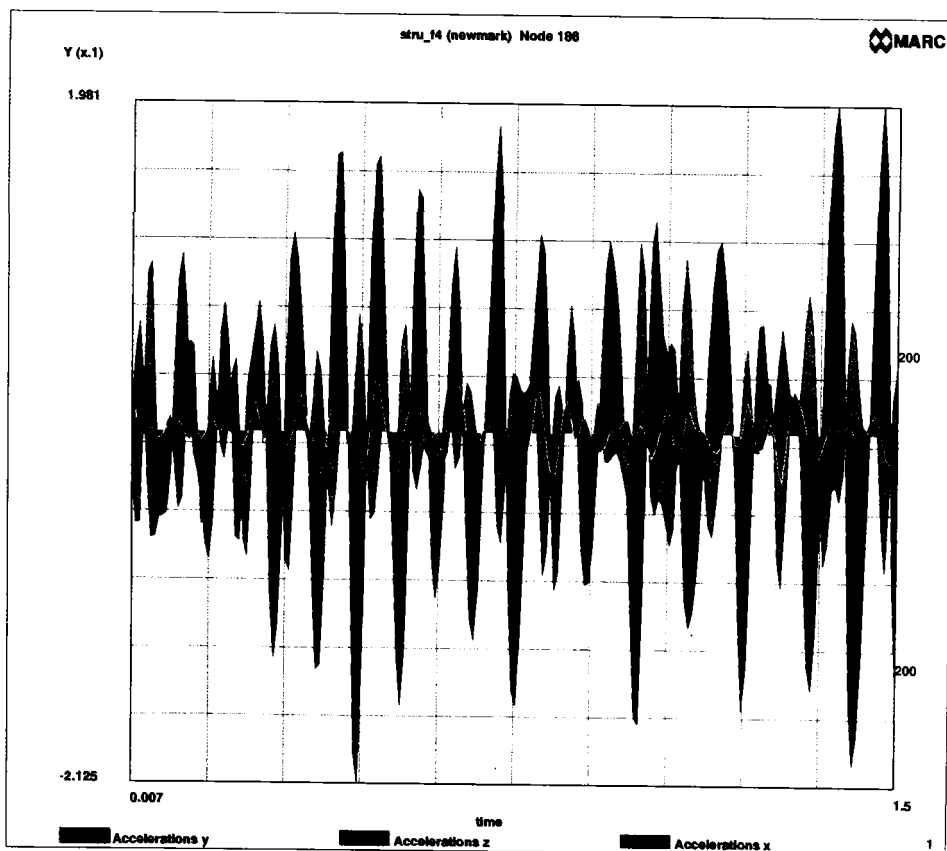


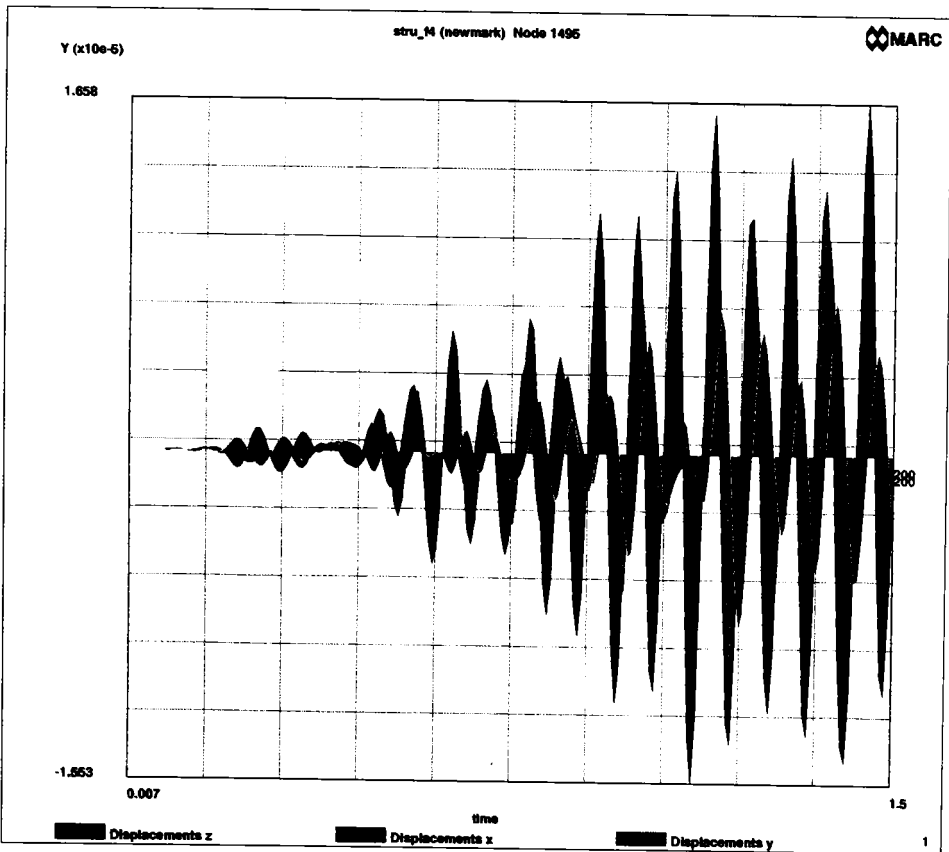


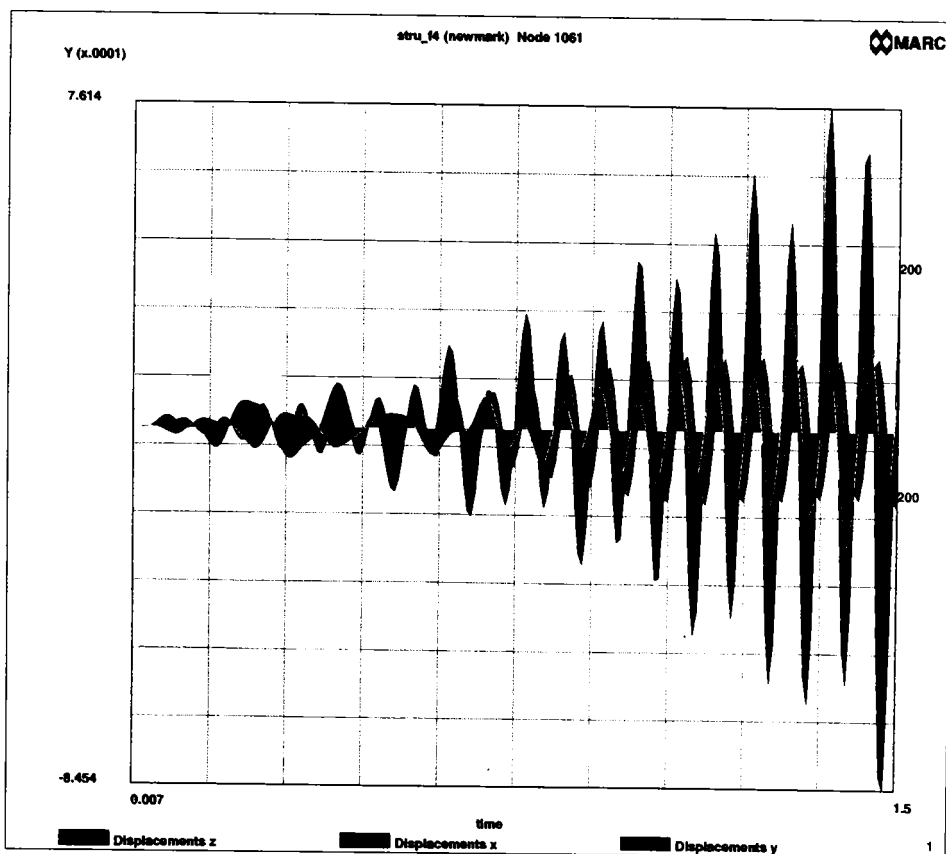


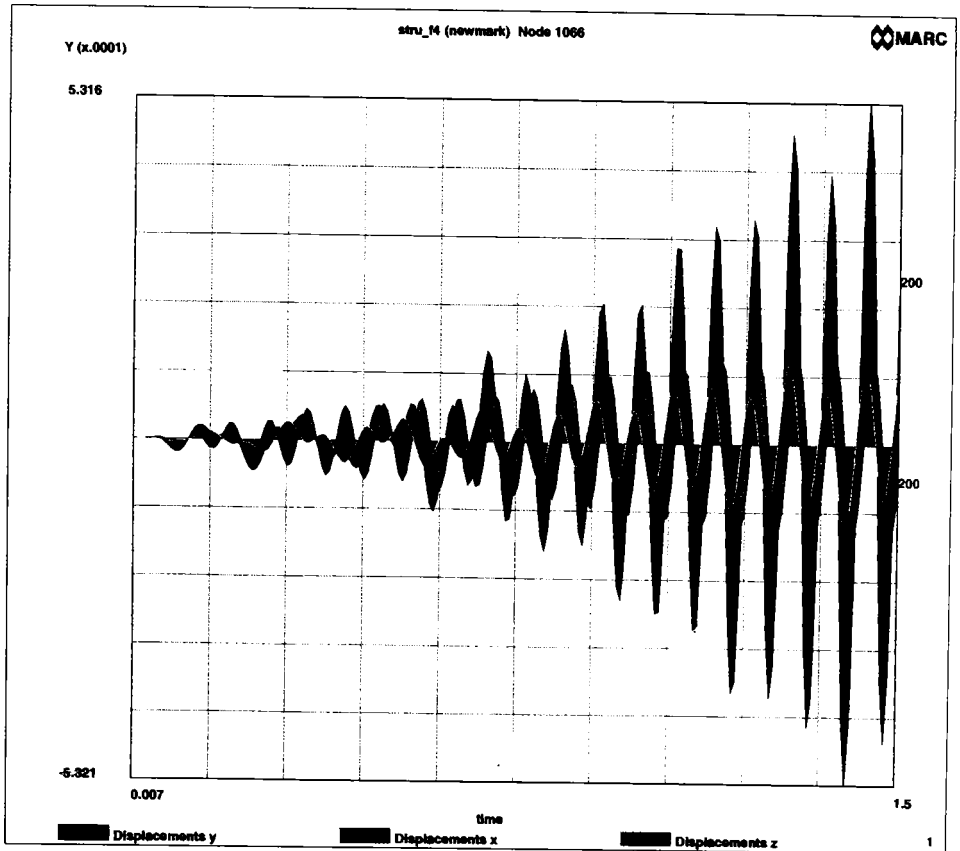


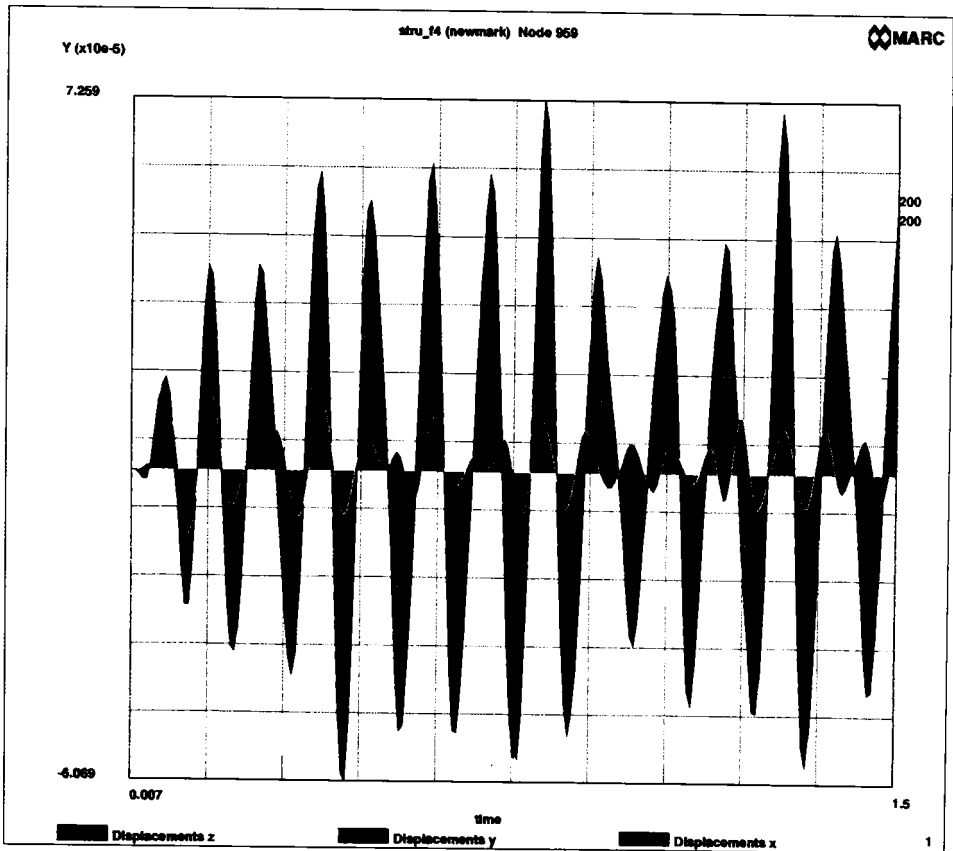


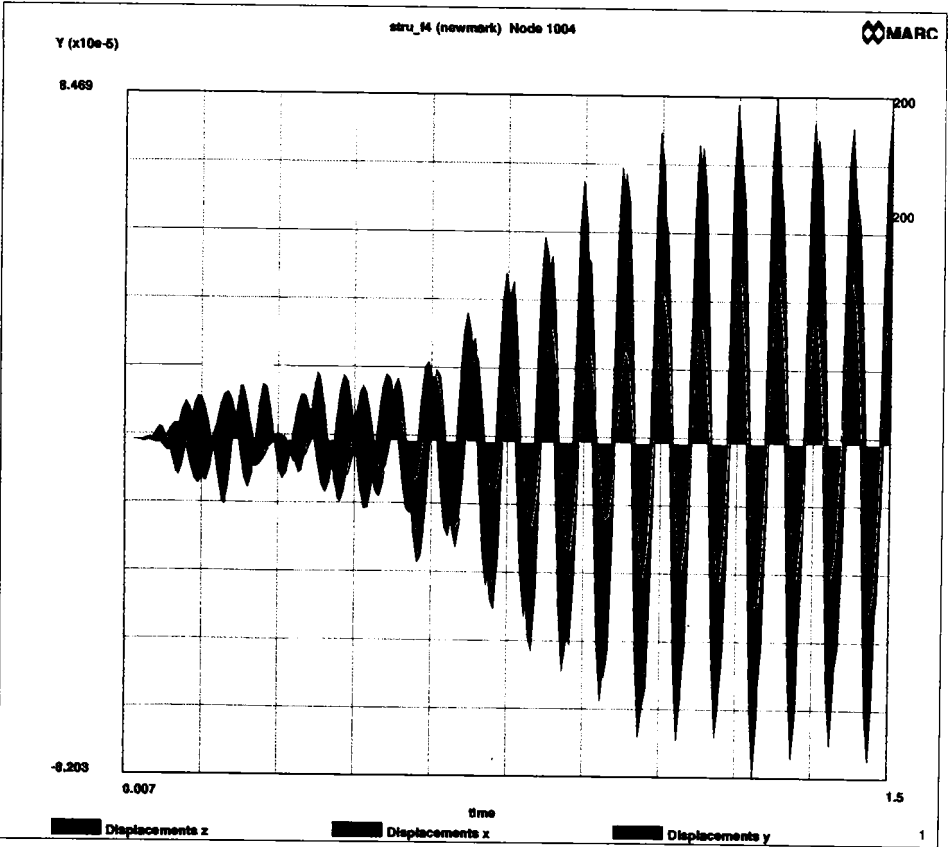


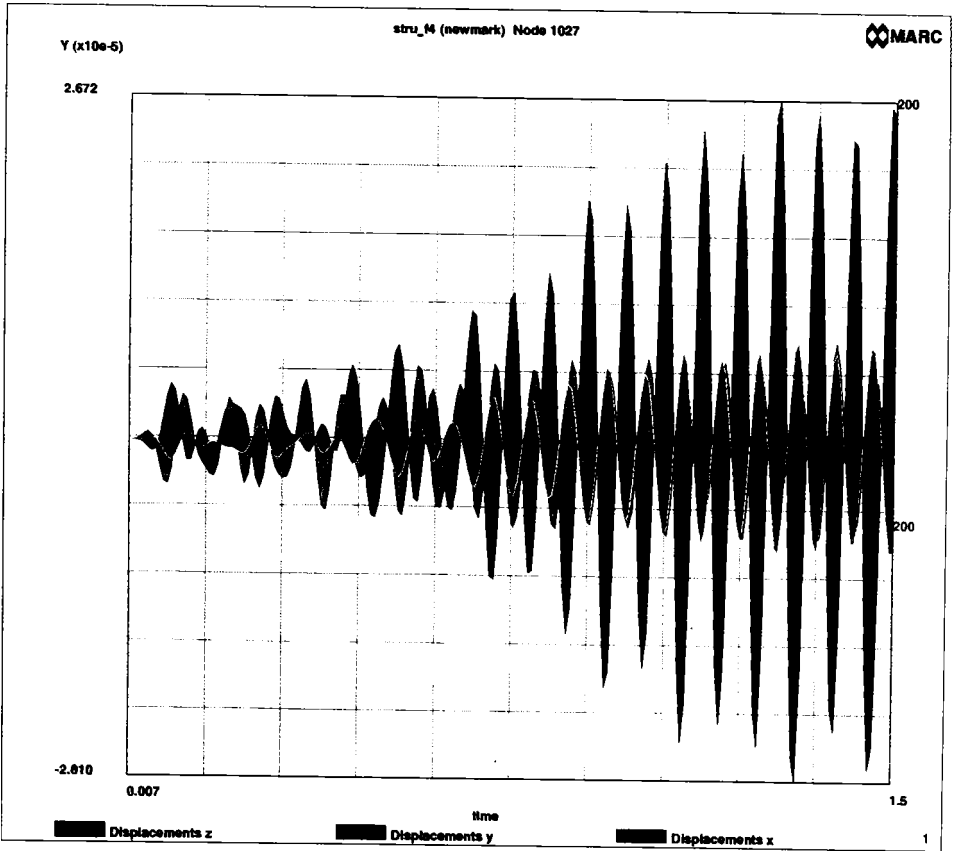




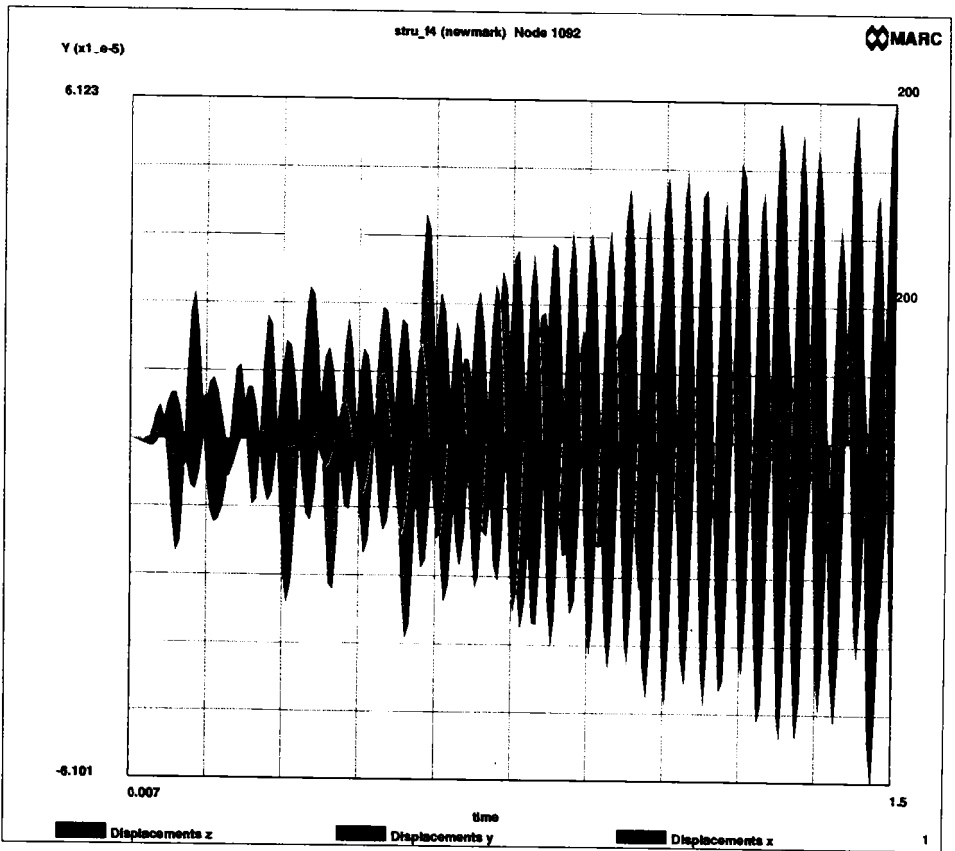


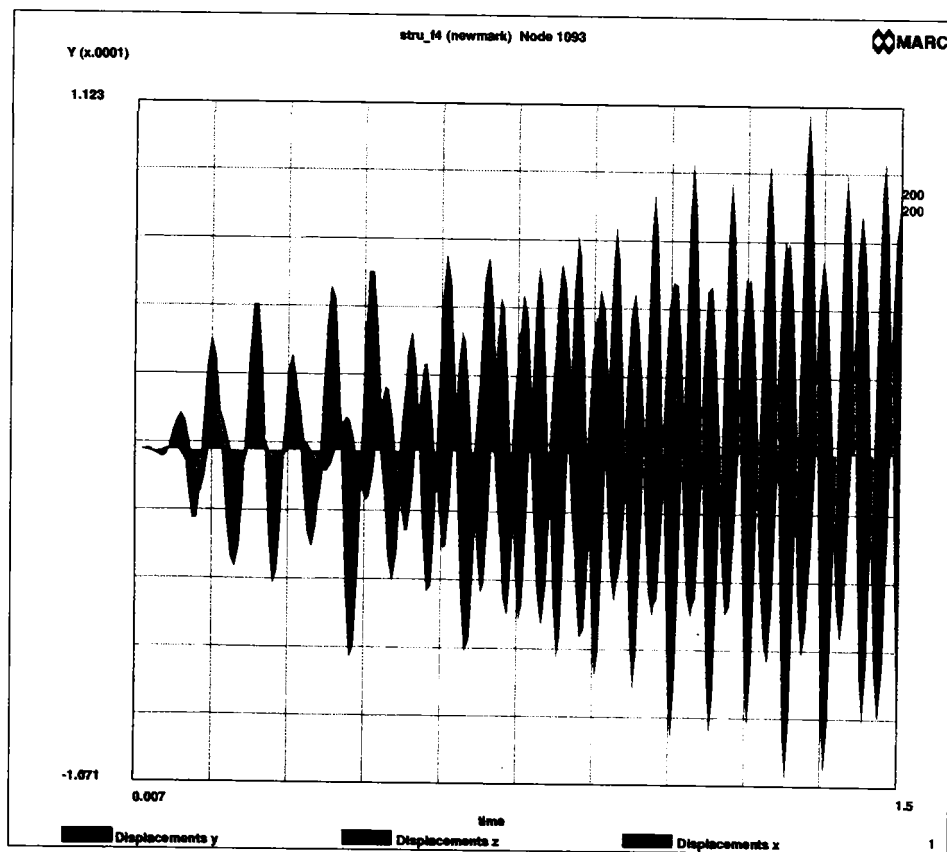


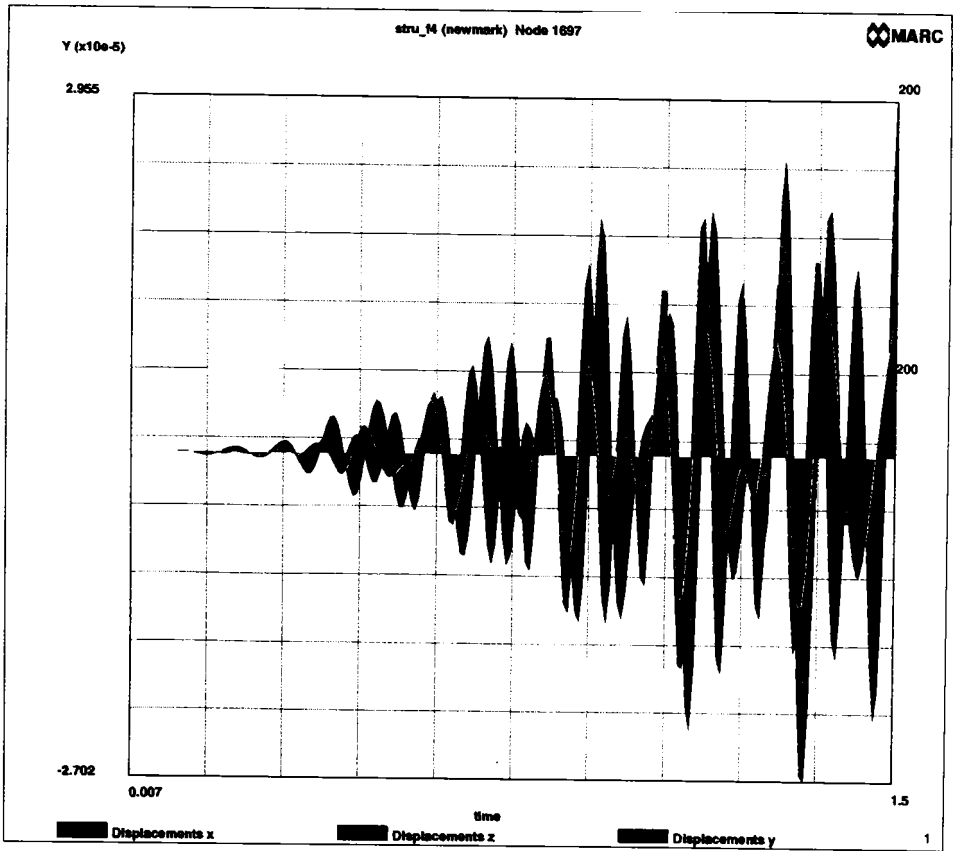


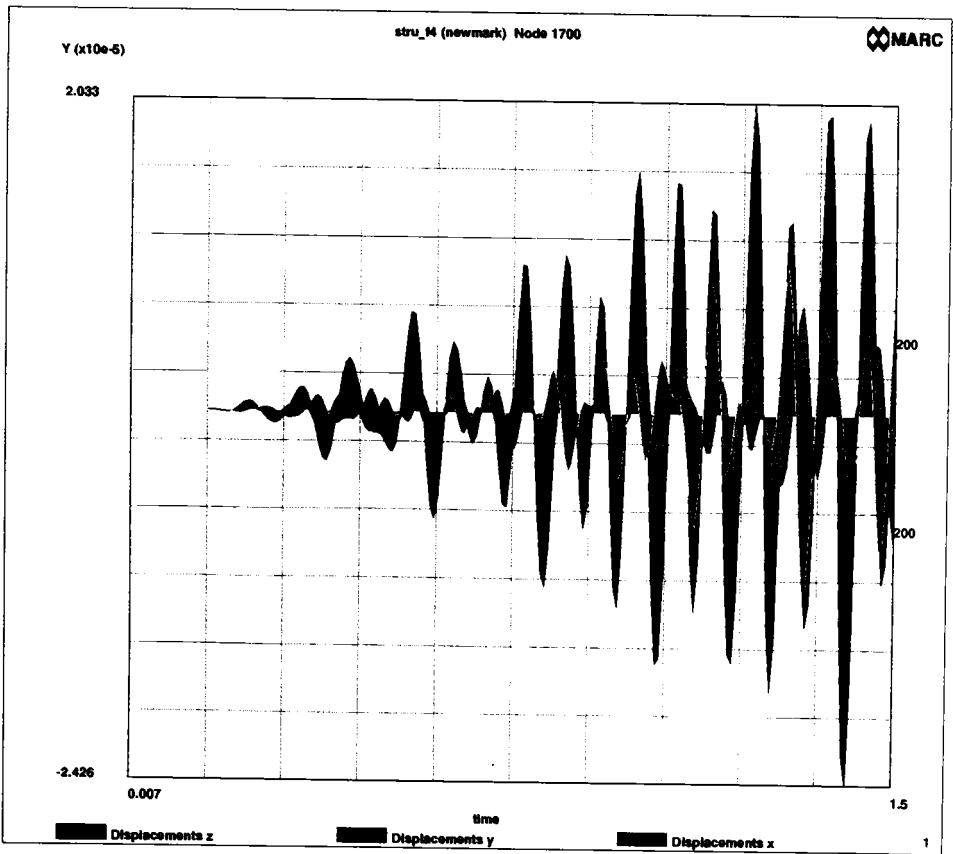












**CALCULUL VIBRATIILOR FORTATE pentru:**

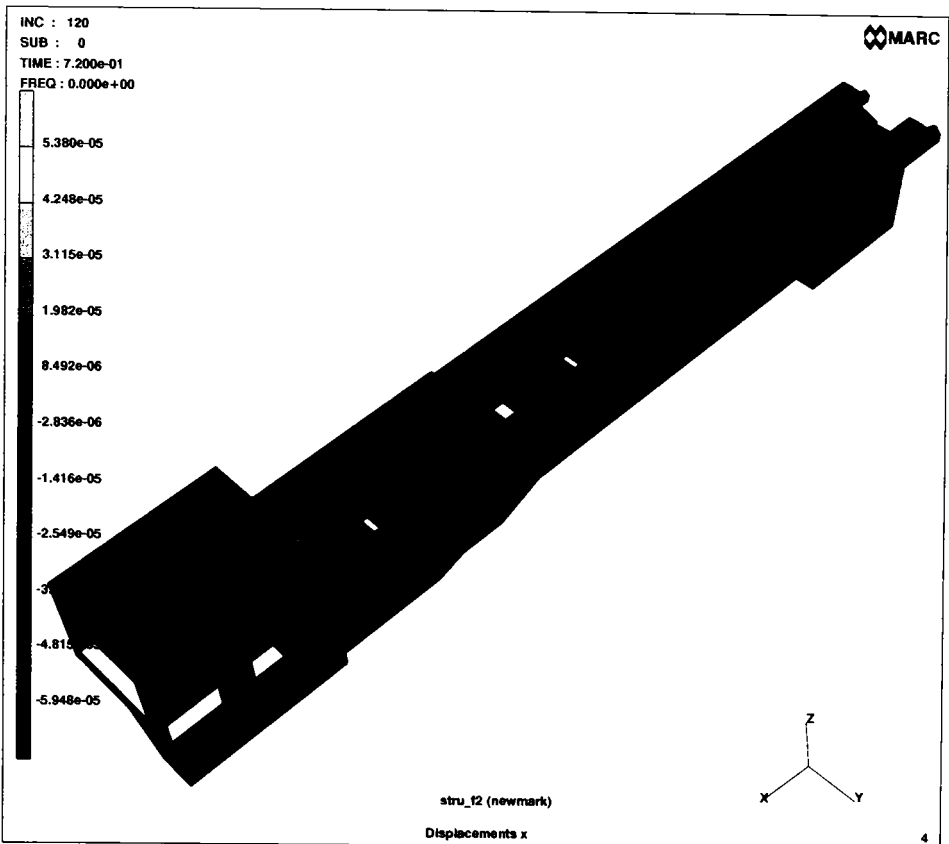
$$n=1000 \text{ rpm}$$

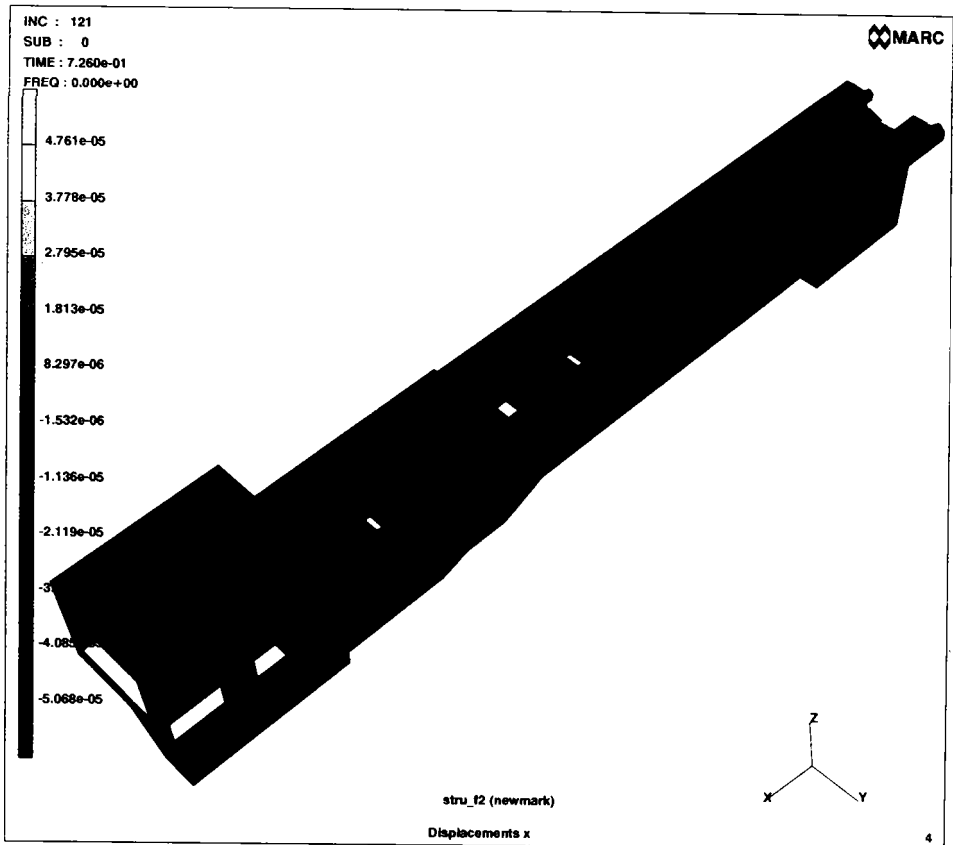
$$t=1.5 \text{ s} ; \Delta t = 0.006 \text{ ms}$$

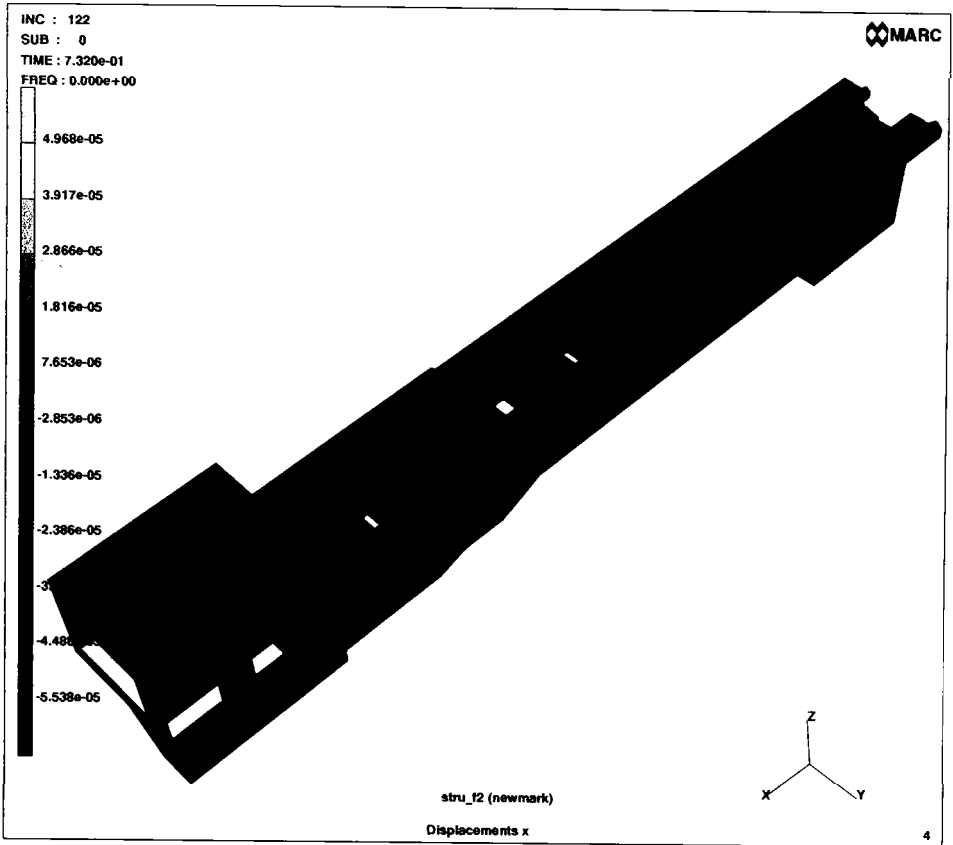
$$p_{\text{nod}} = \bar{p}_{\text{o,nod}} + p_{\text{o}} \cos \omega t$$

$$p_{\text{o}} = 0.1 \bar{p}_{\text{o,nod}}$$

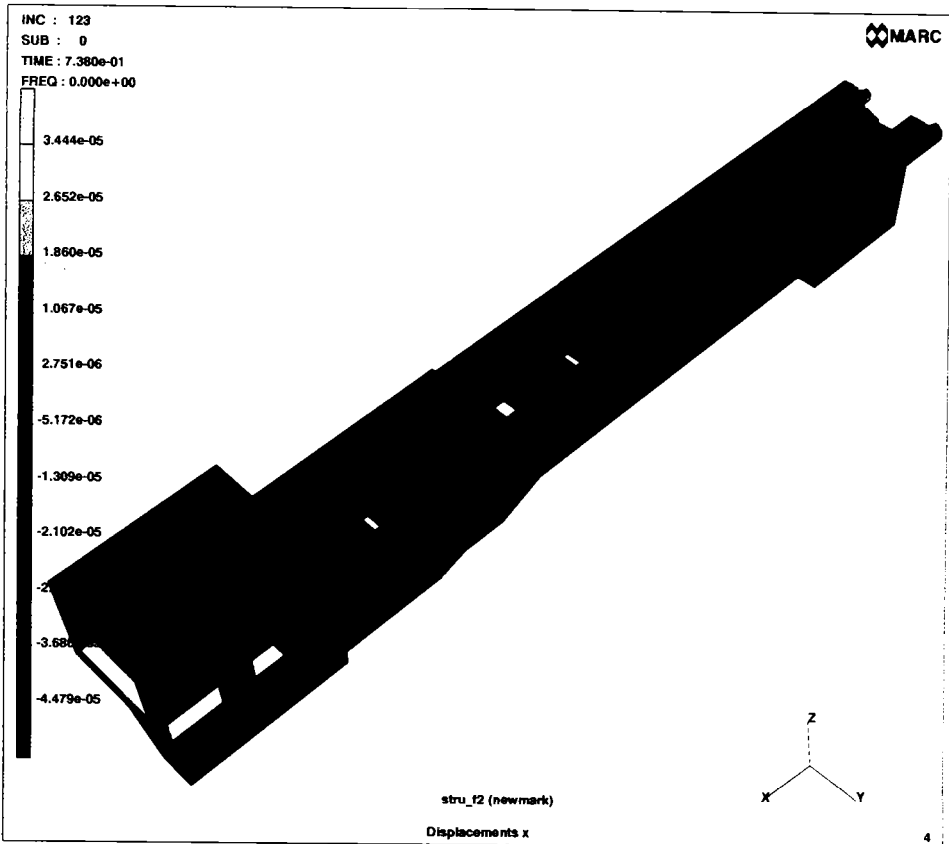
**amortizare structurala**

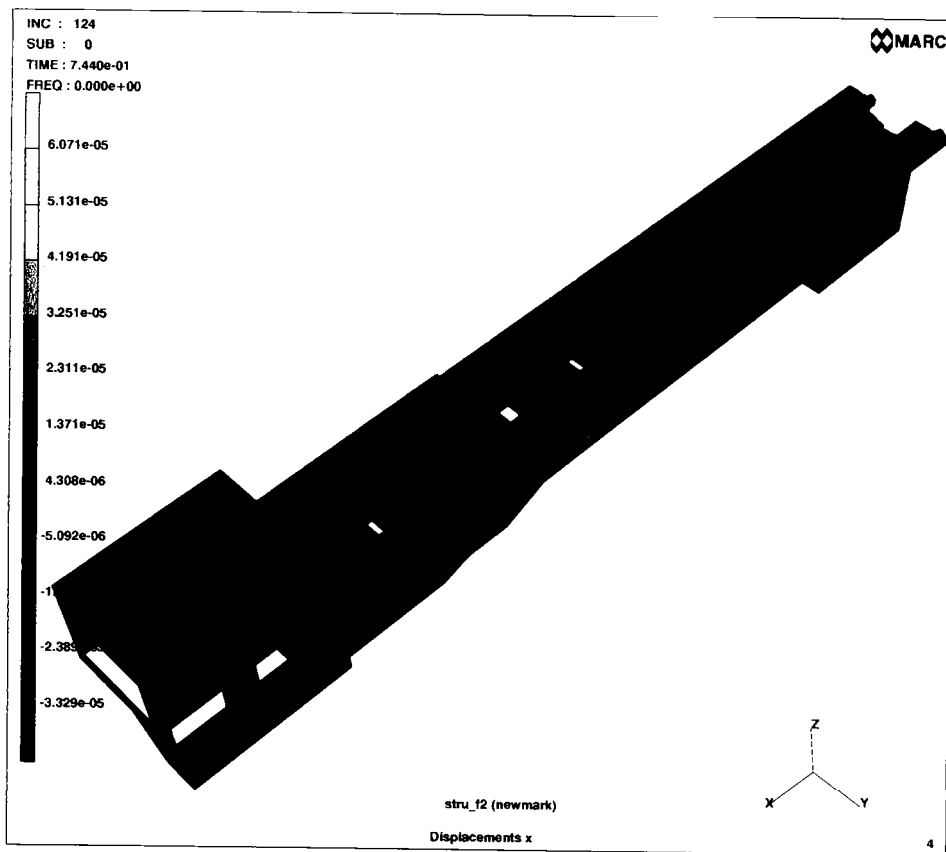


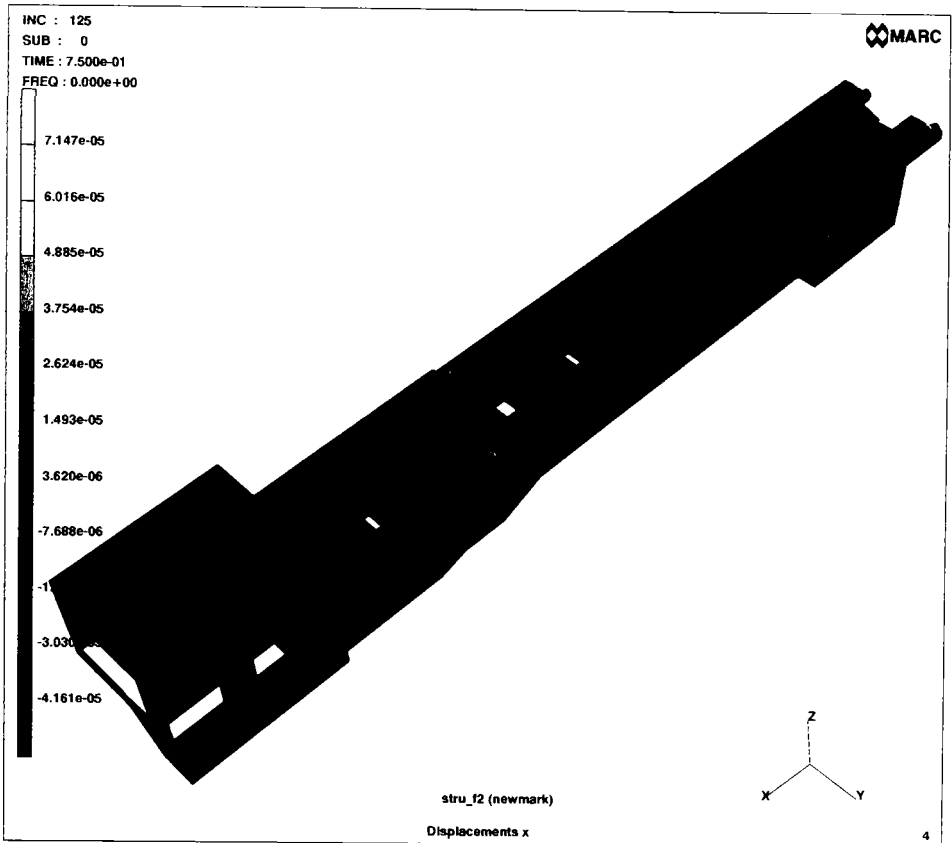


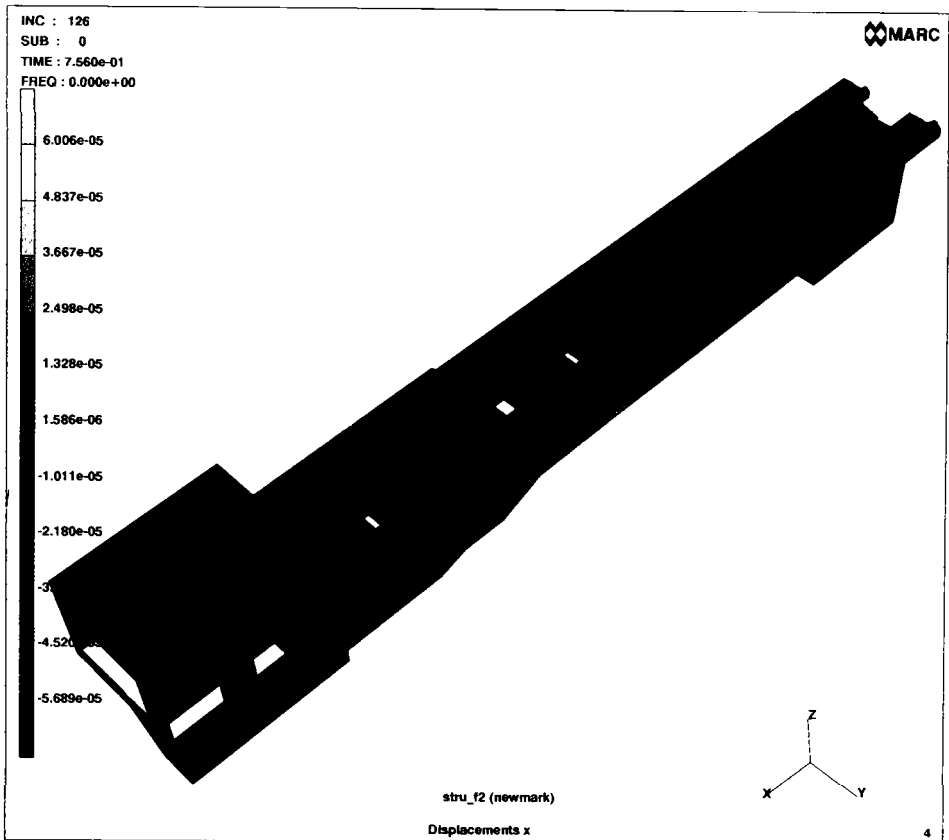


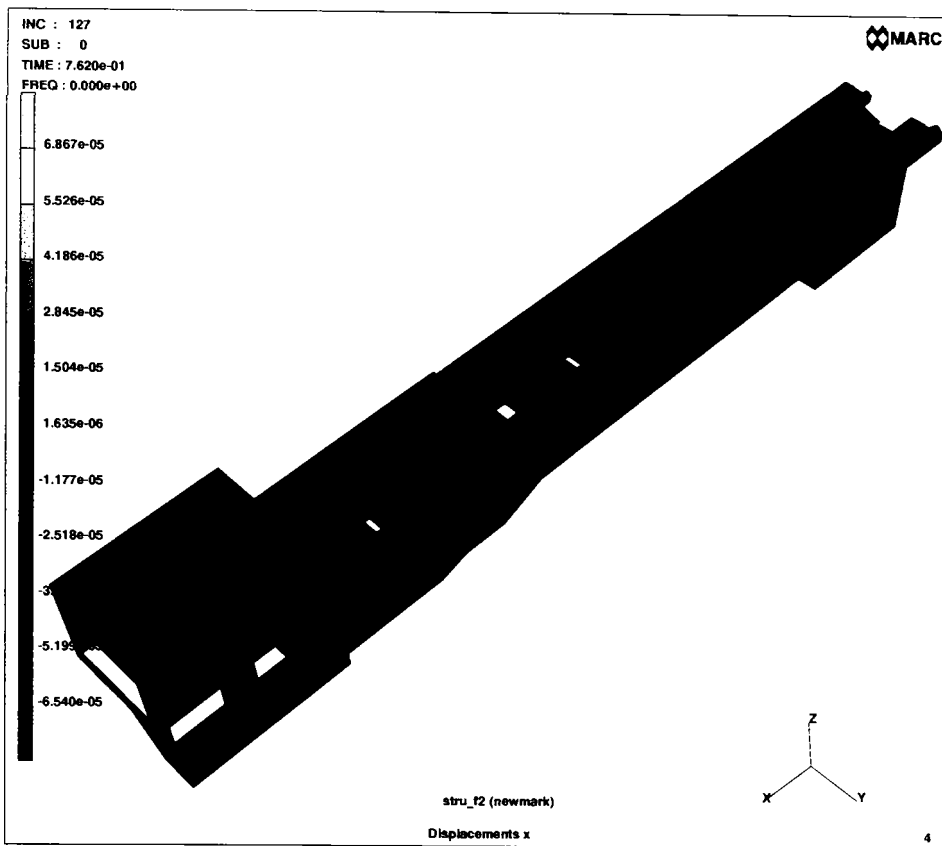


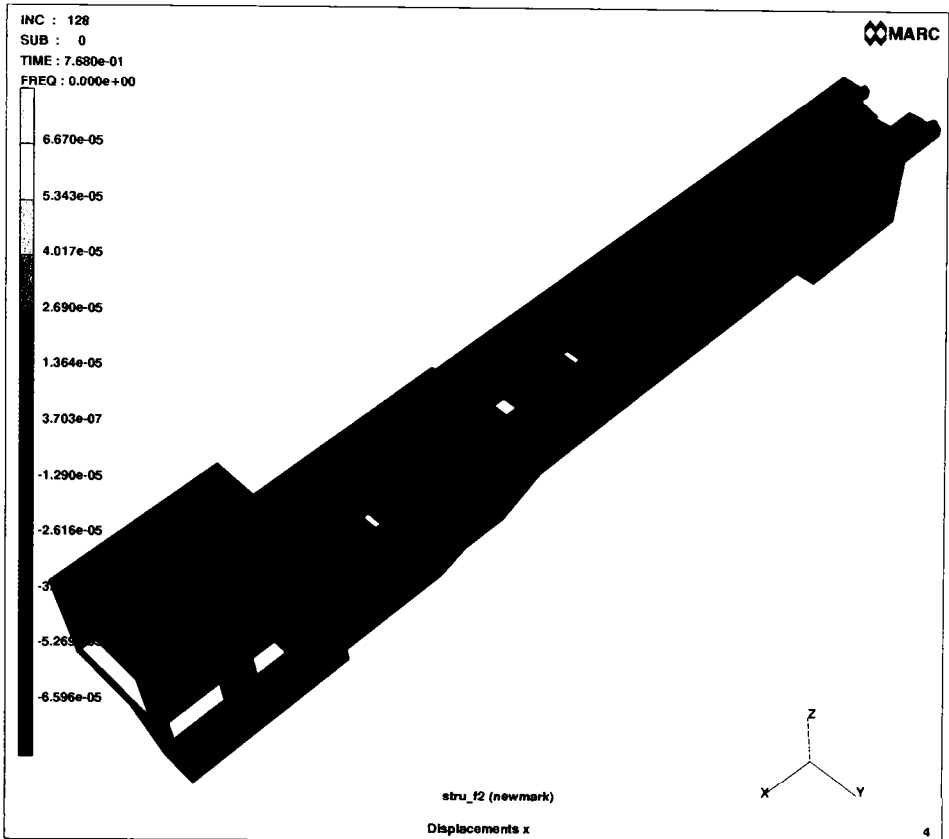


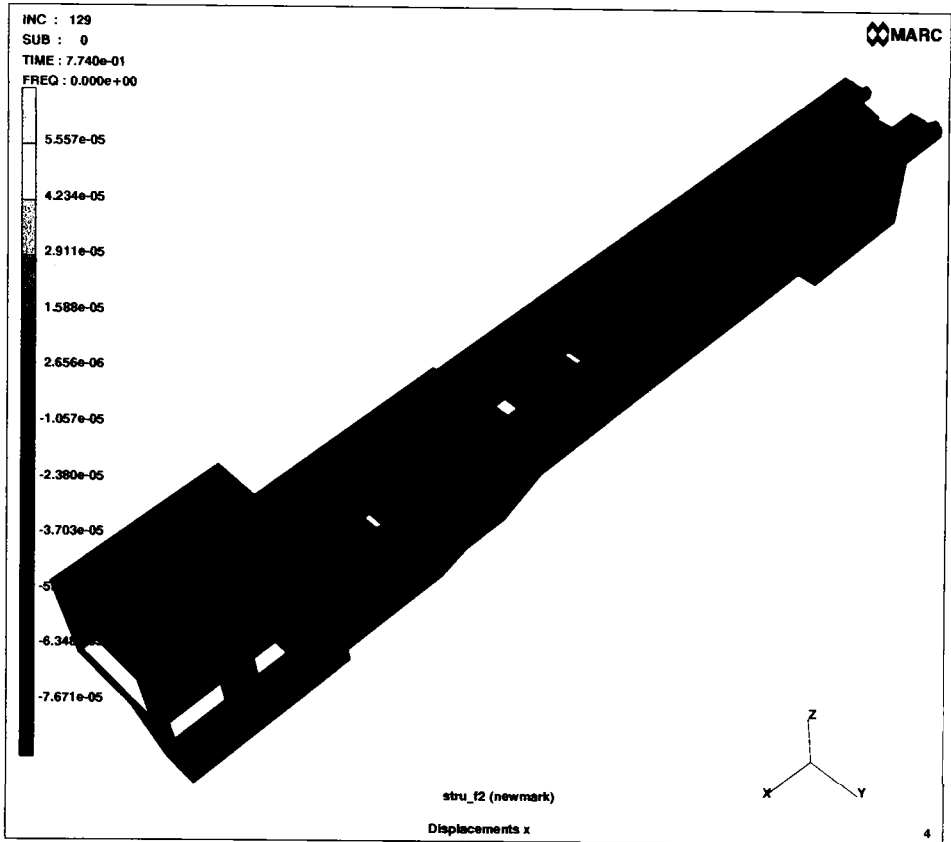


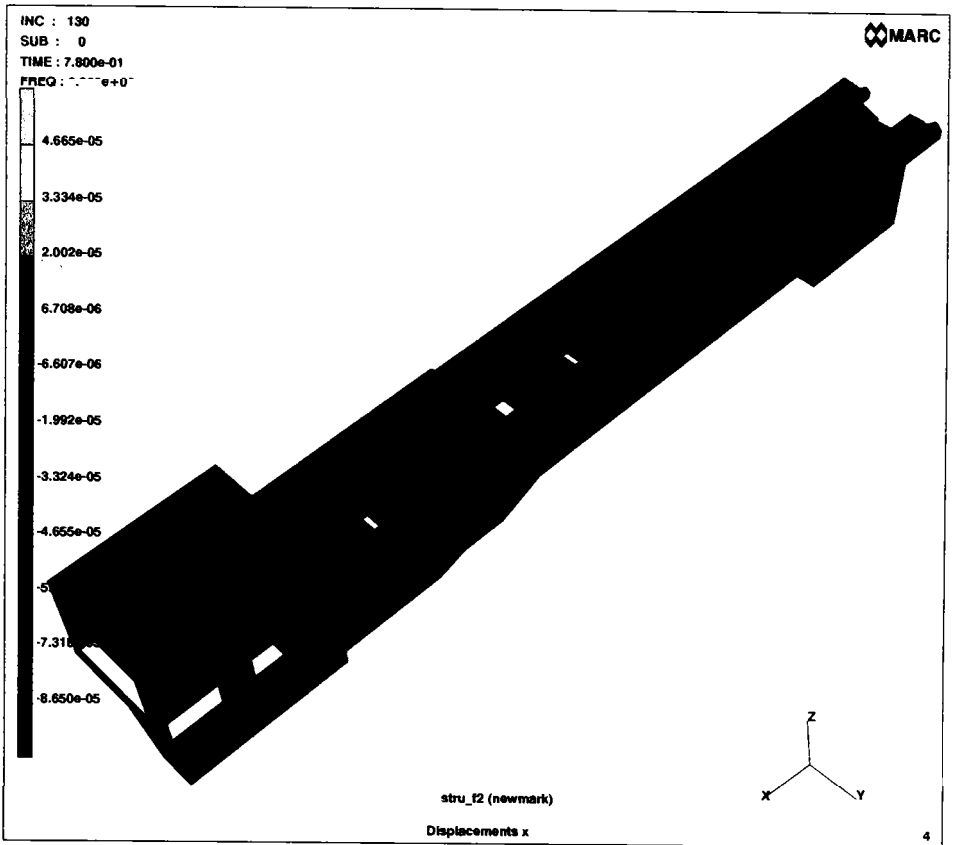




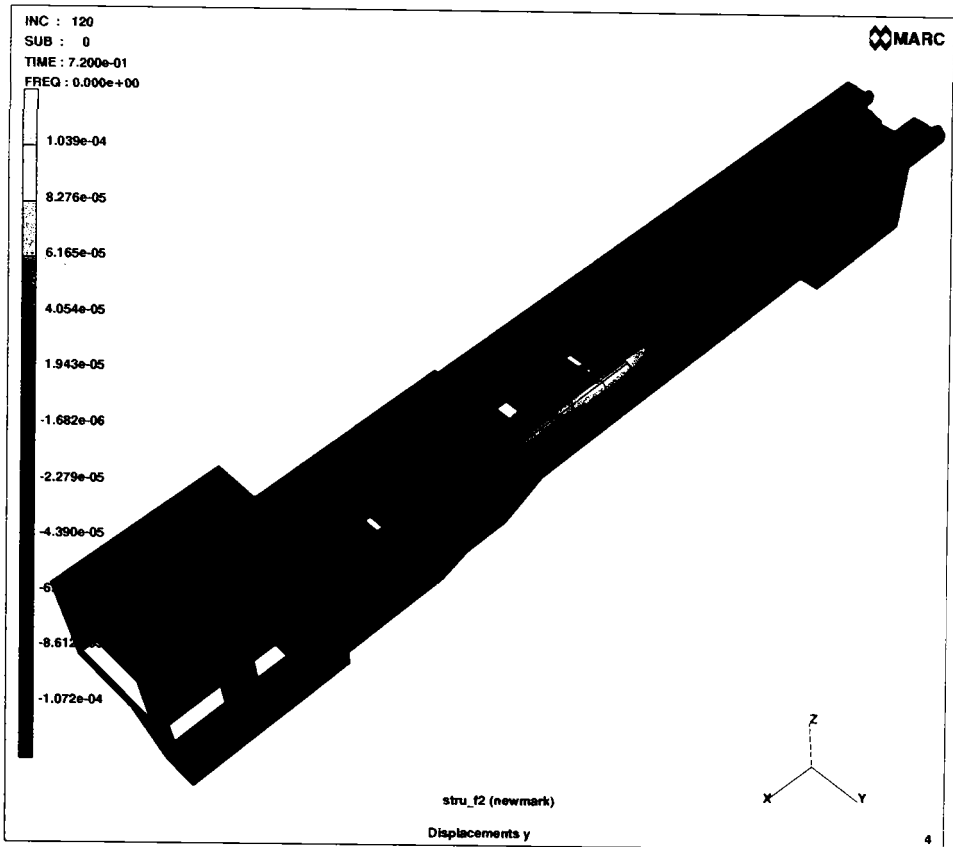


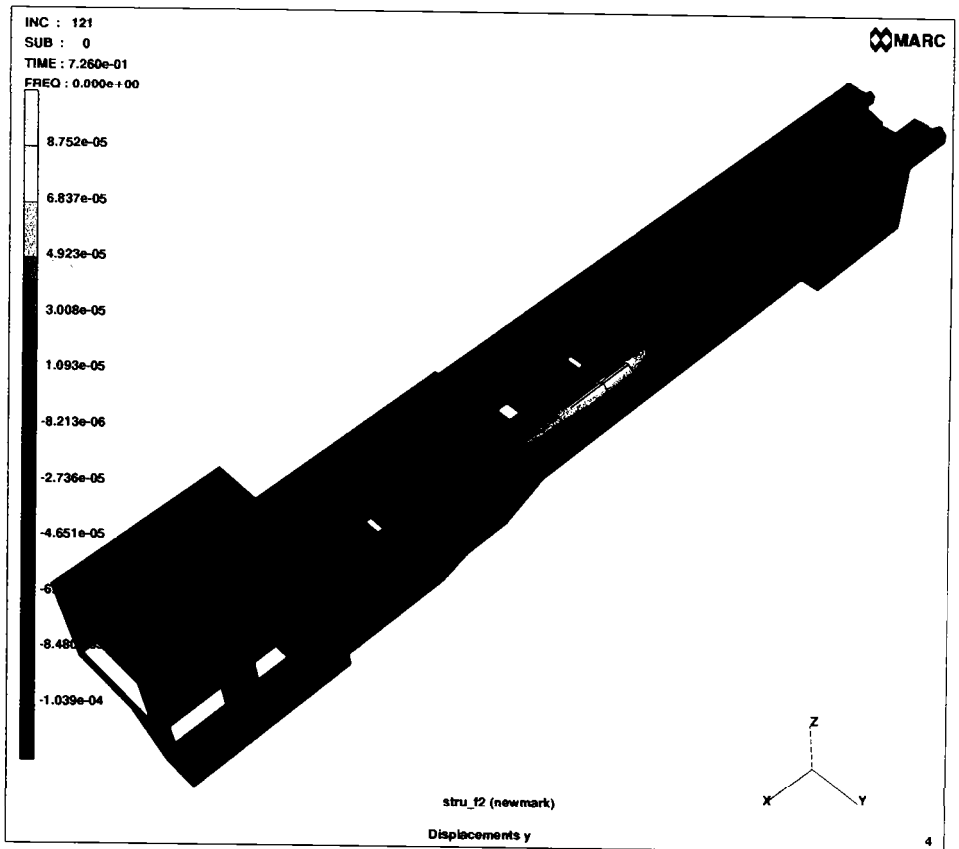


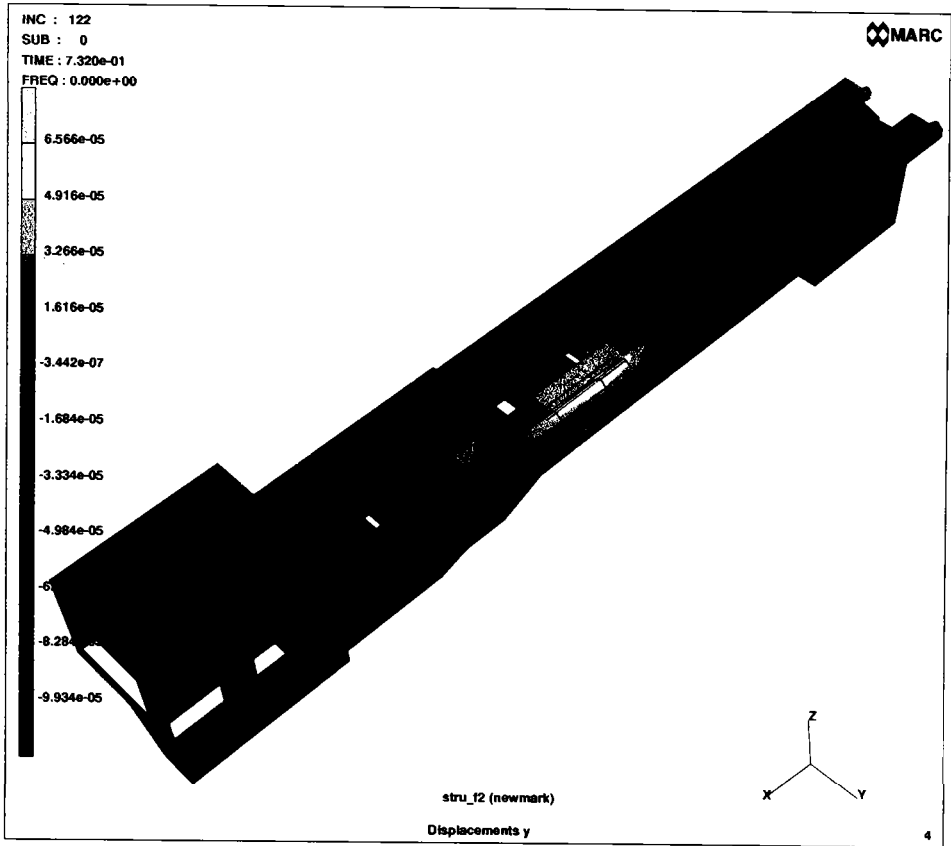


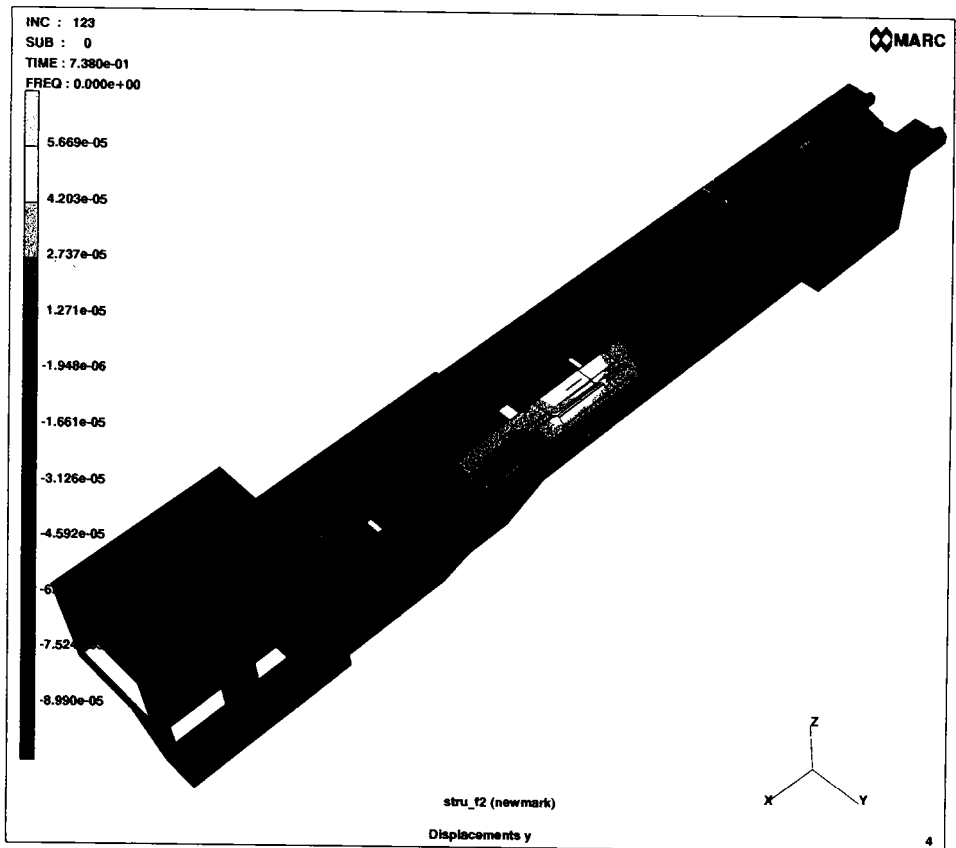


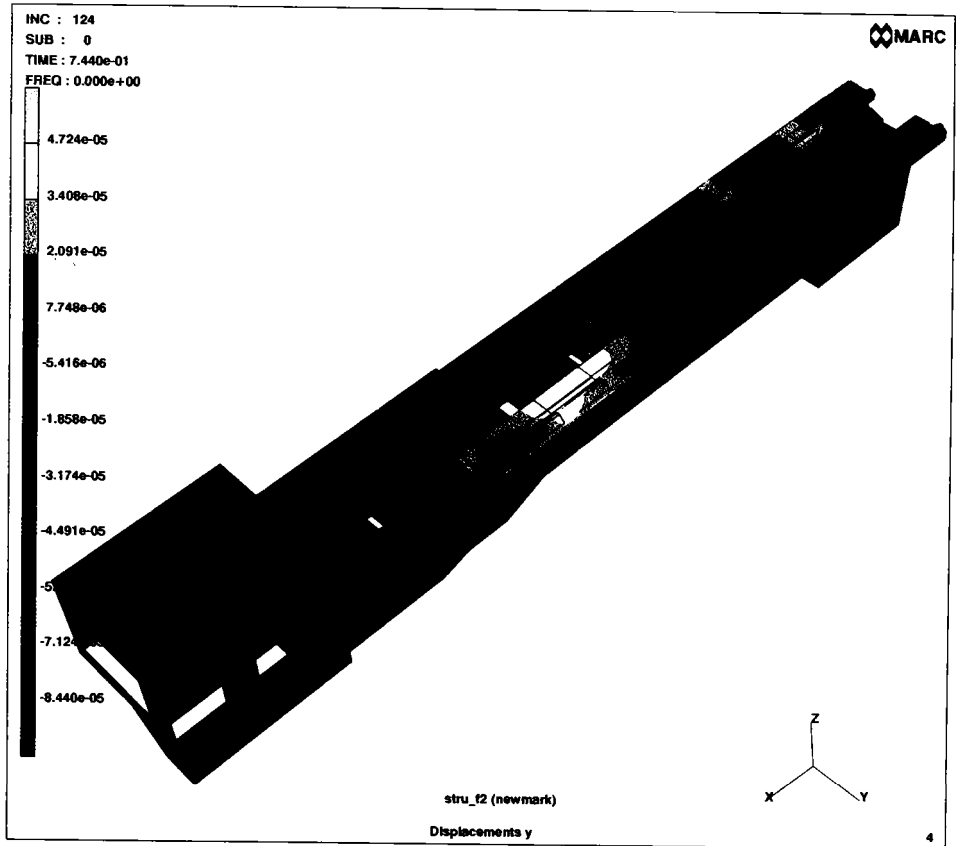


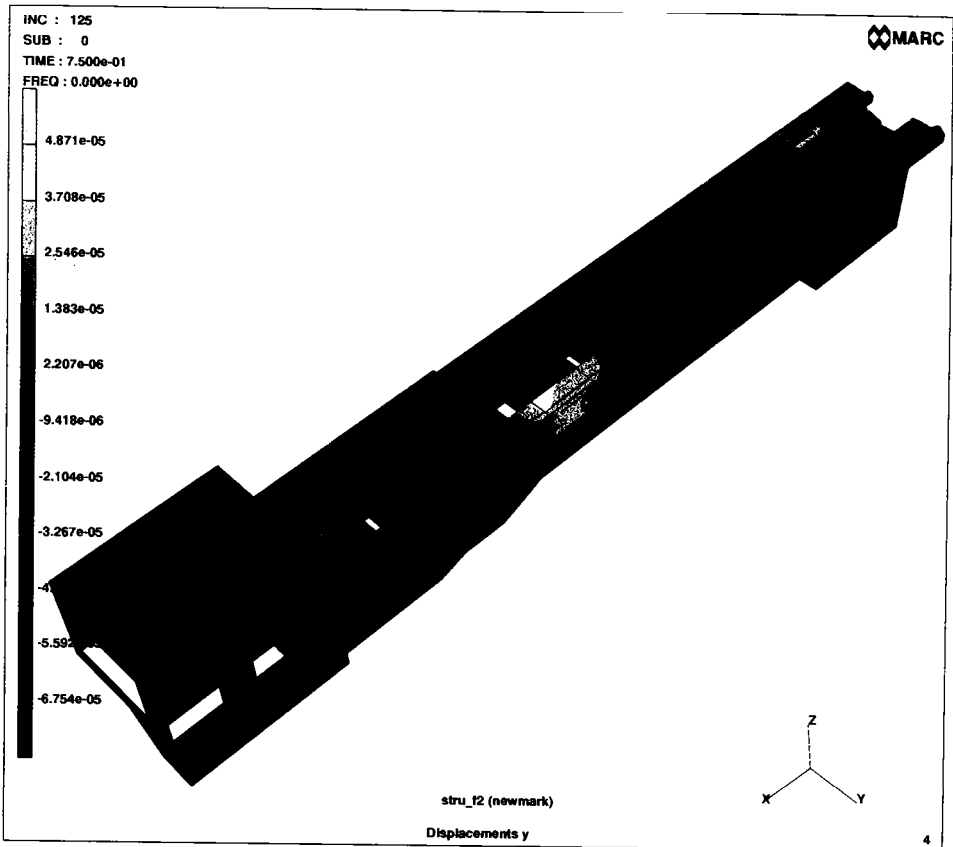


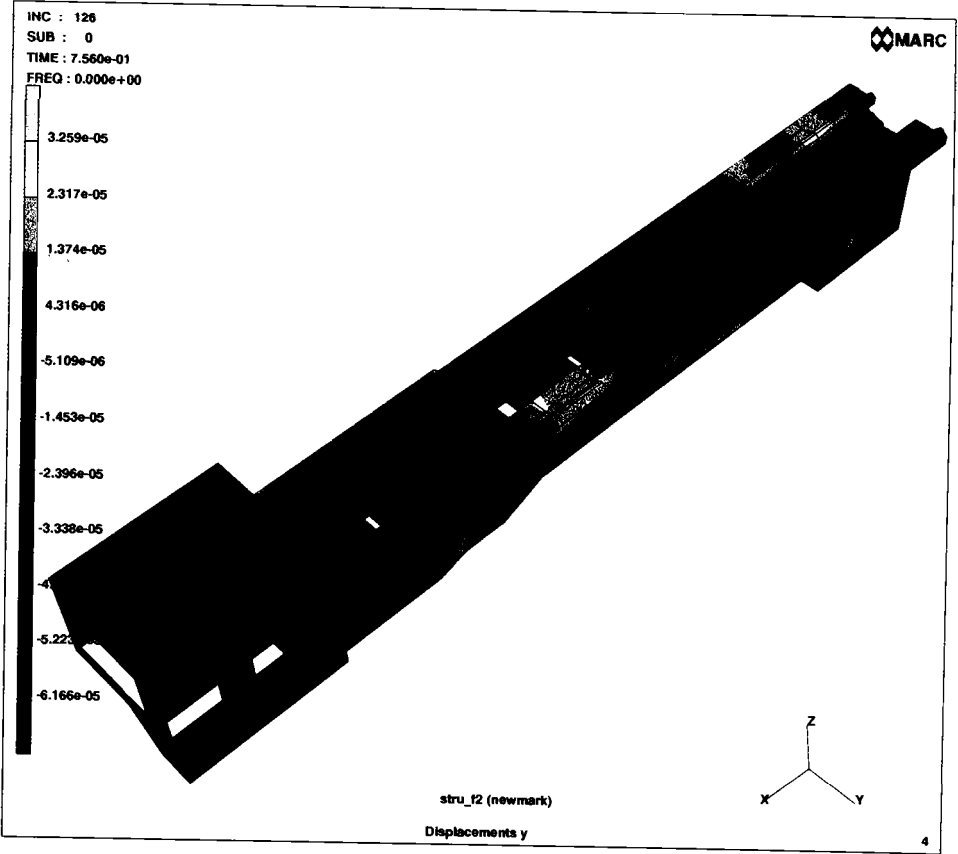


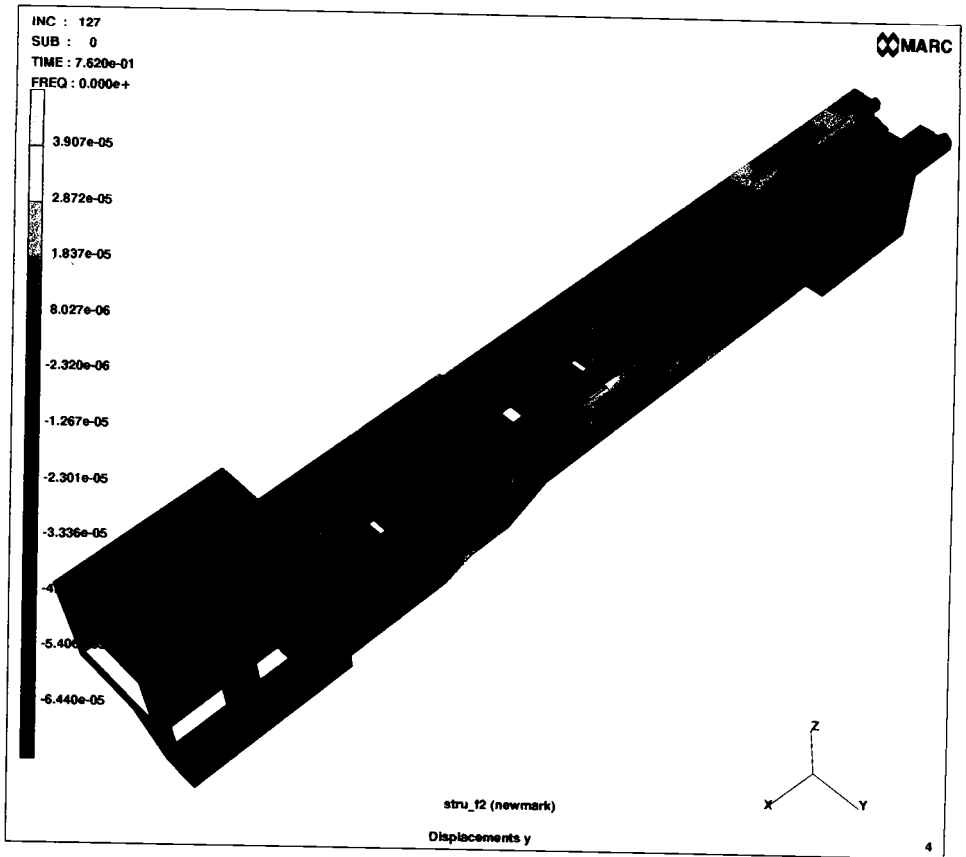




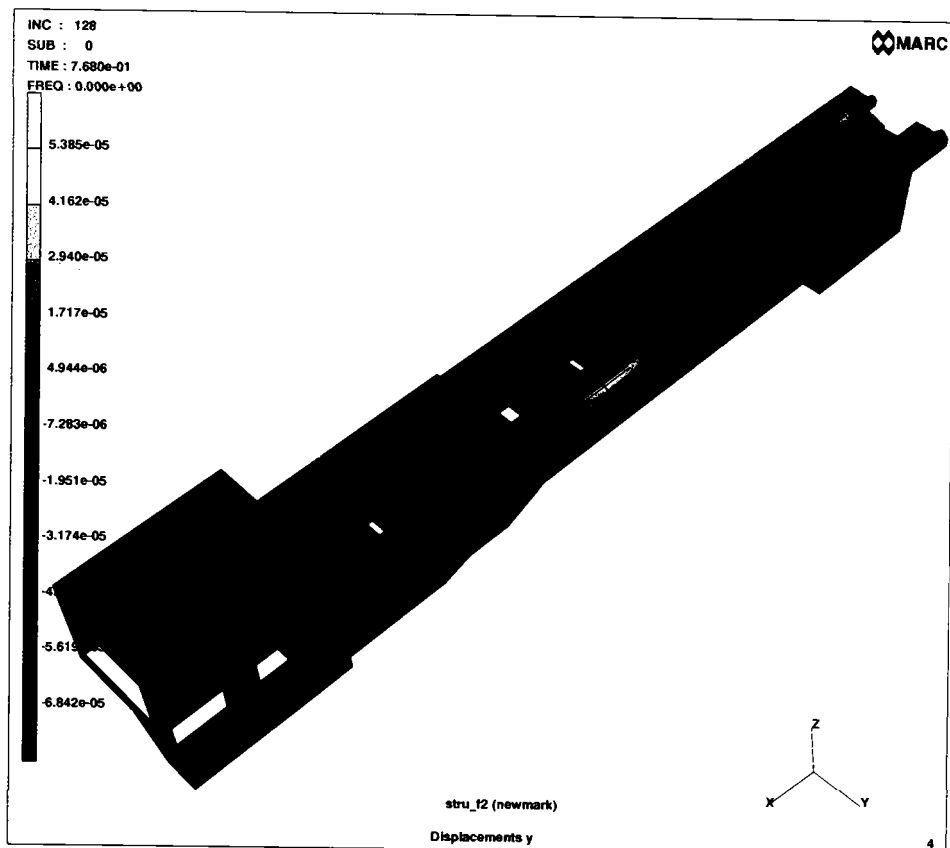


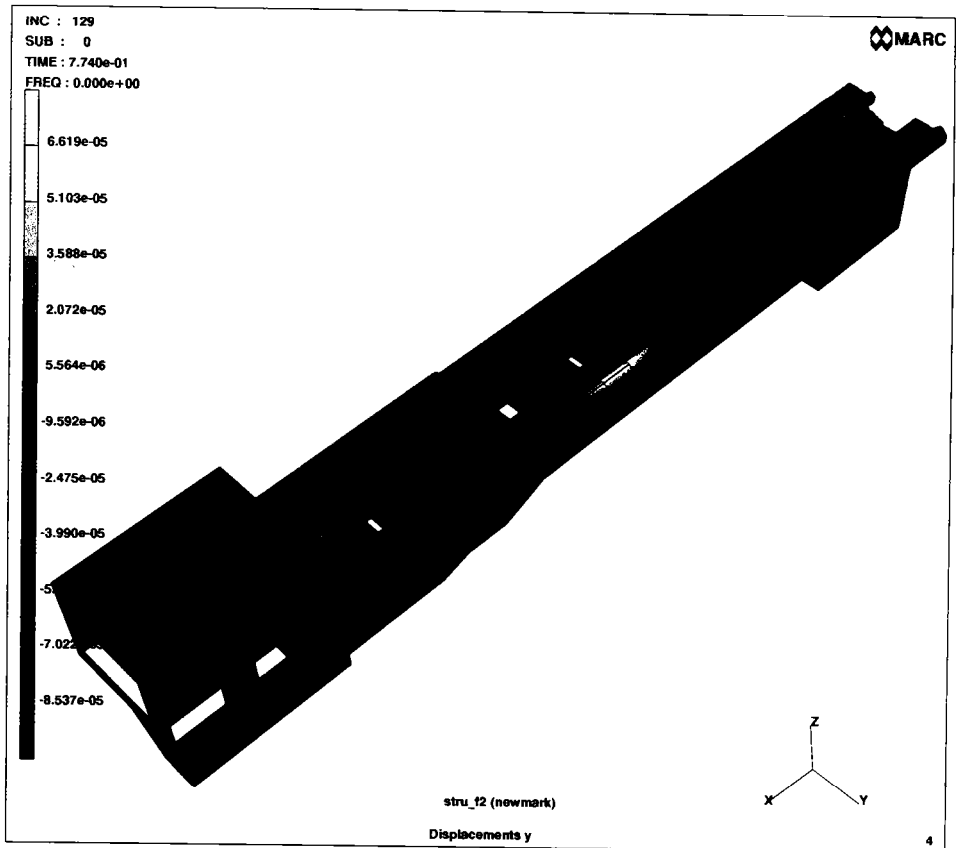


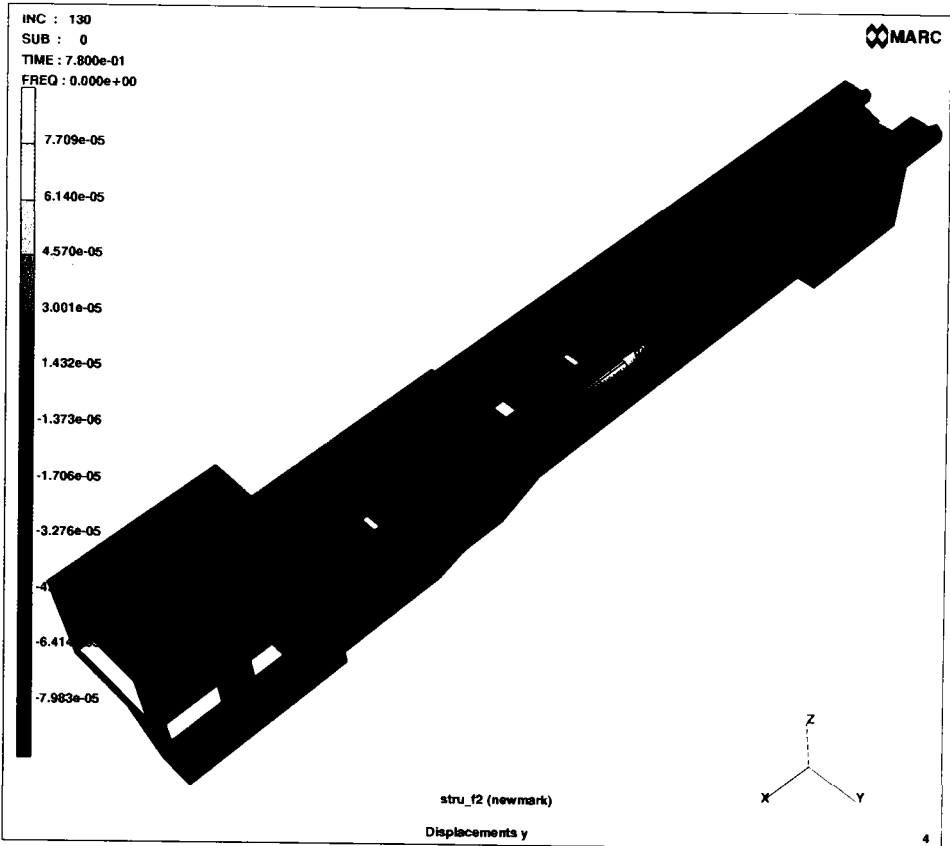


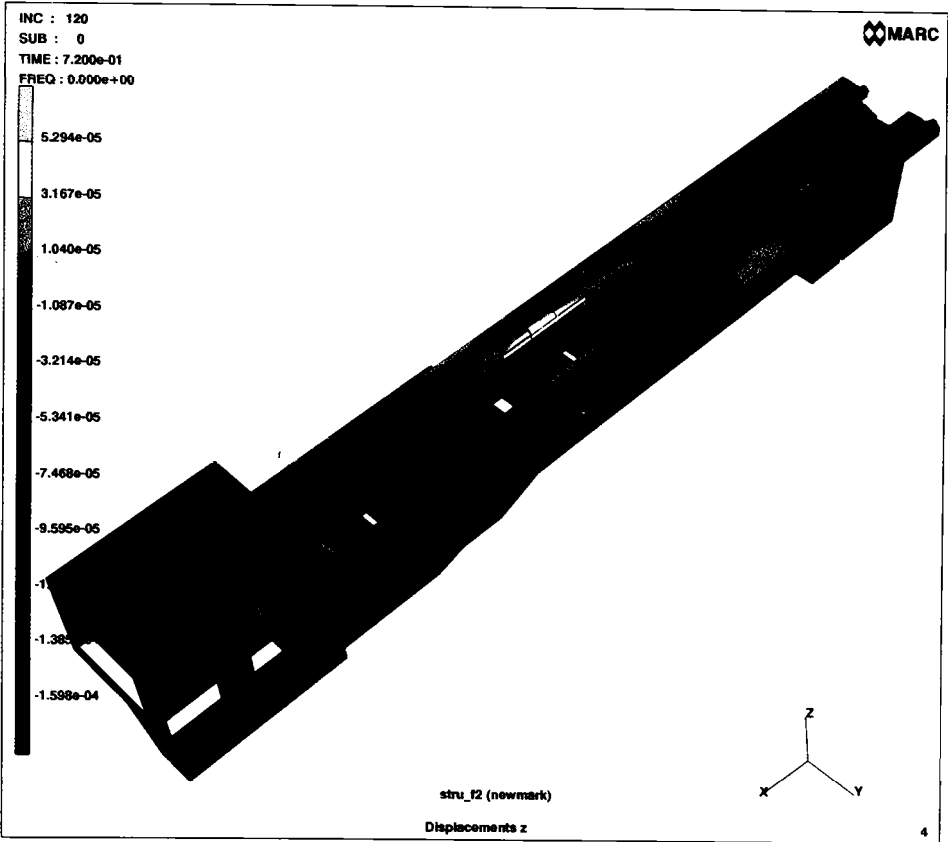


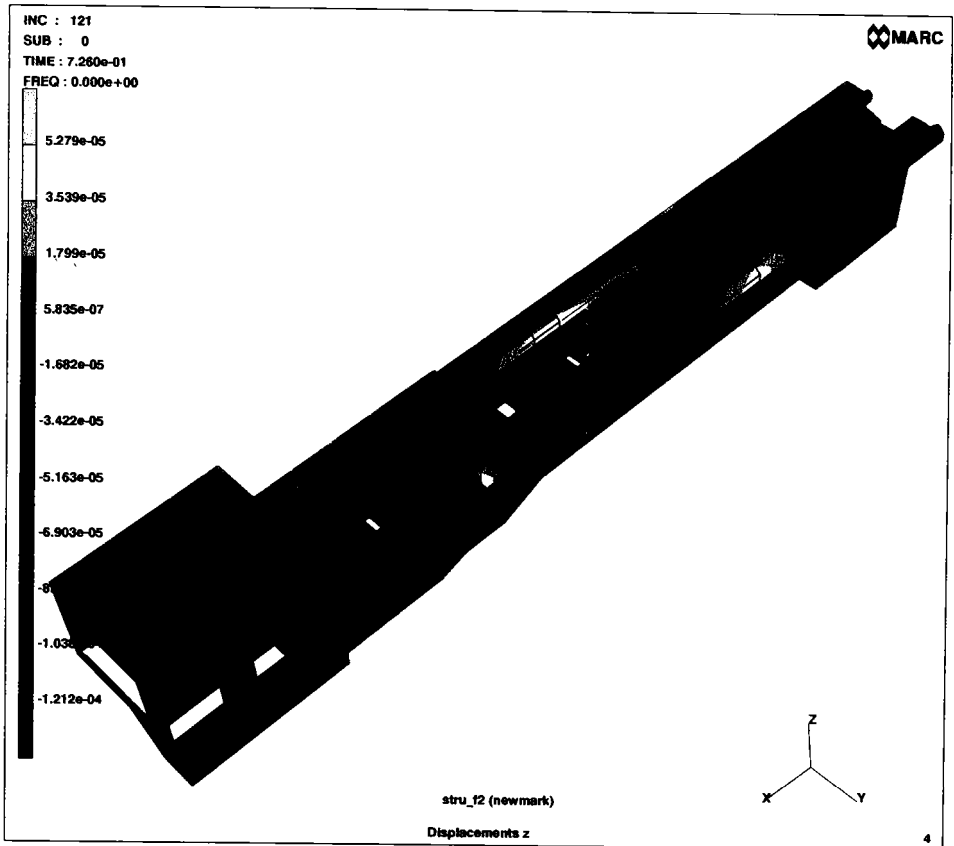


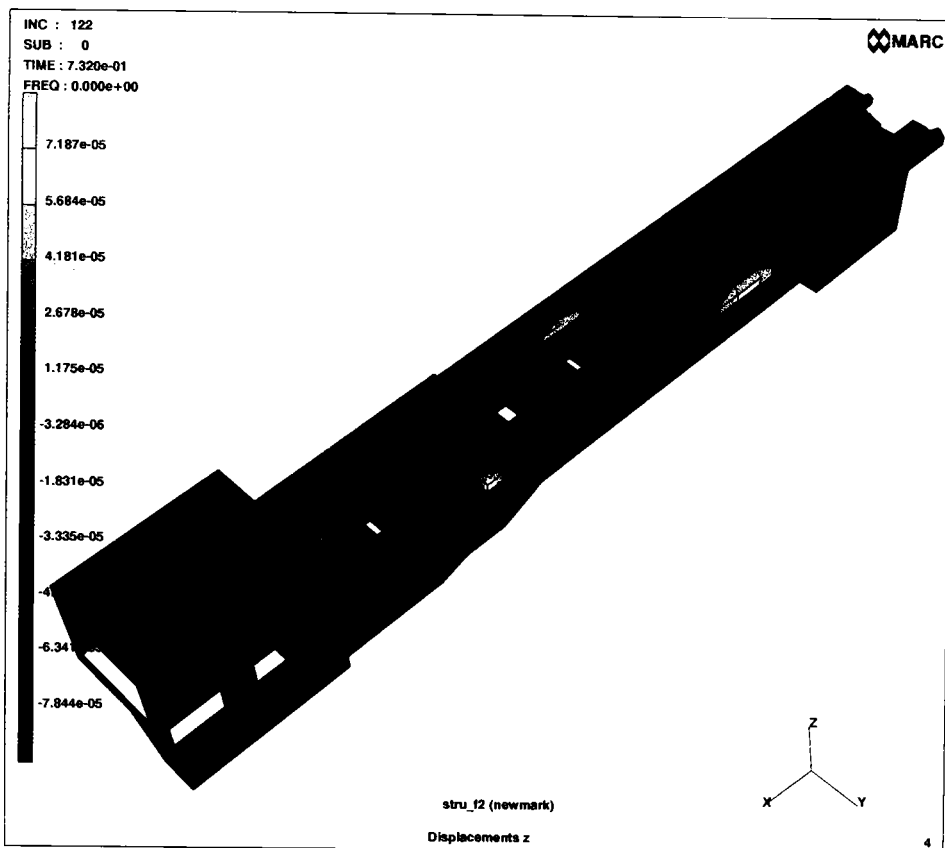


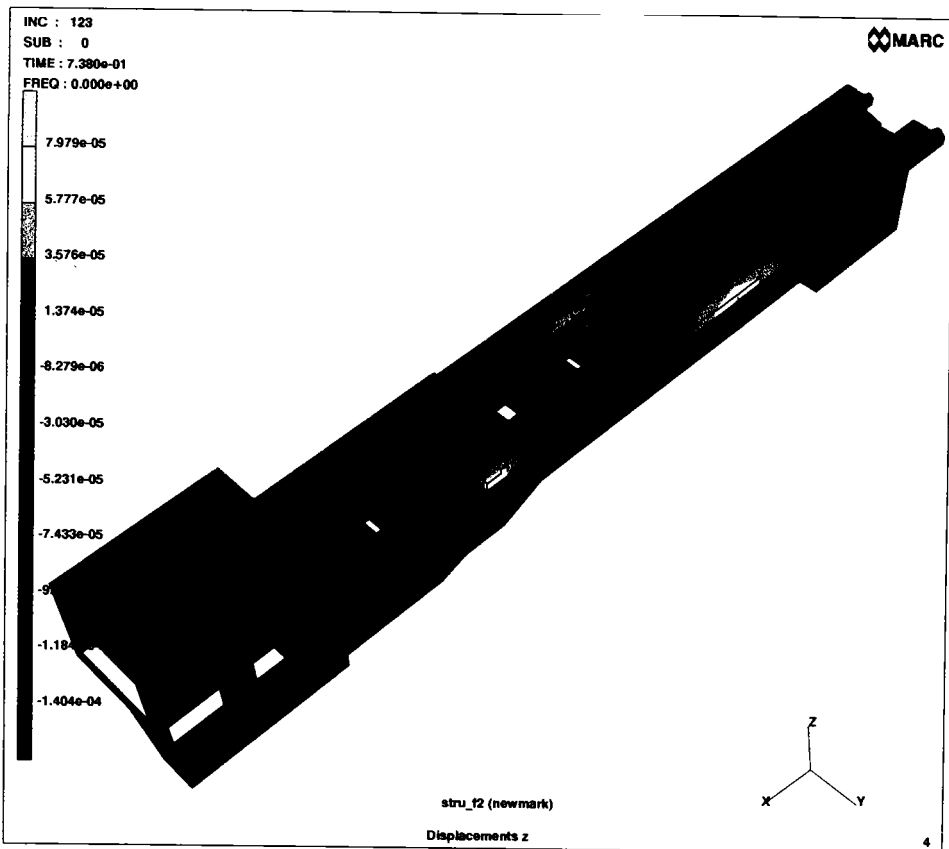


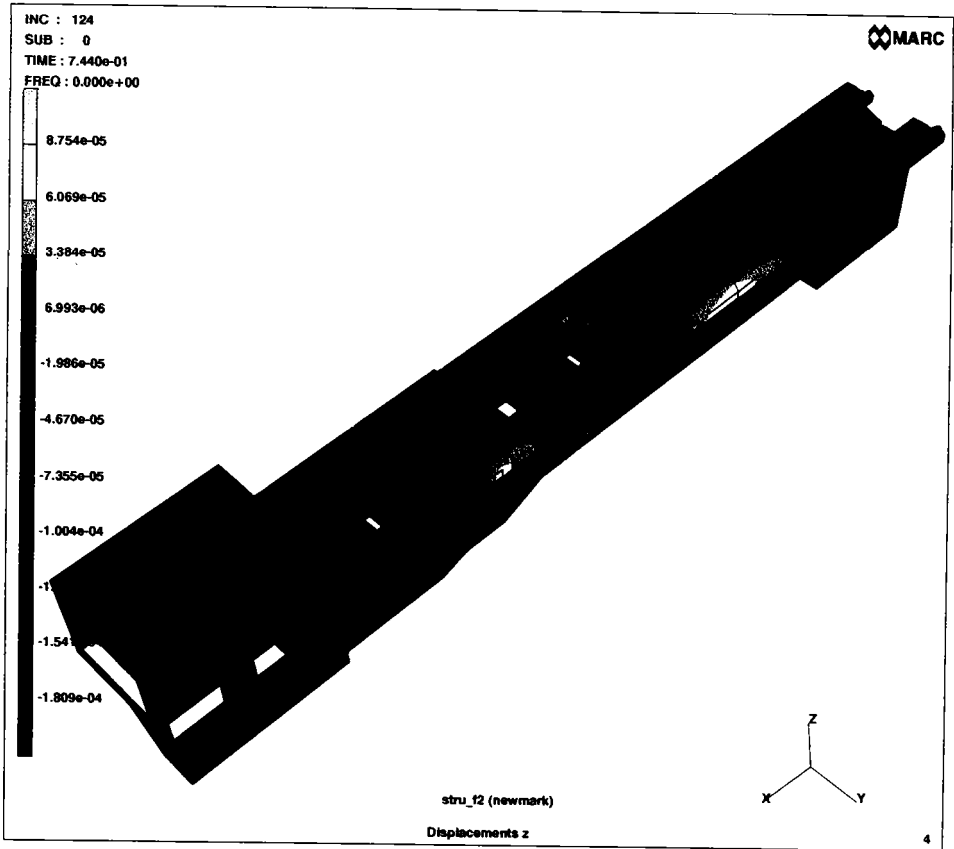




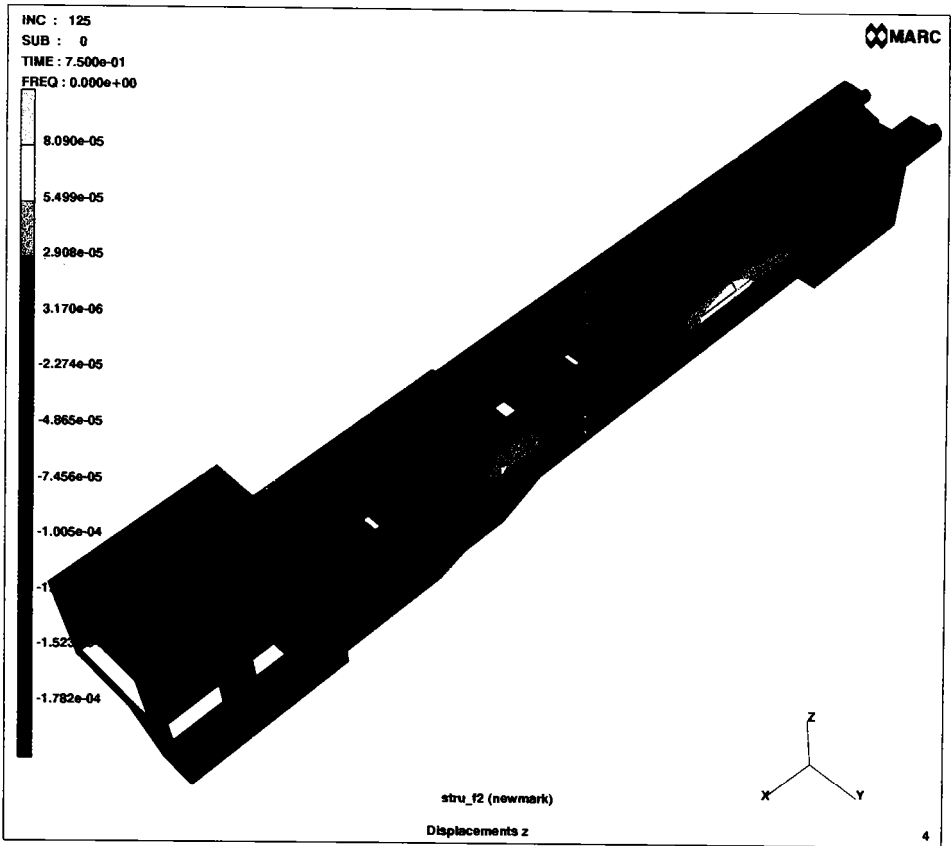


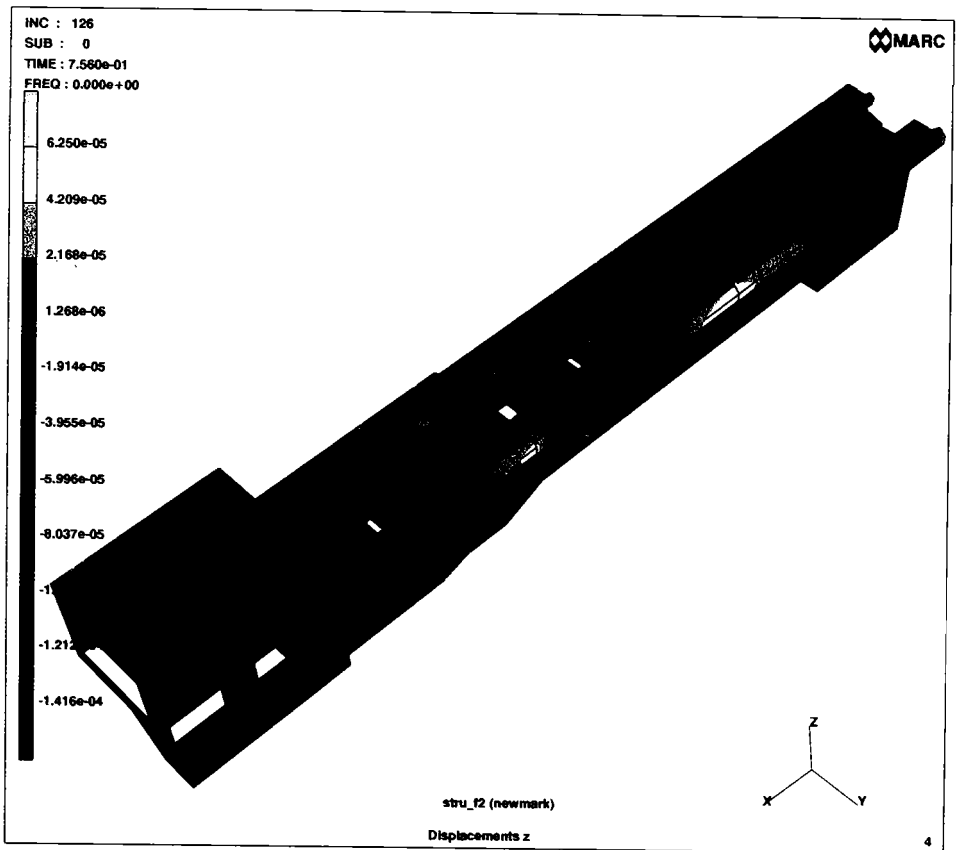


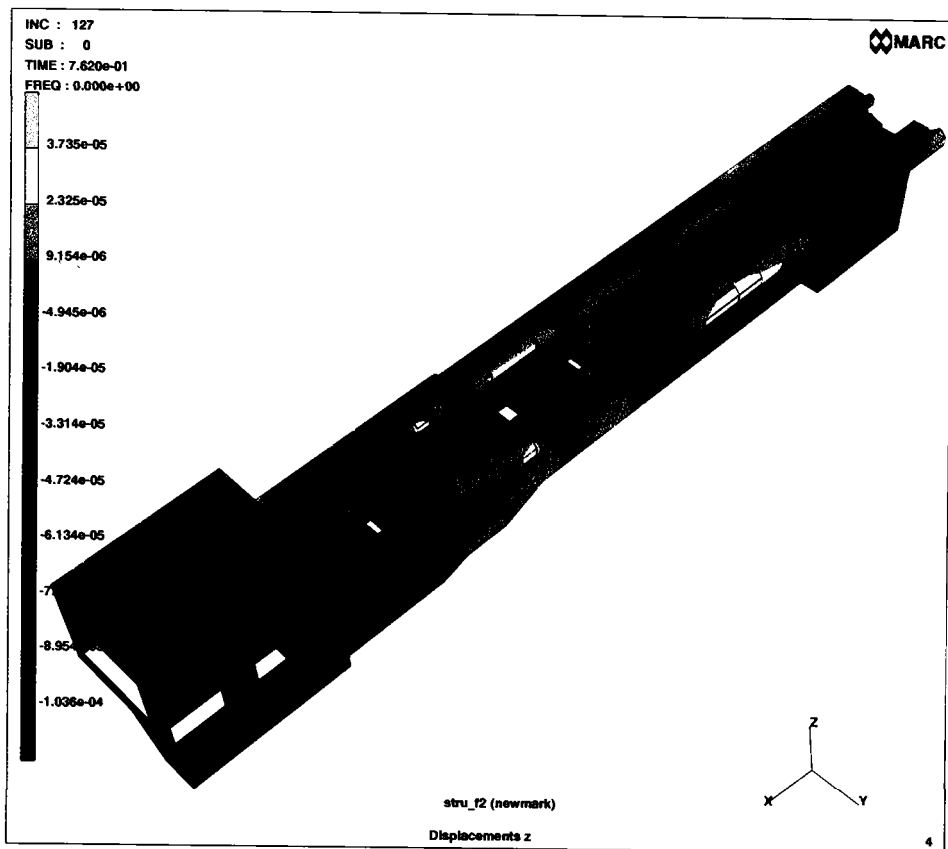


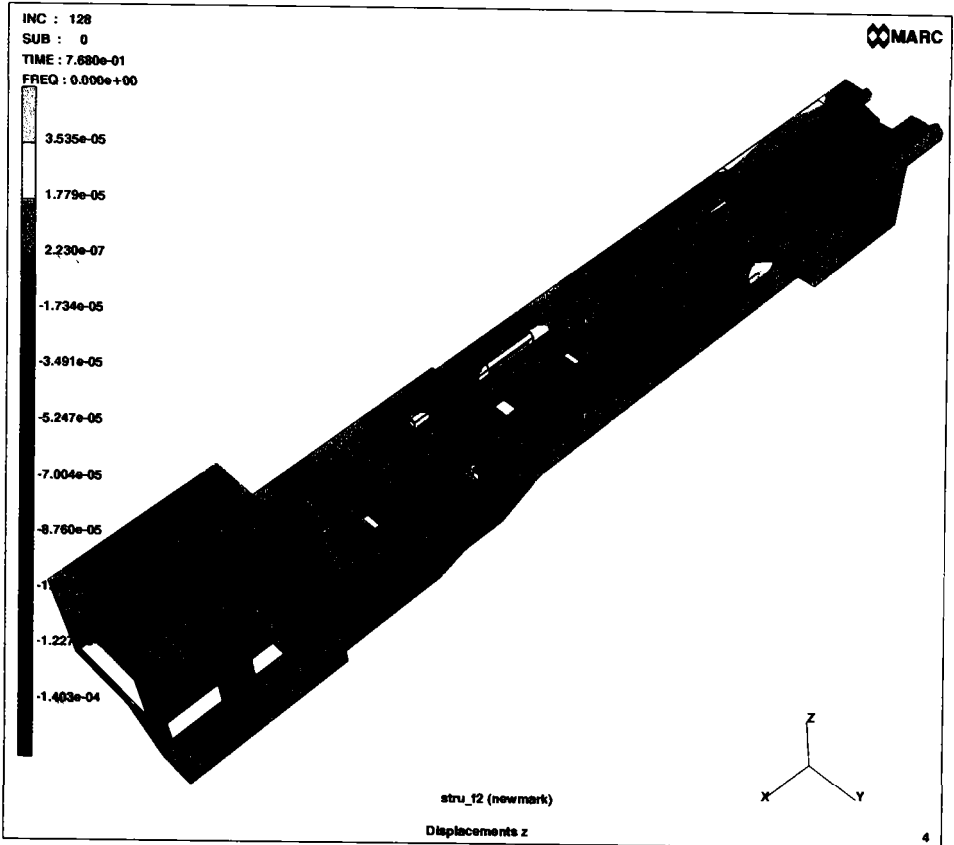


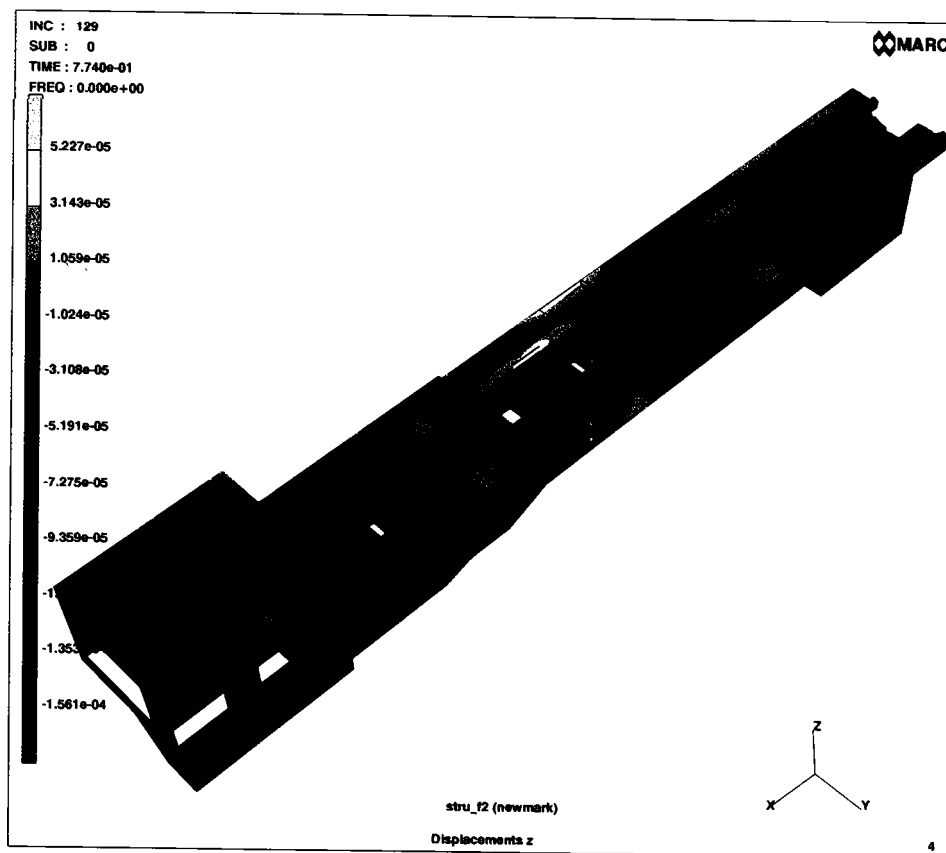


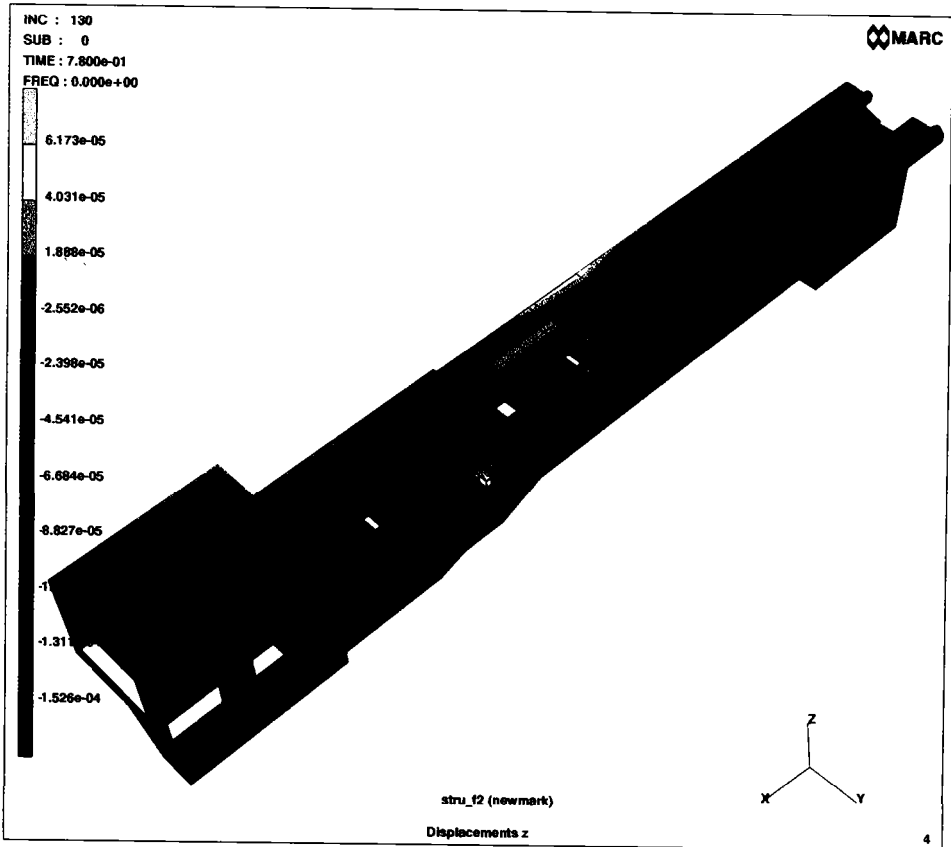


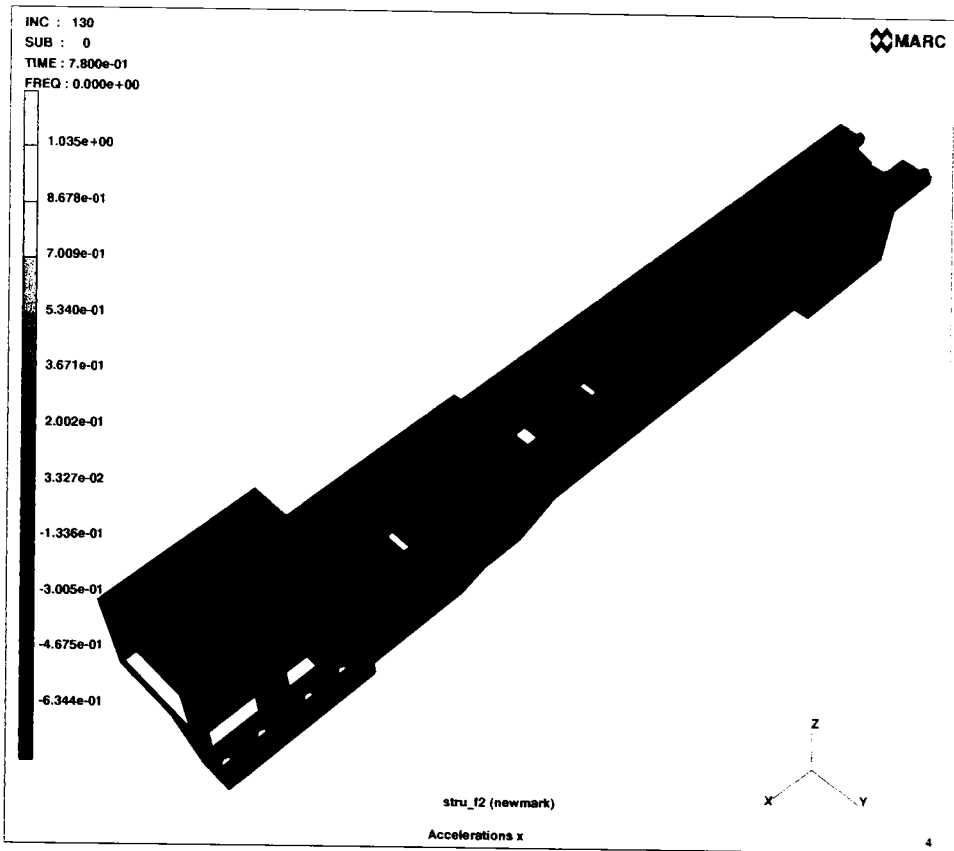


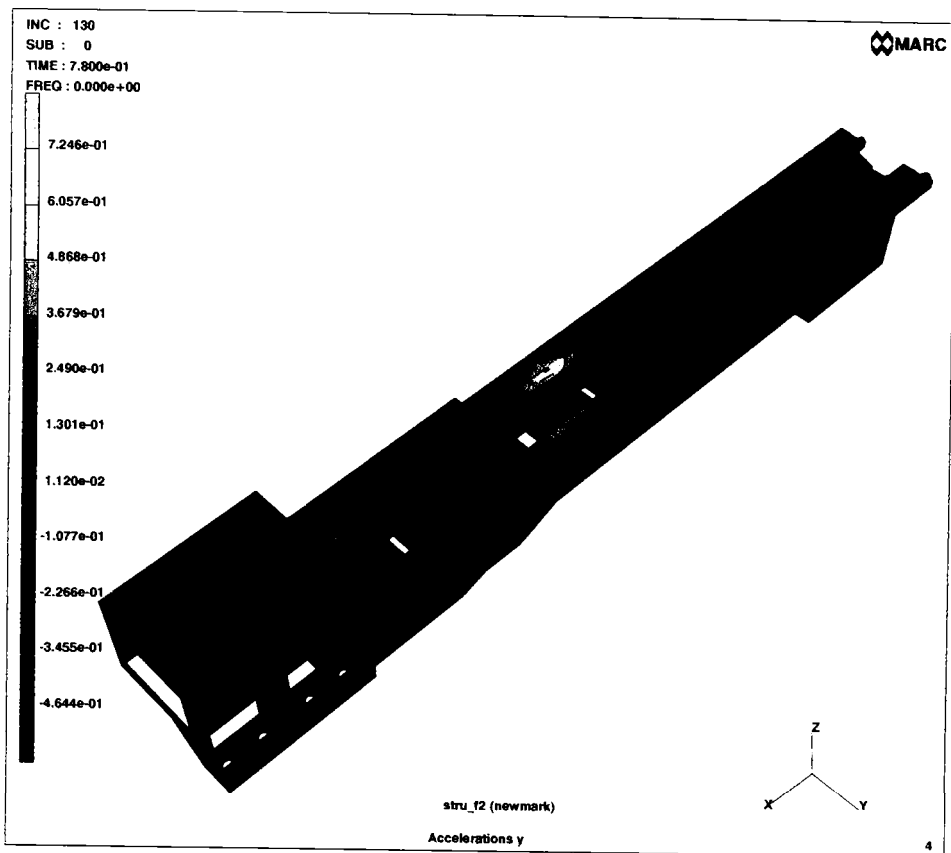




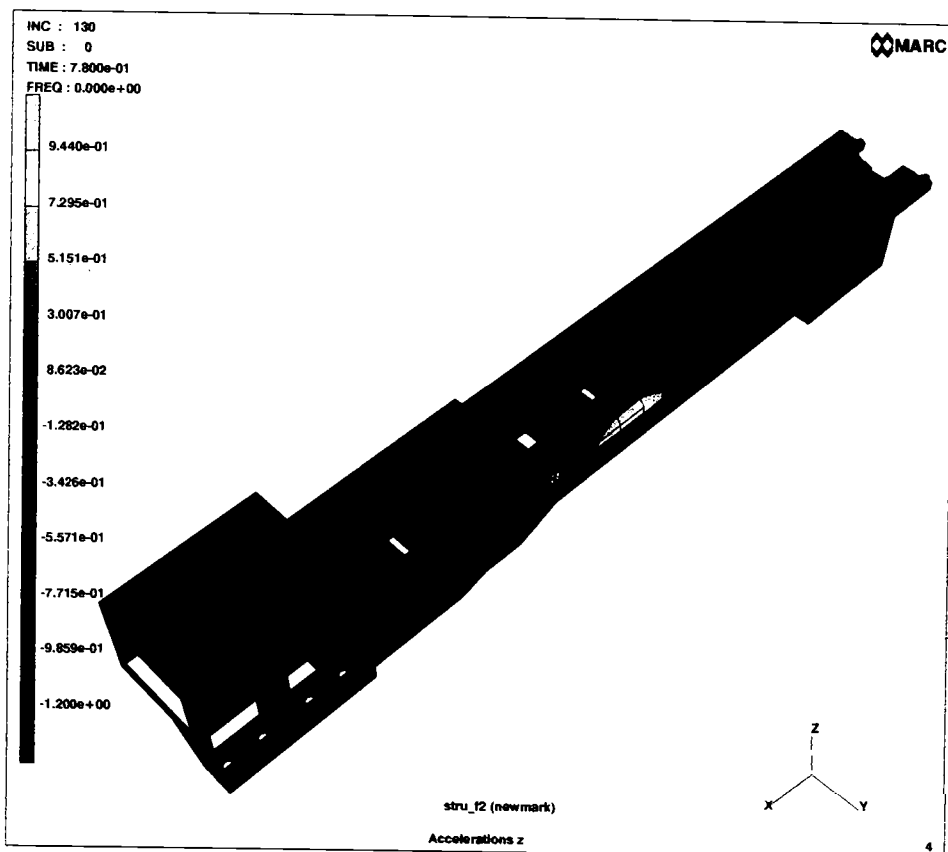




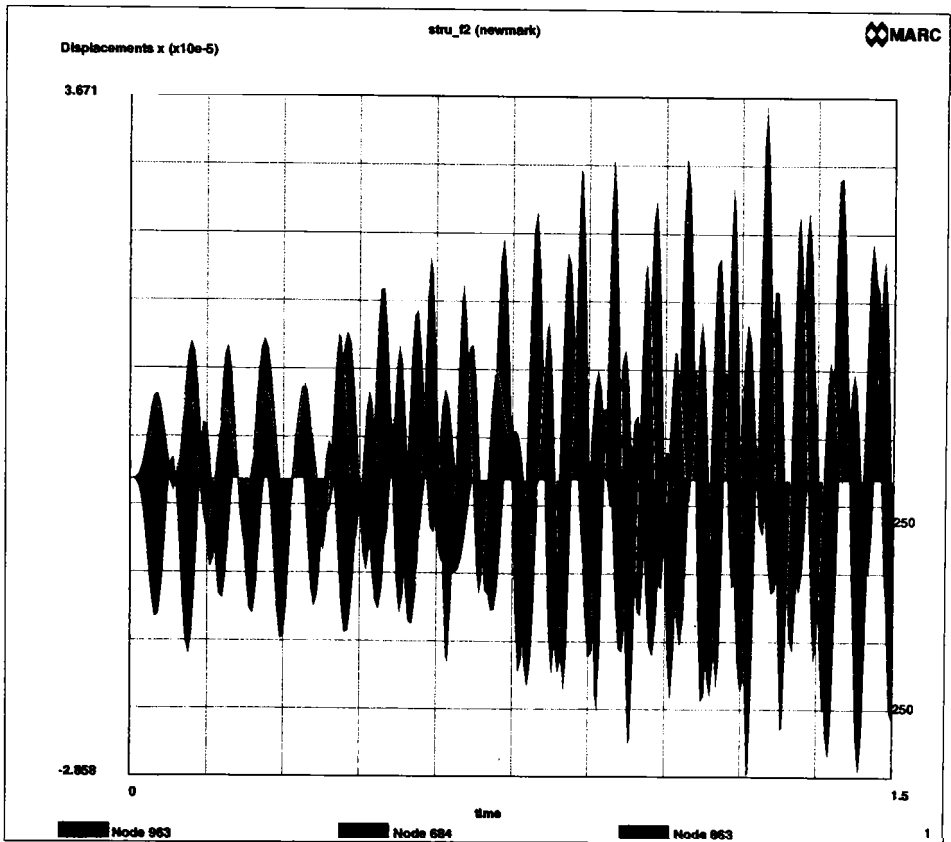


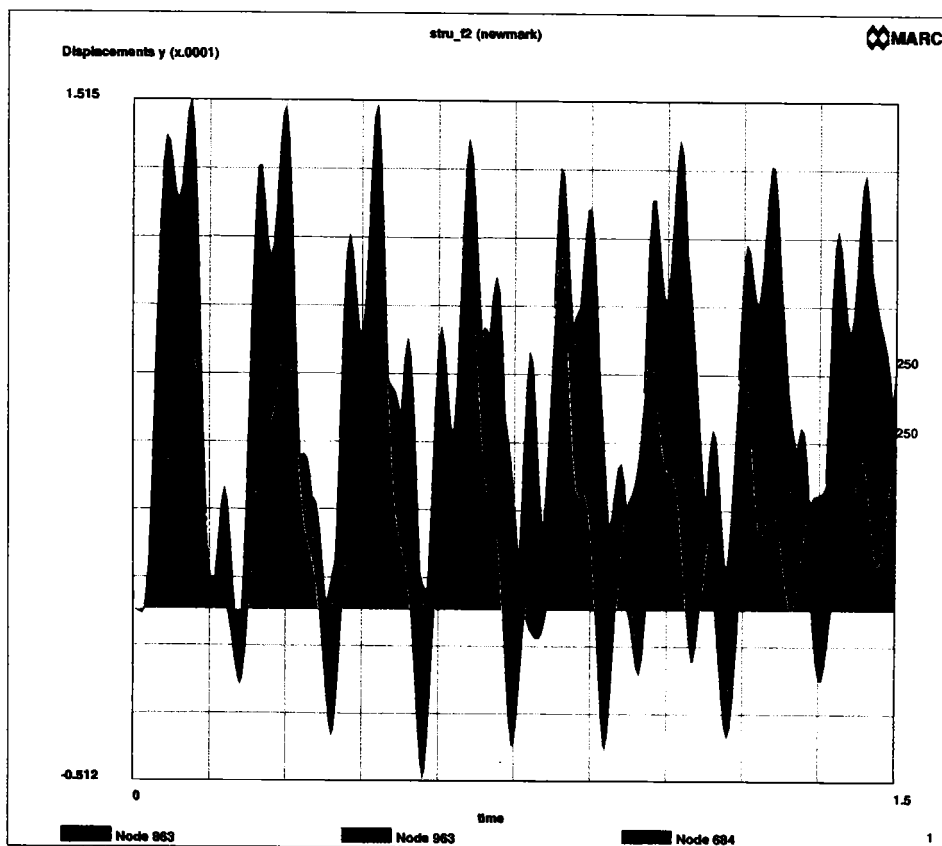


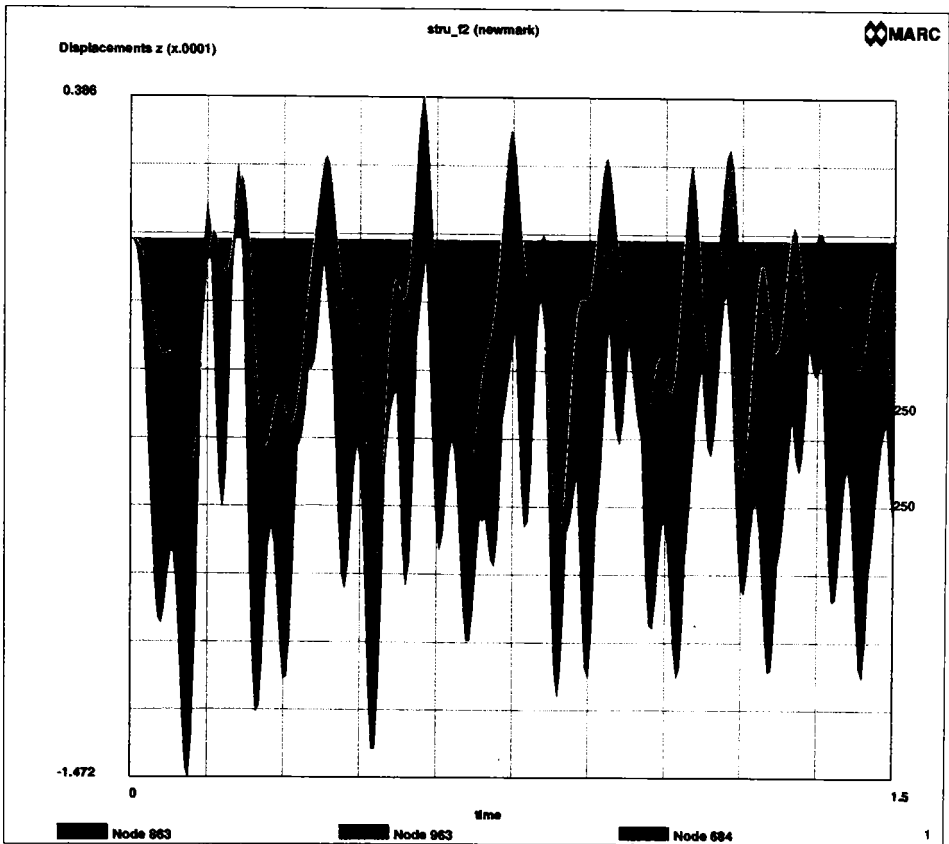


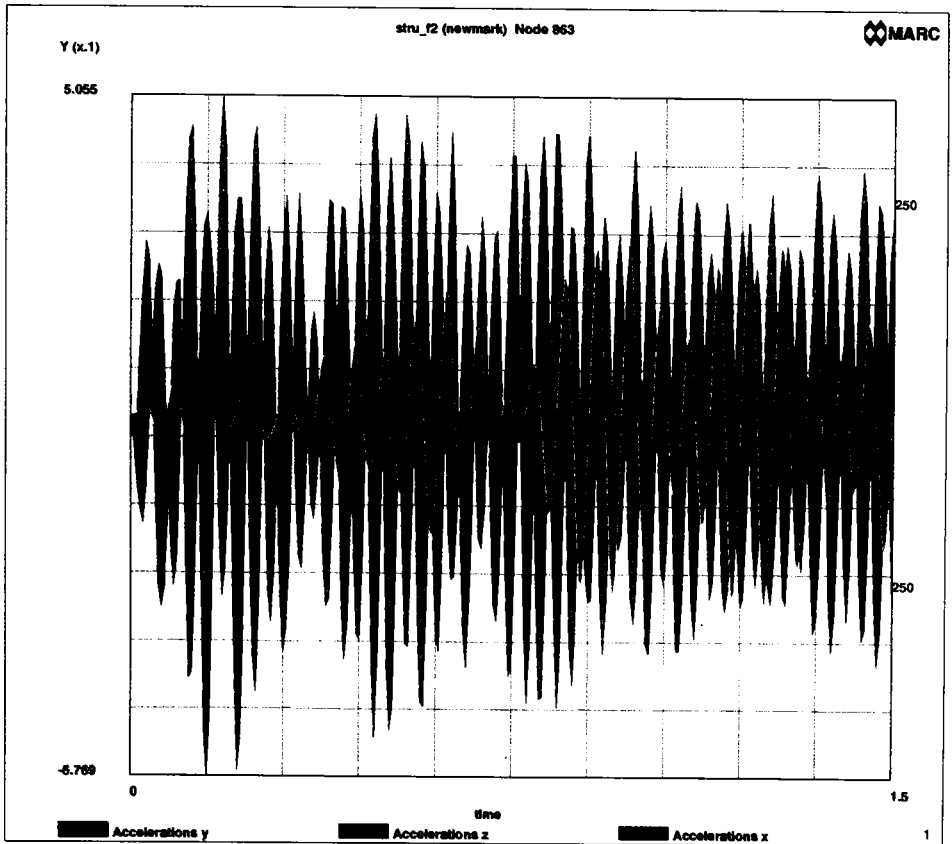


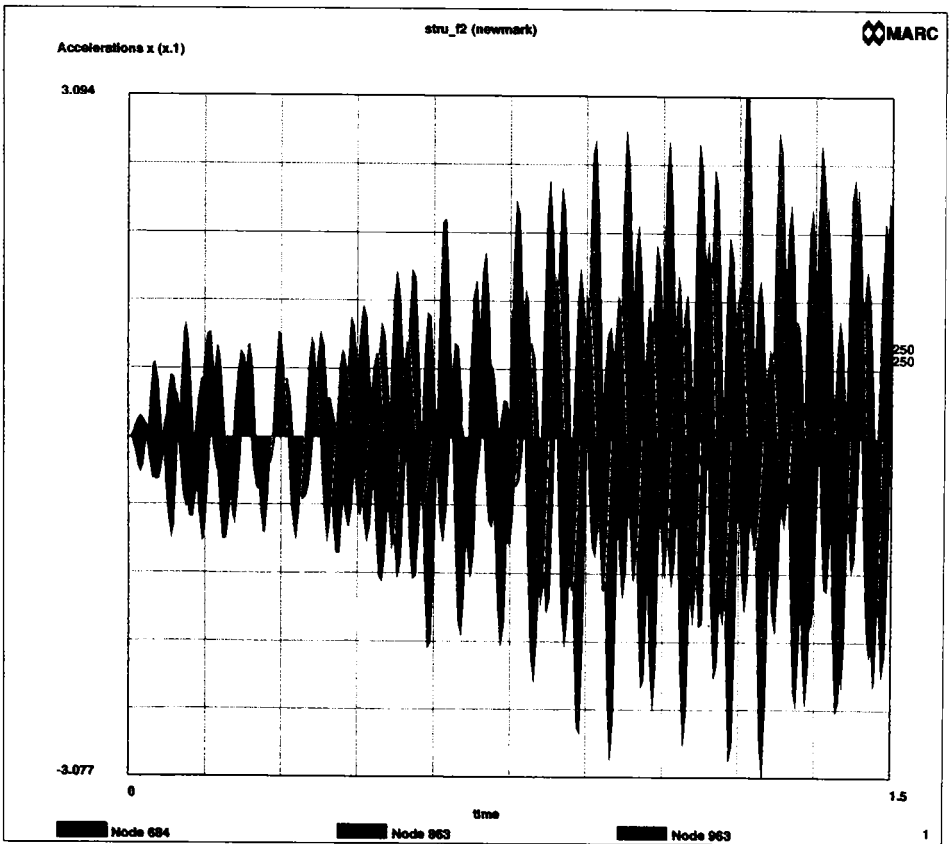


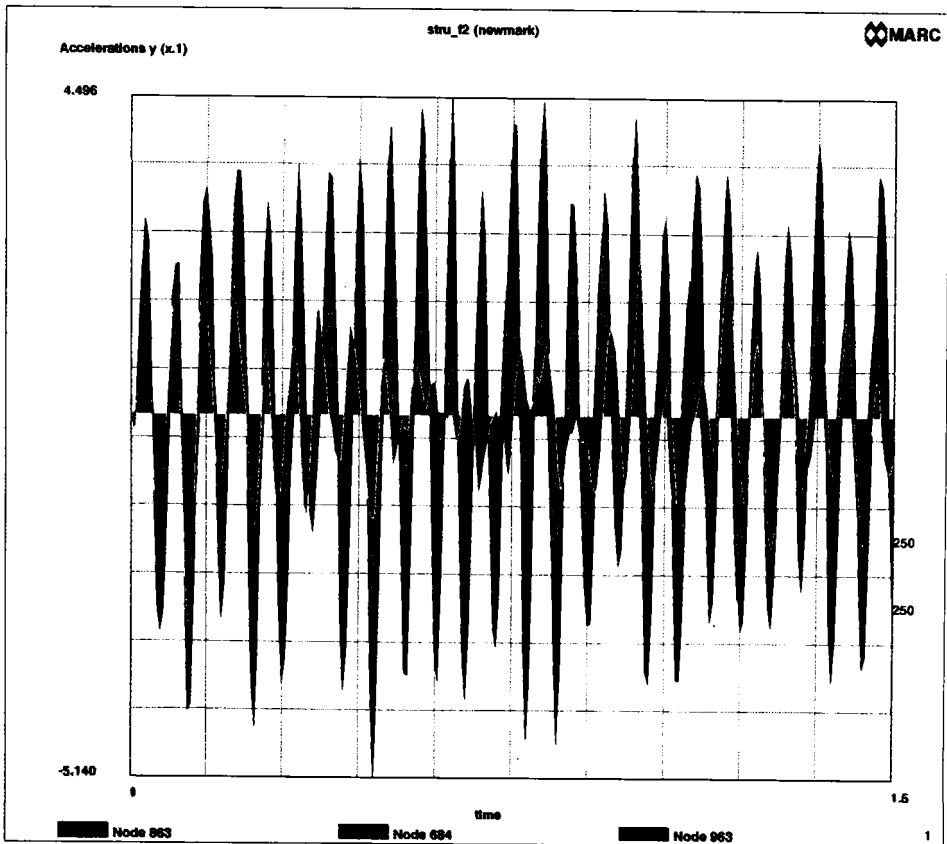




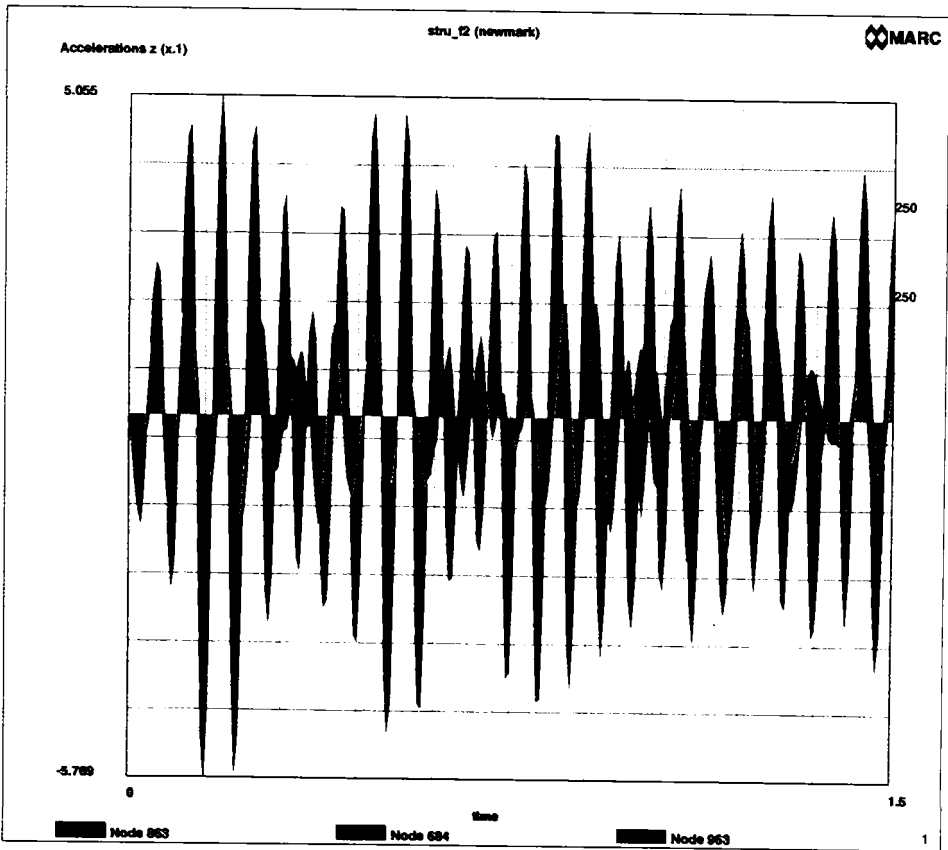


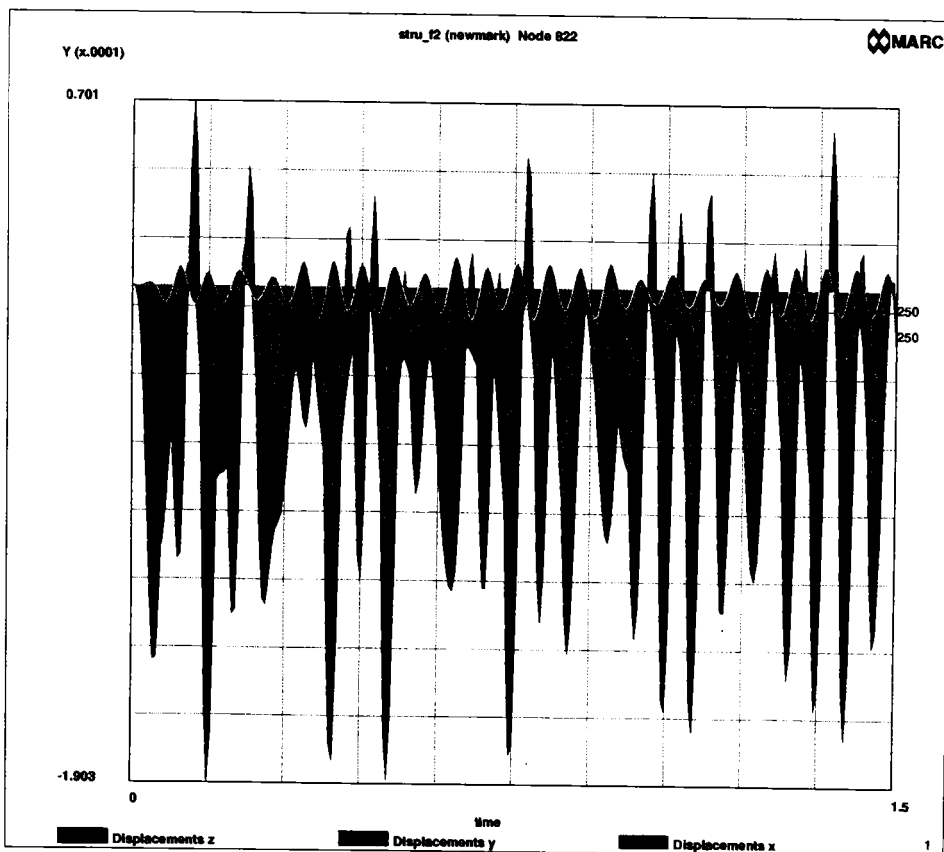




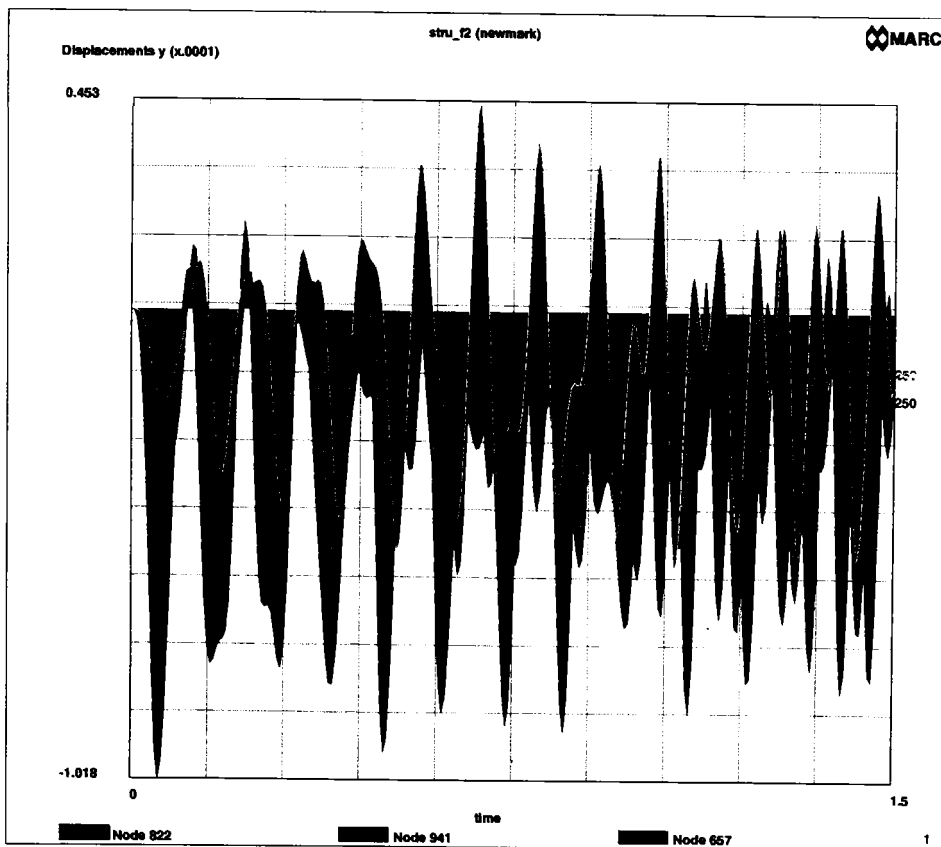


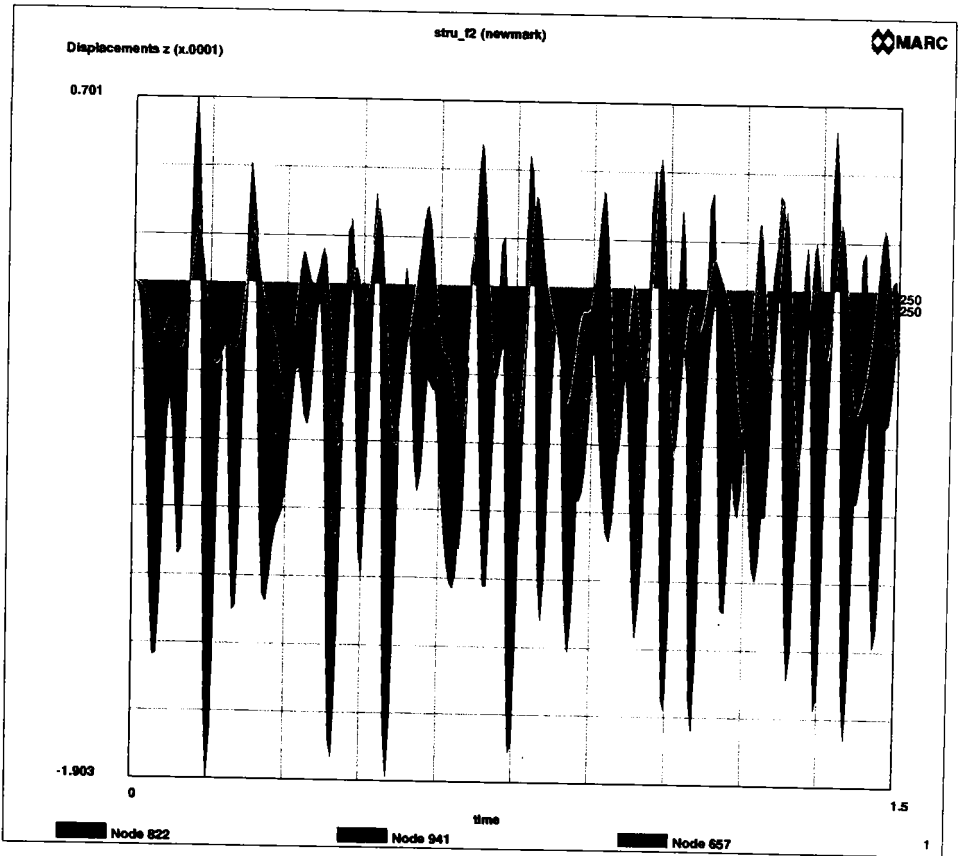


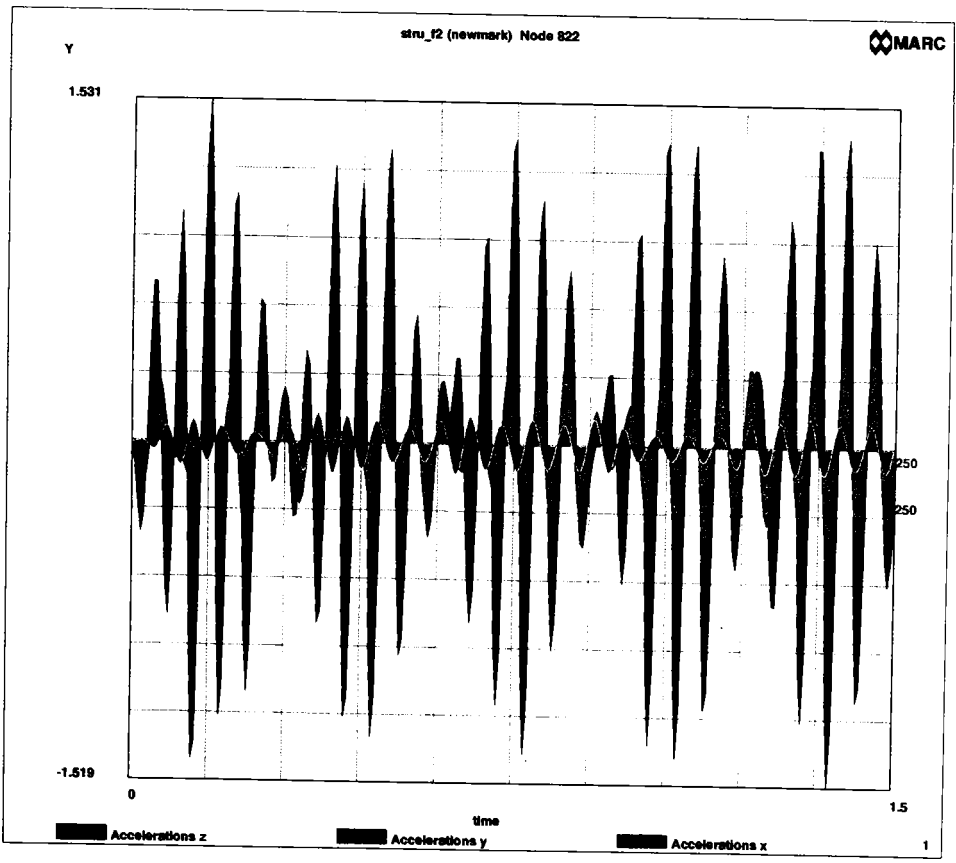


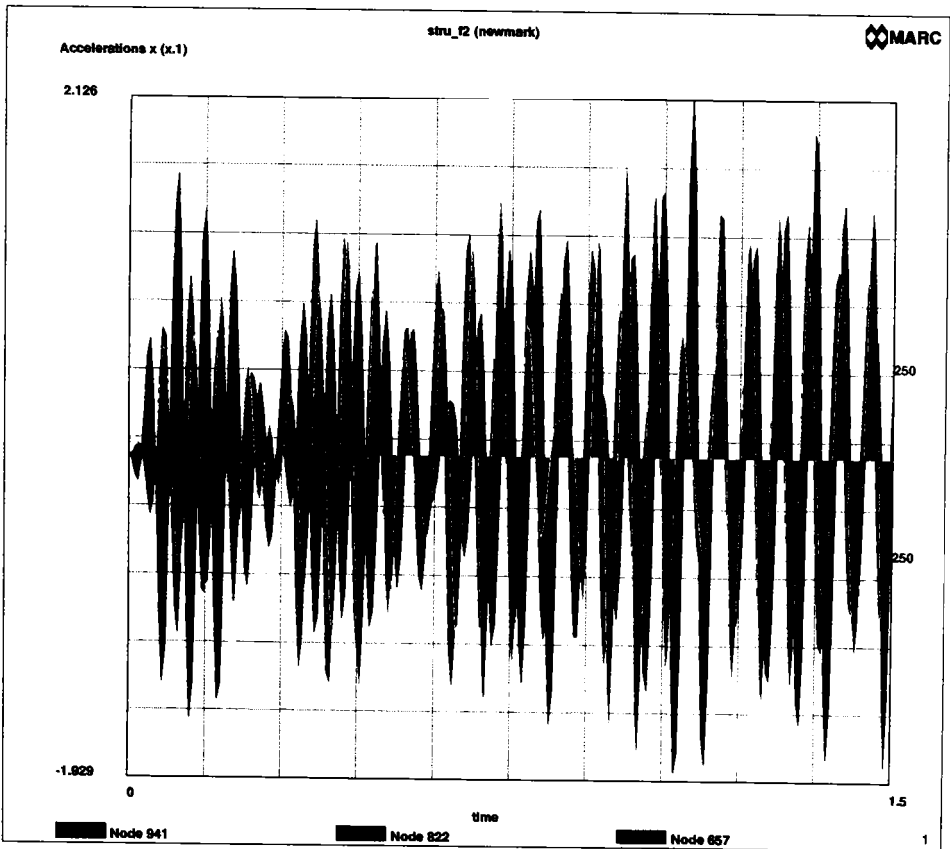


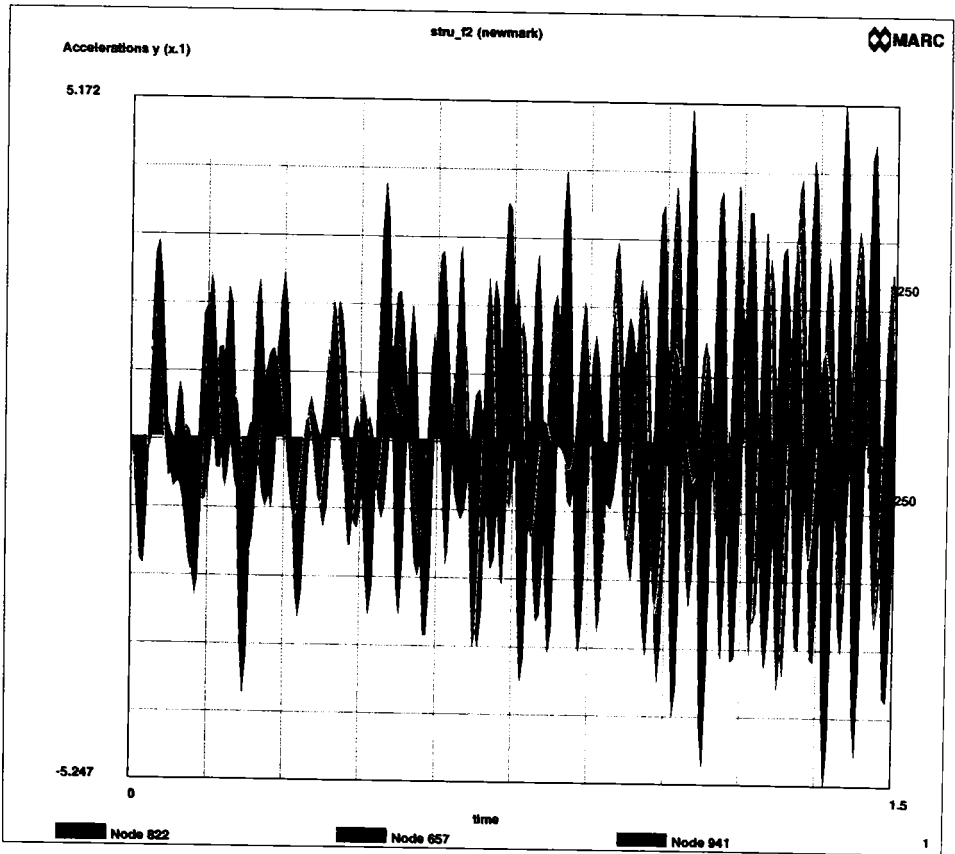




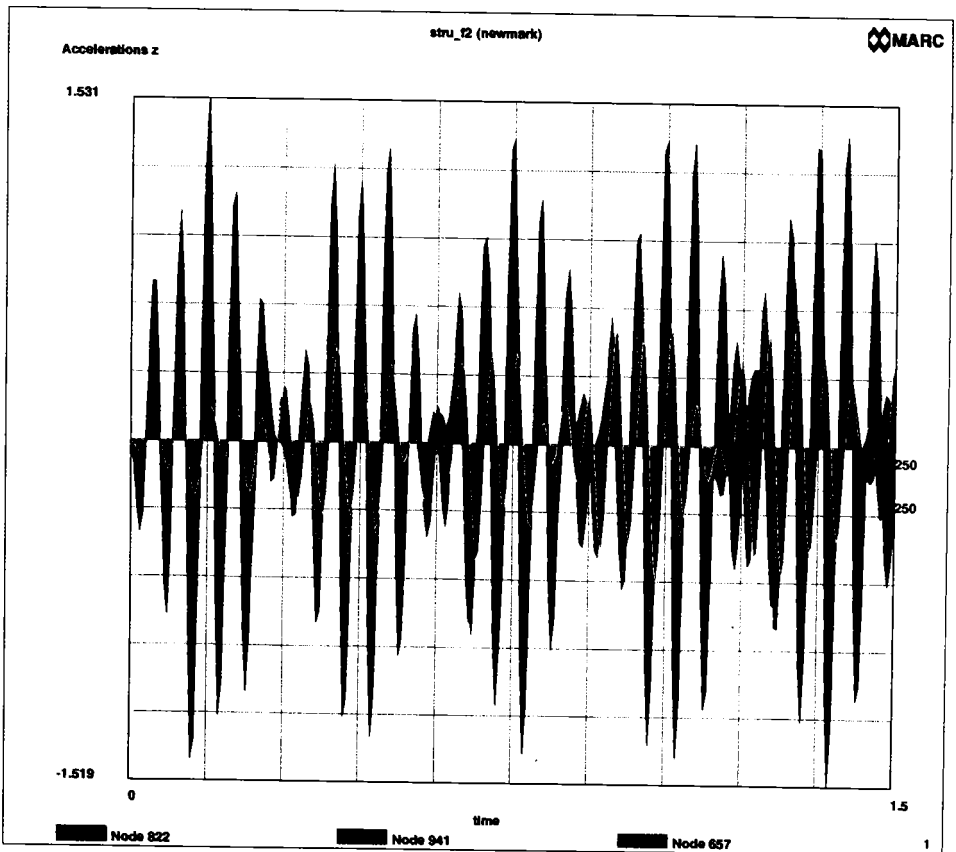


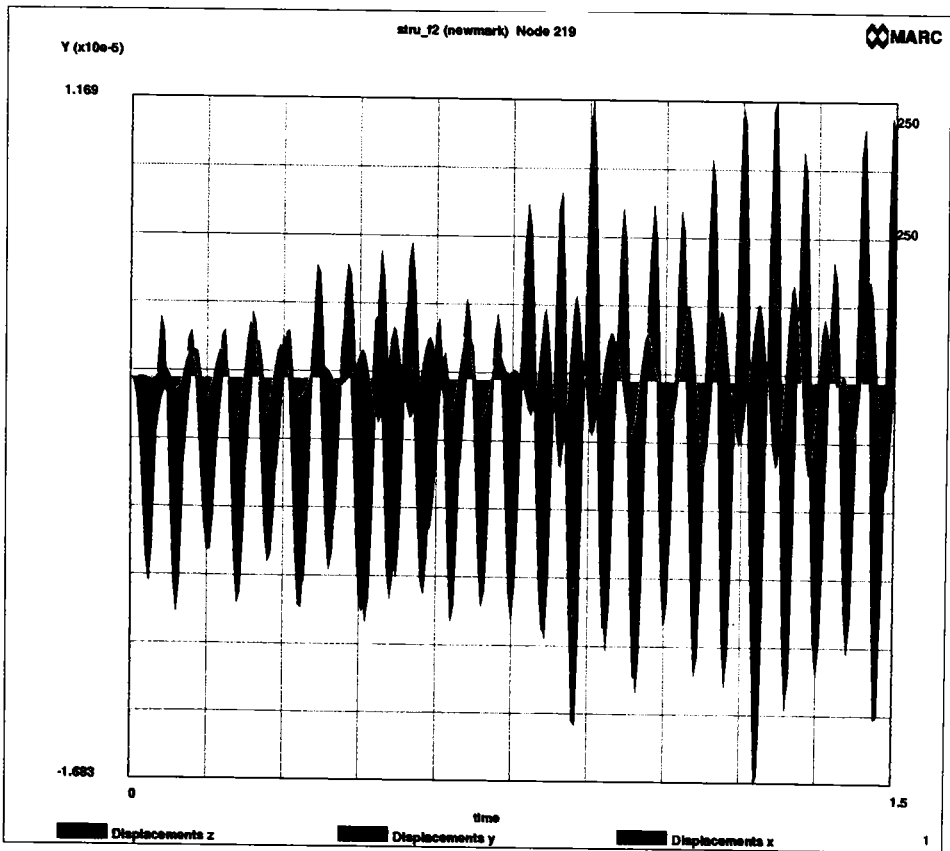


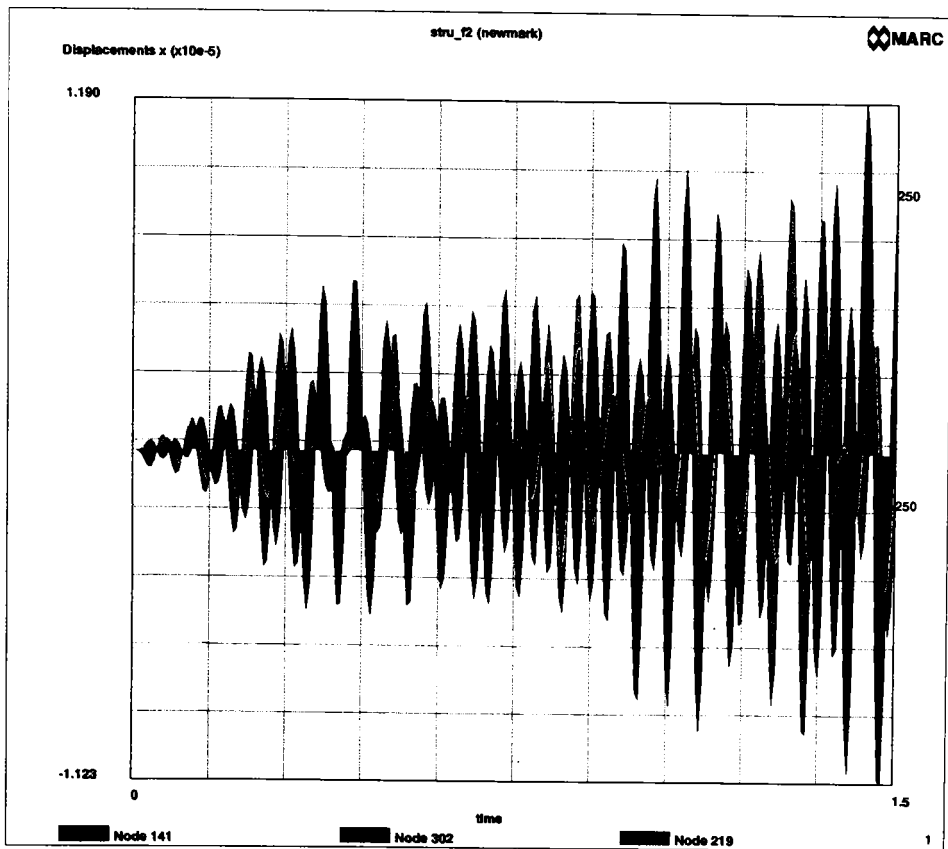


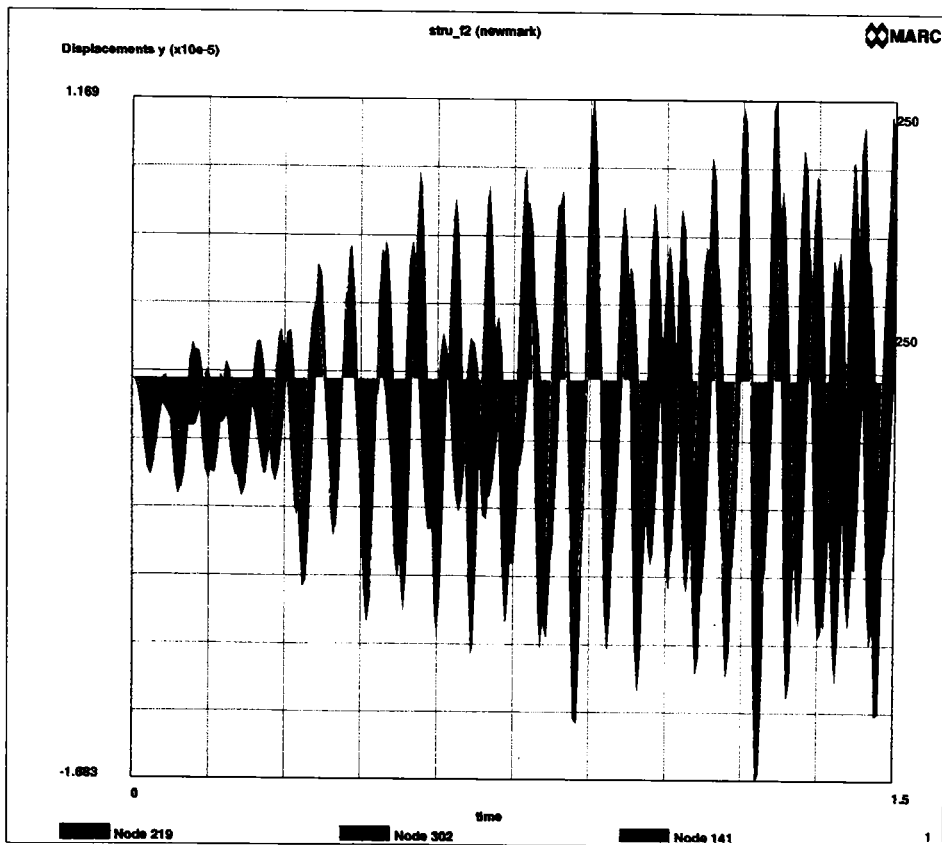


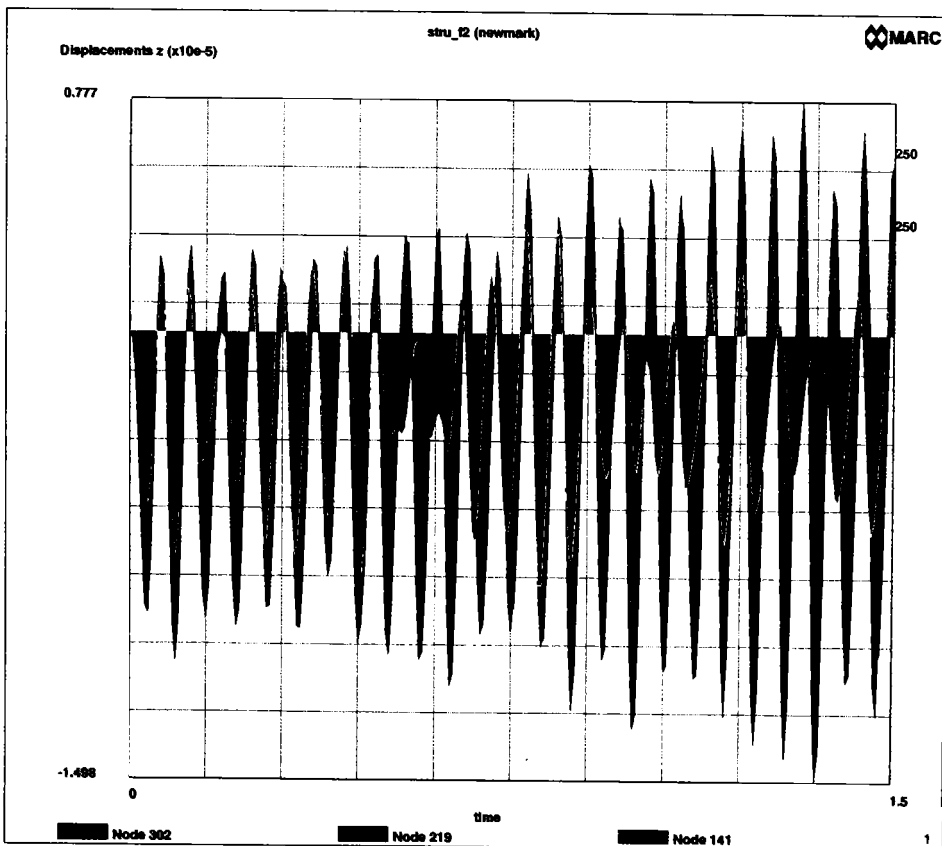


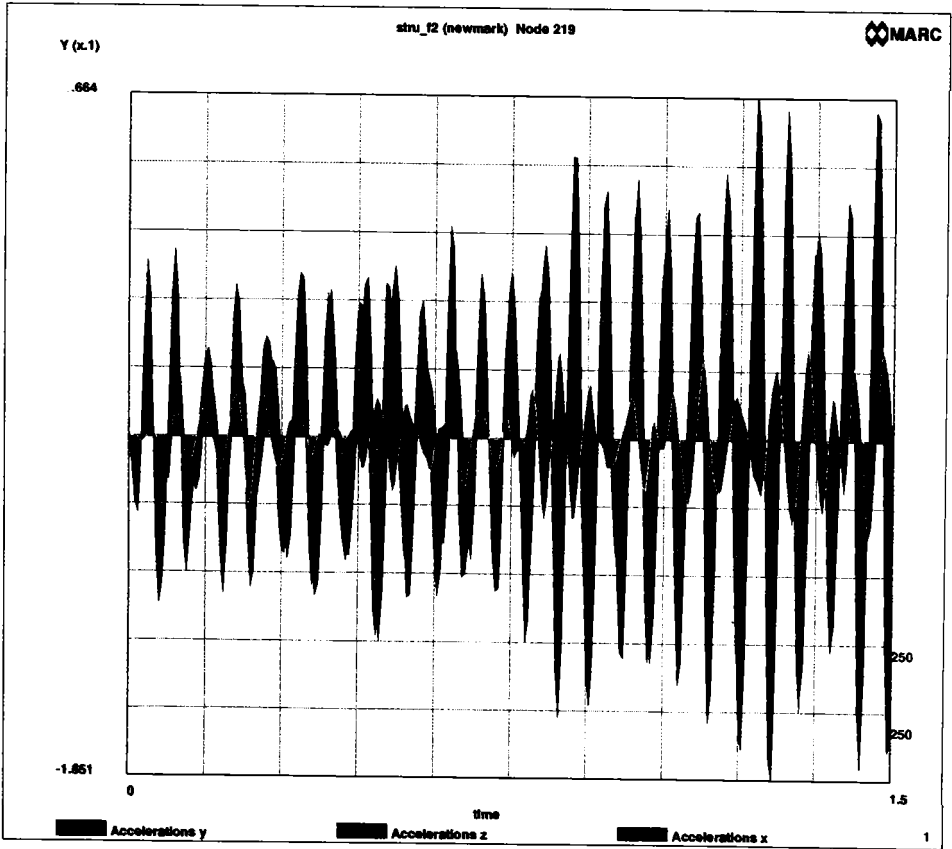


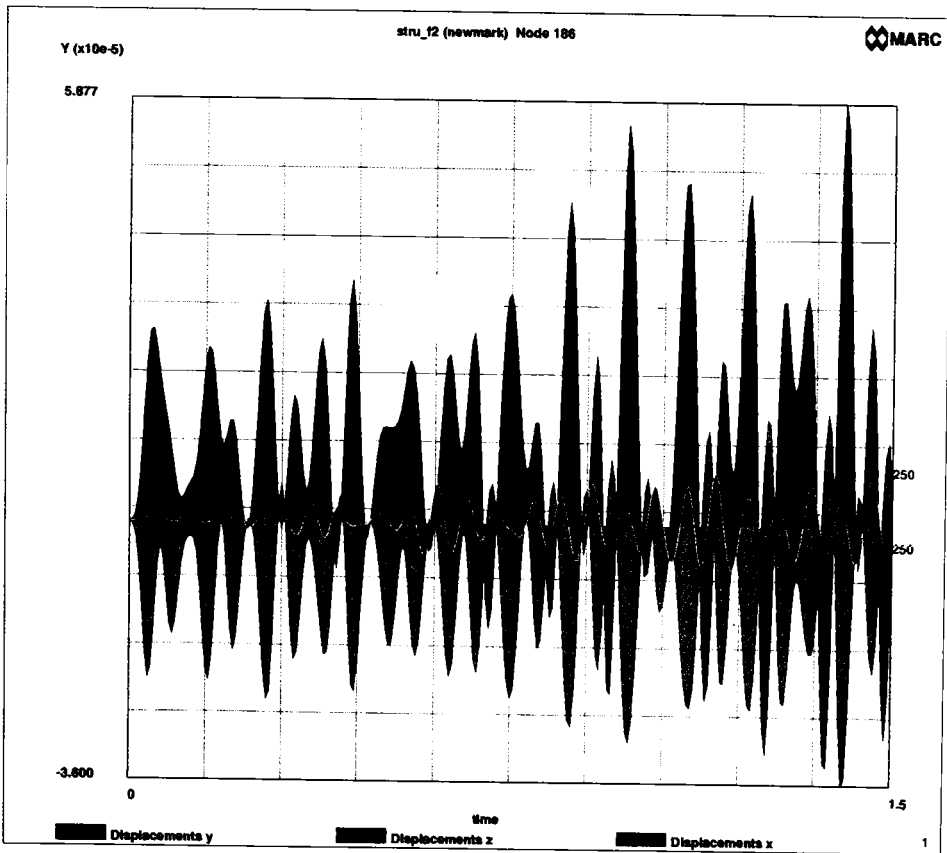


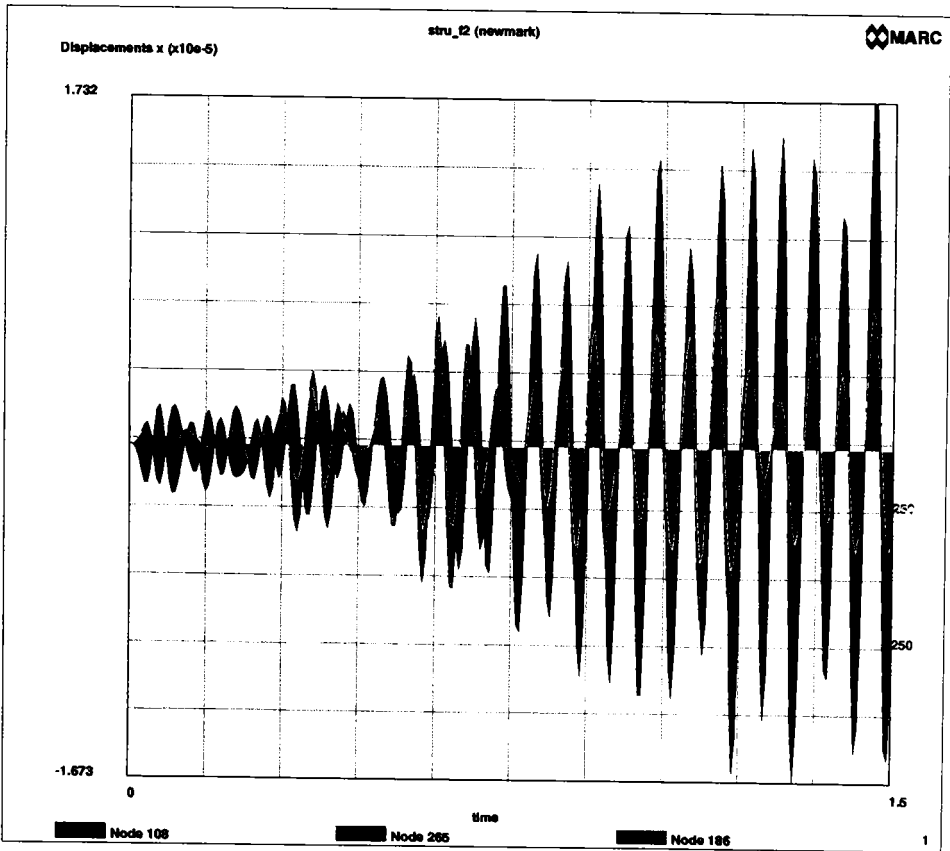




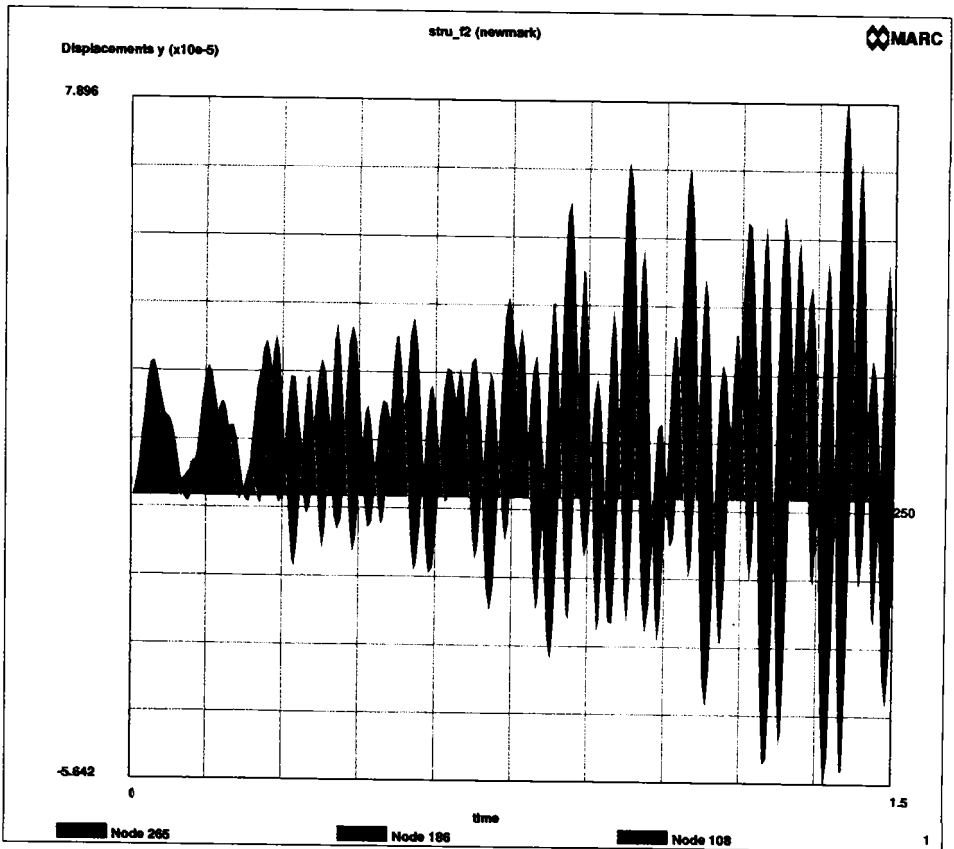


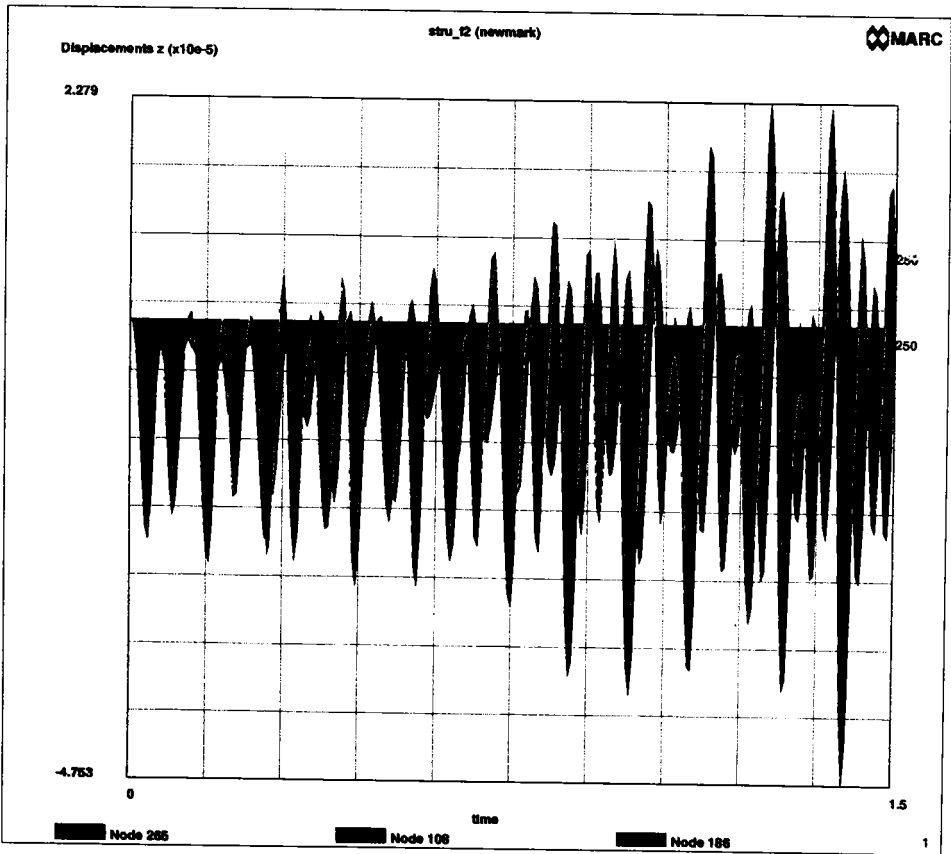


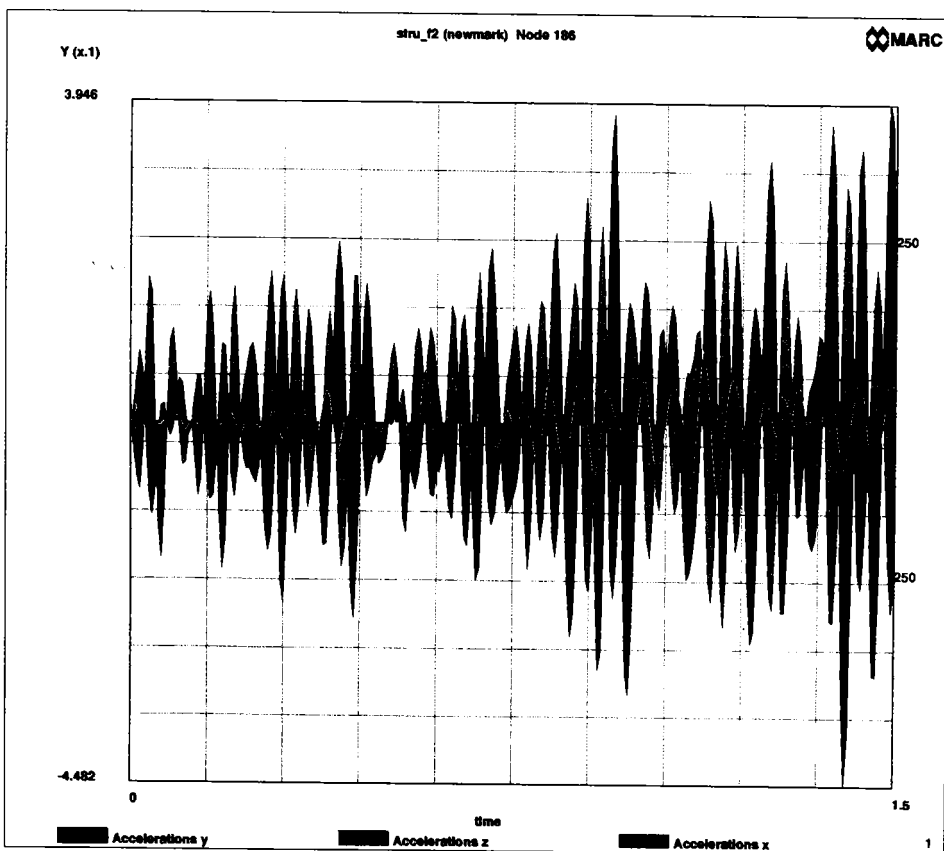


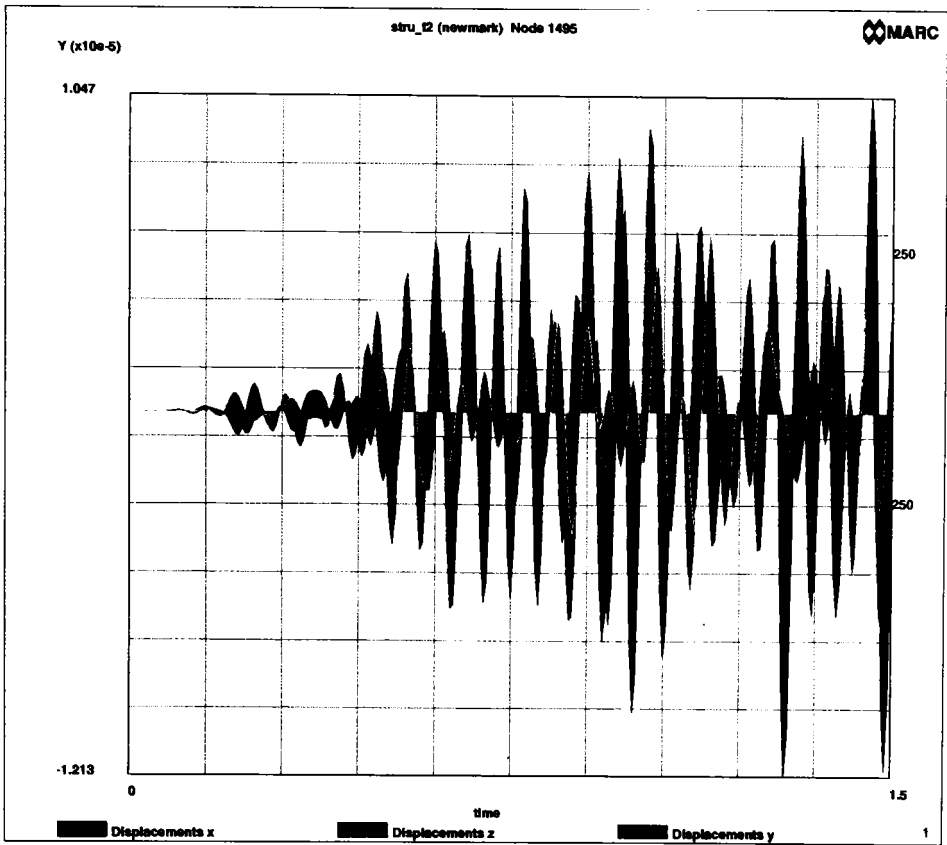


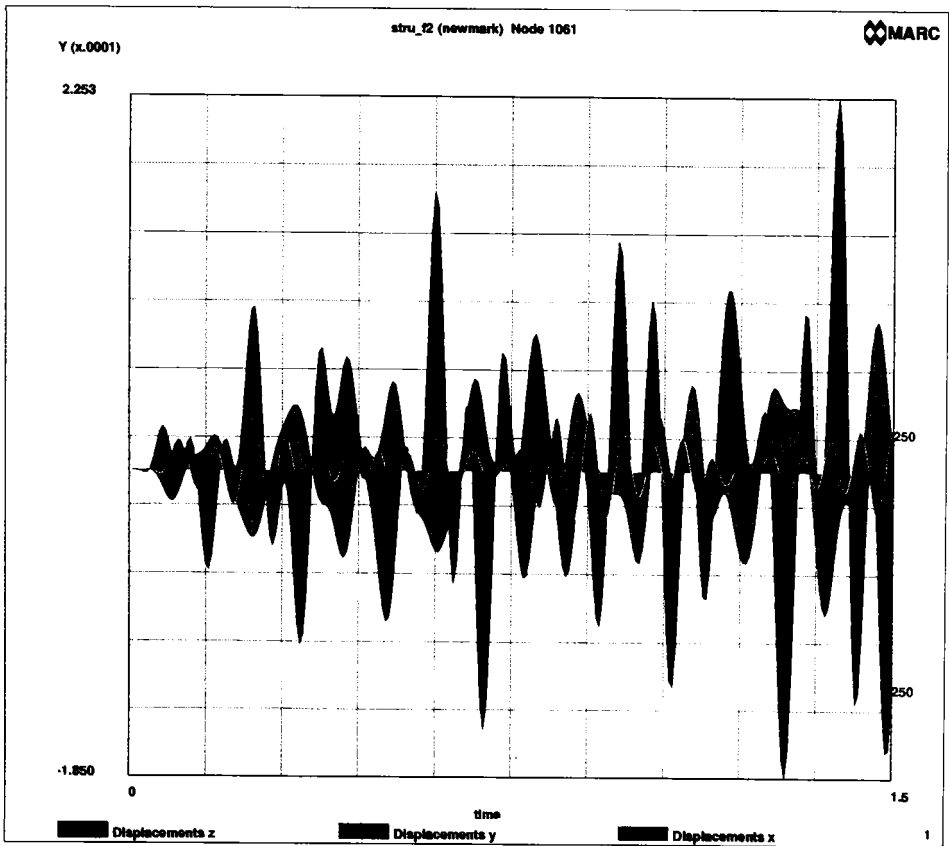


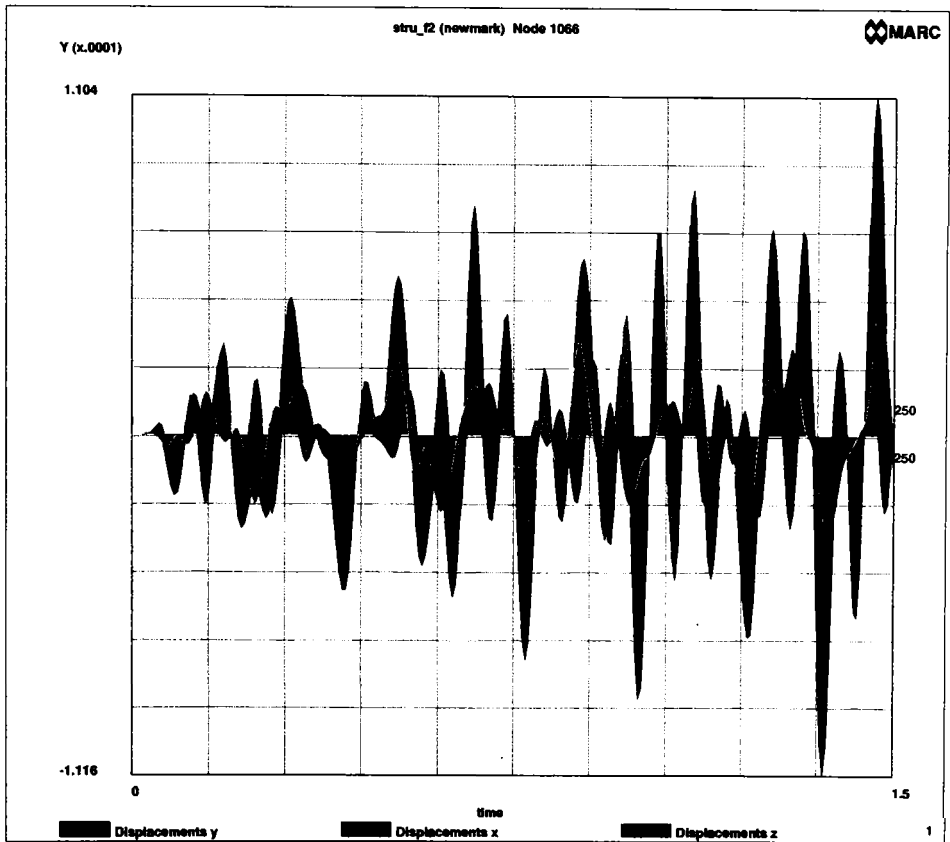


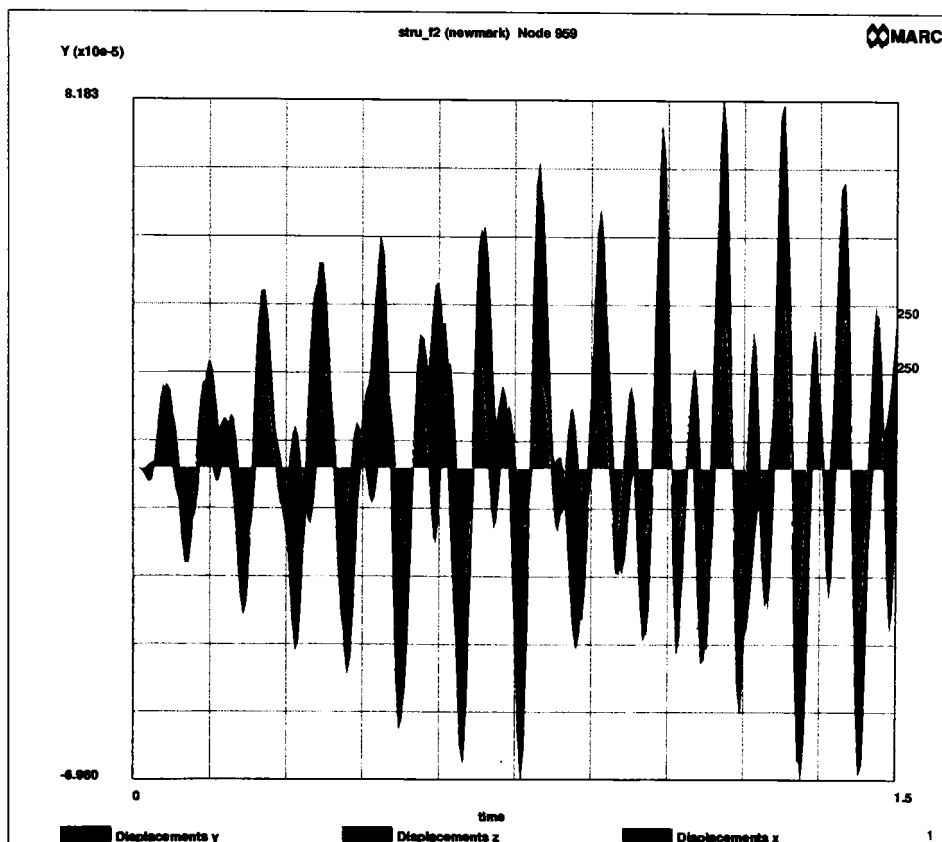


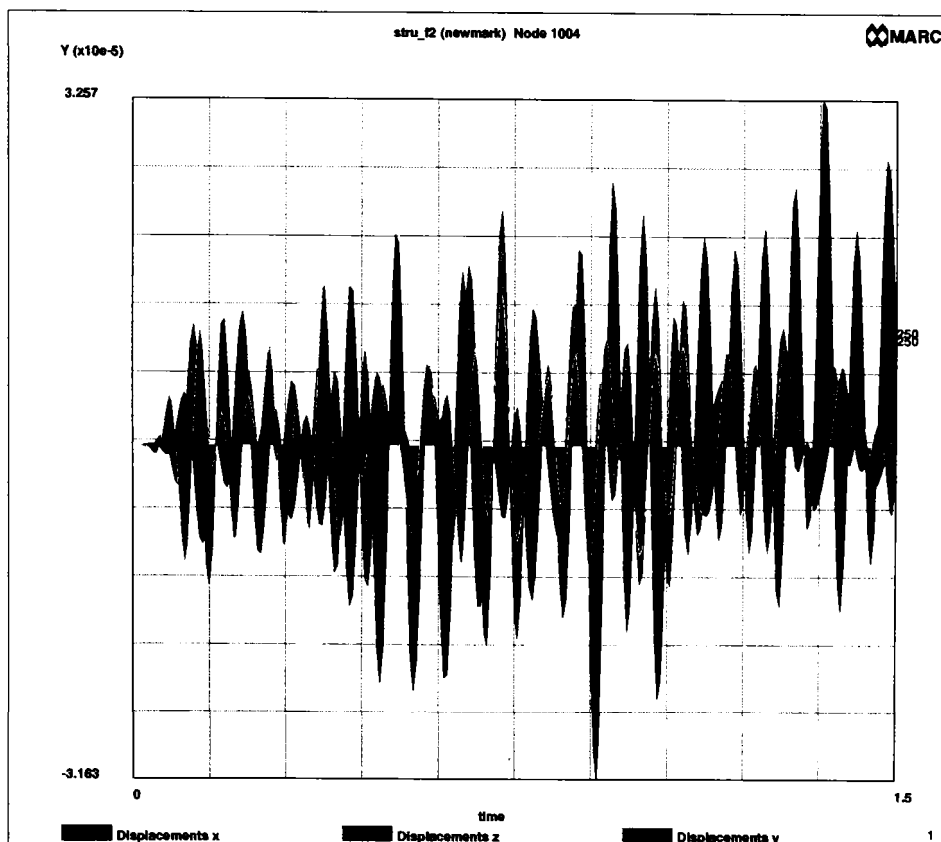




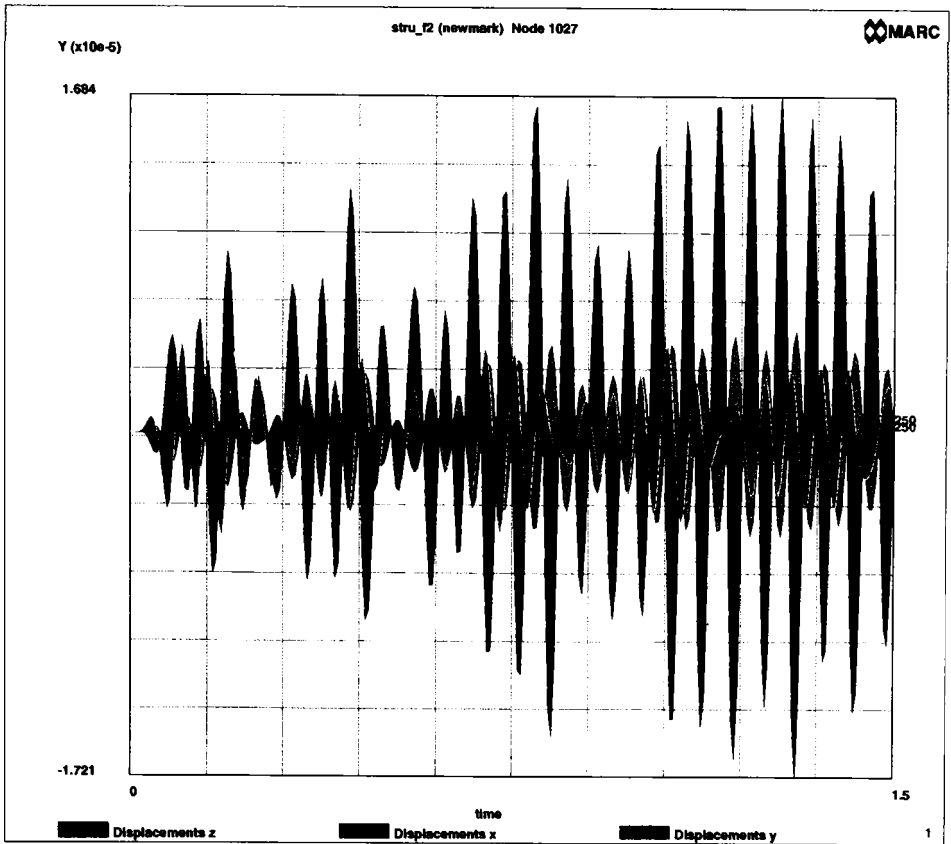


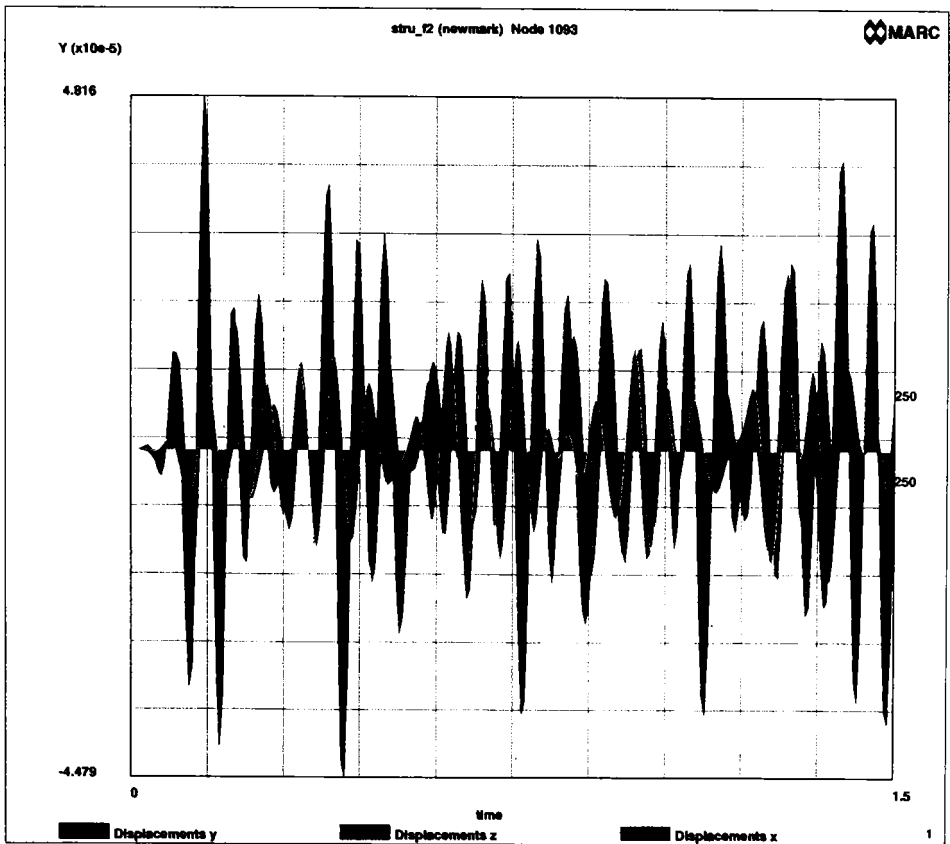


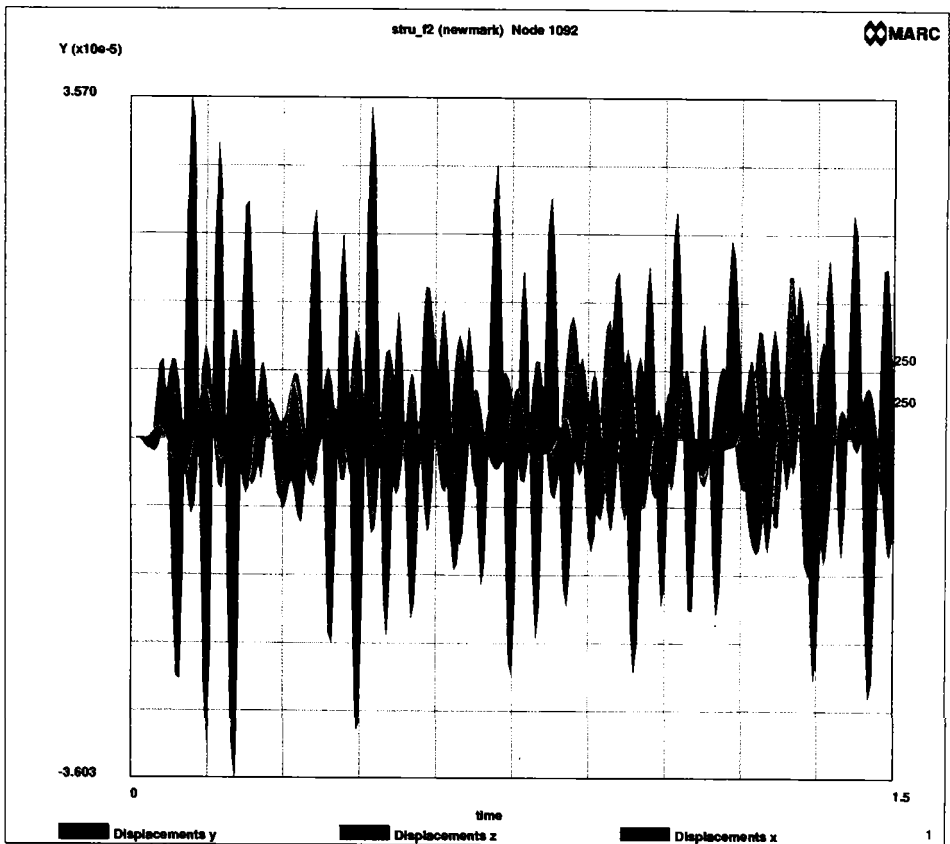


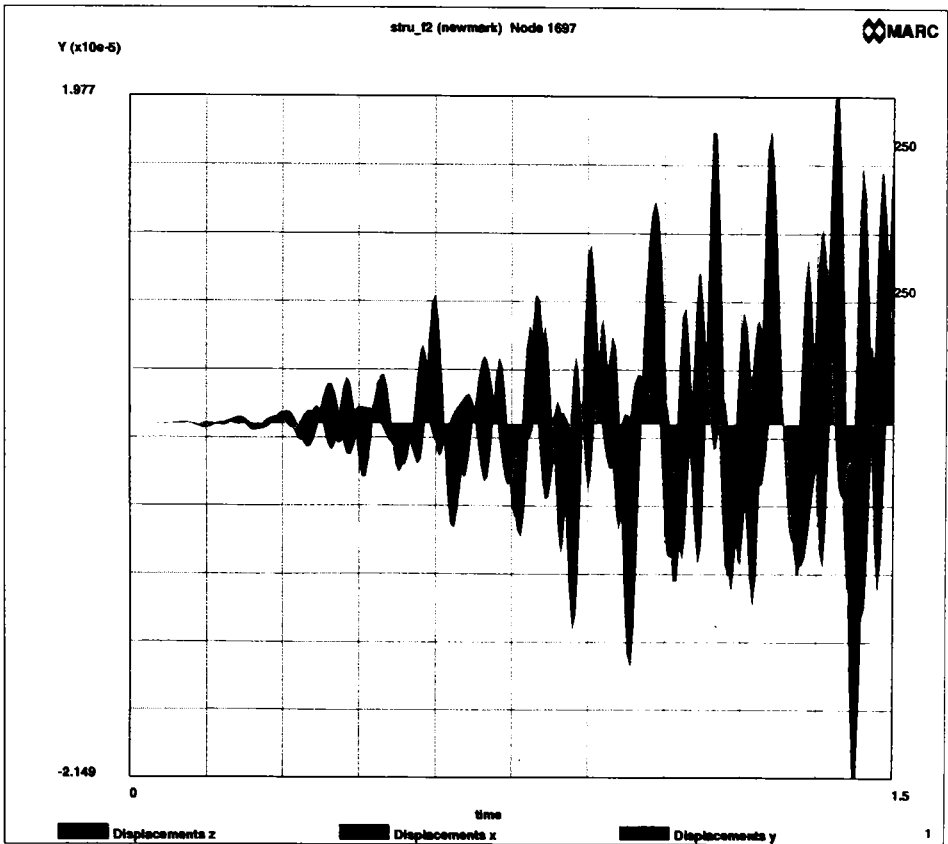


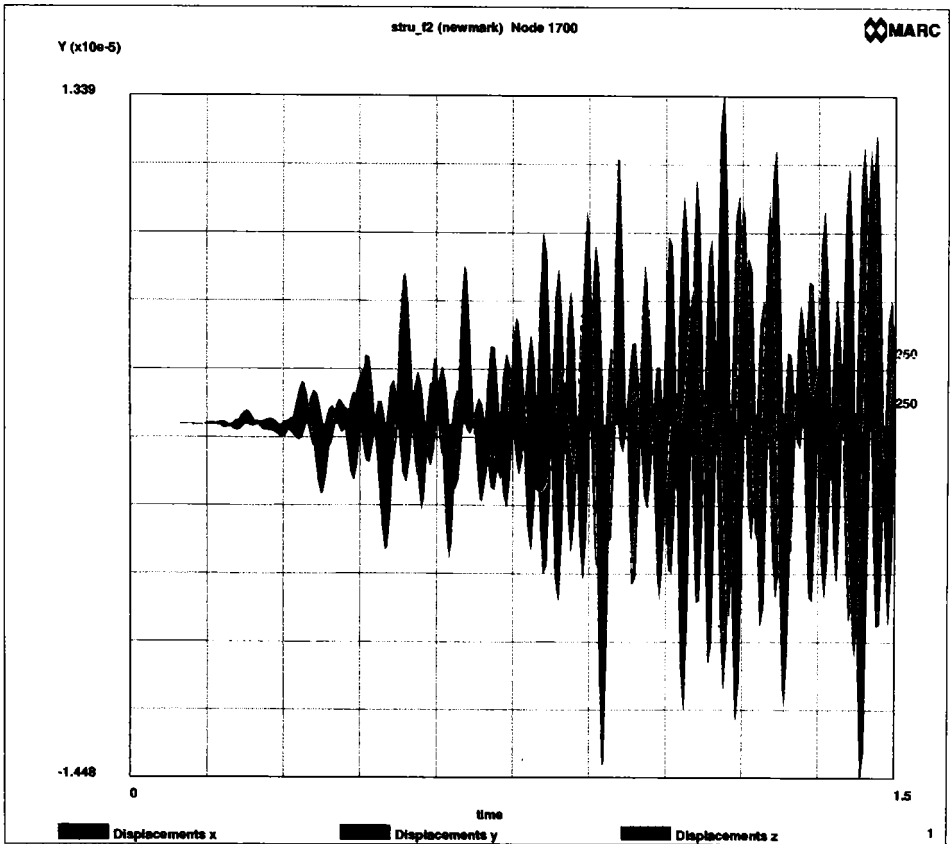












**CALCULUL VIBRATIILOR FORTATE pentru:**

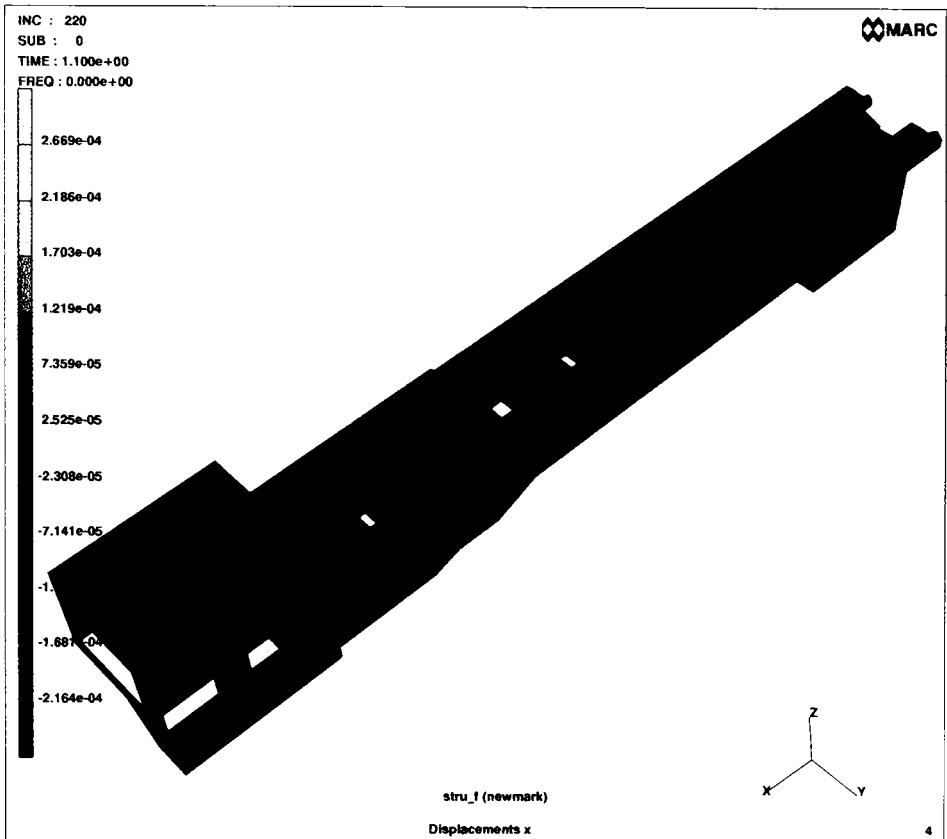
$$n=1200 \text{ rpm}$$

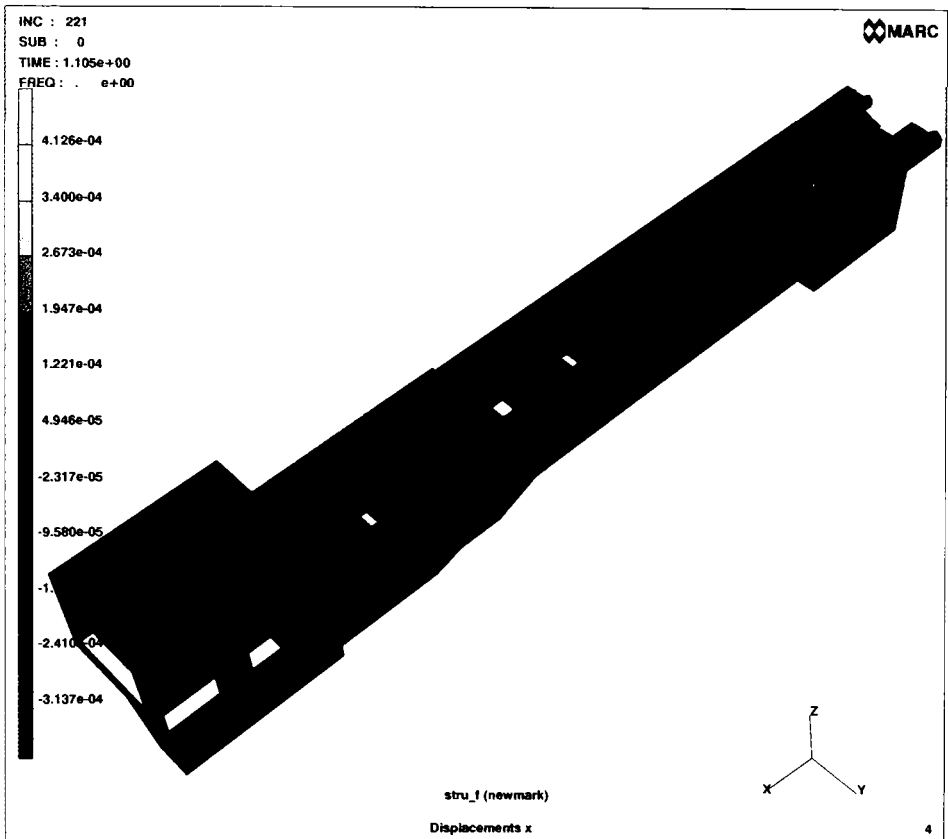
$$t=1.5 \text{ s} ; \Delta t =0.005 \text{ ms}$$

$$p_{nod} = \bar{p}_{o,nod} + p_o \cos \omega t$$

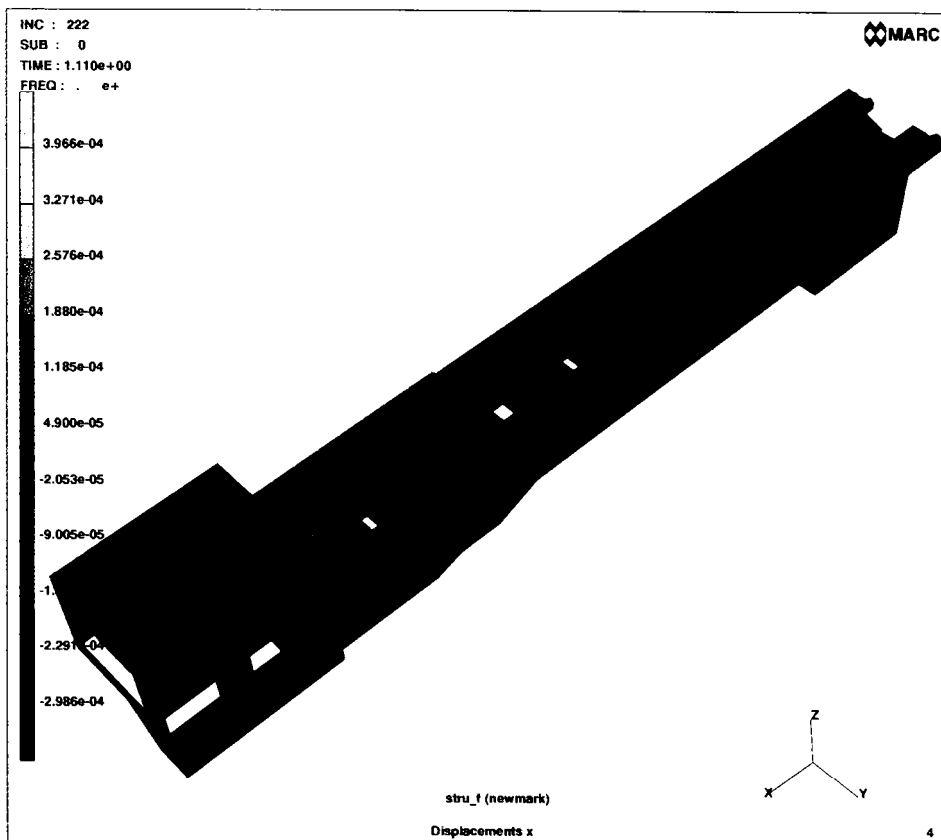
$$p_o = 0.1 \bar{p}_{o,nod}$$

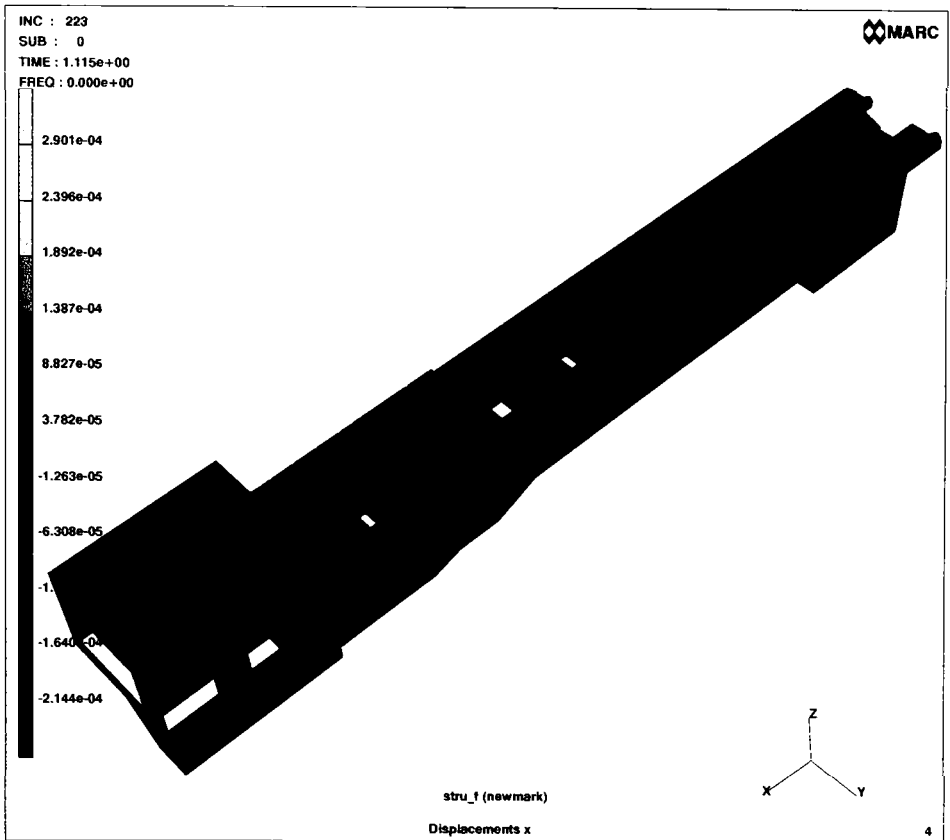
**amortizare structurala**

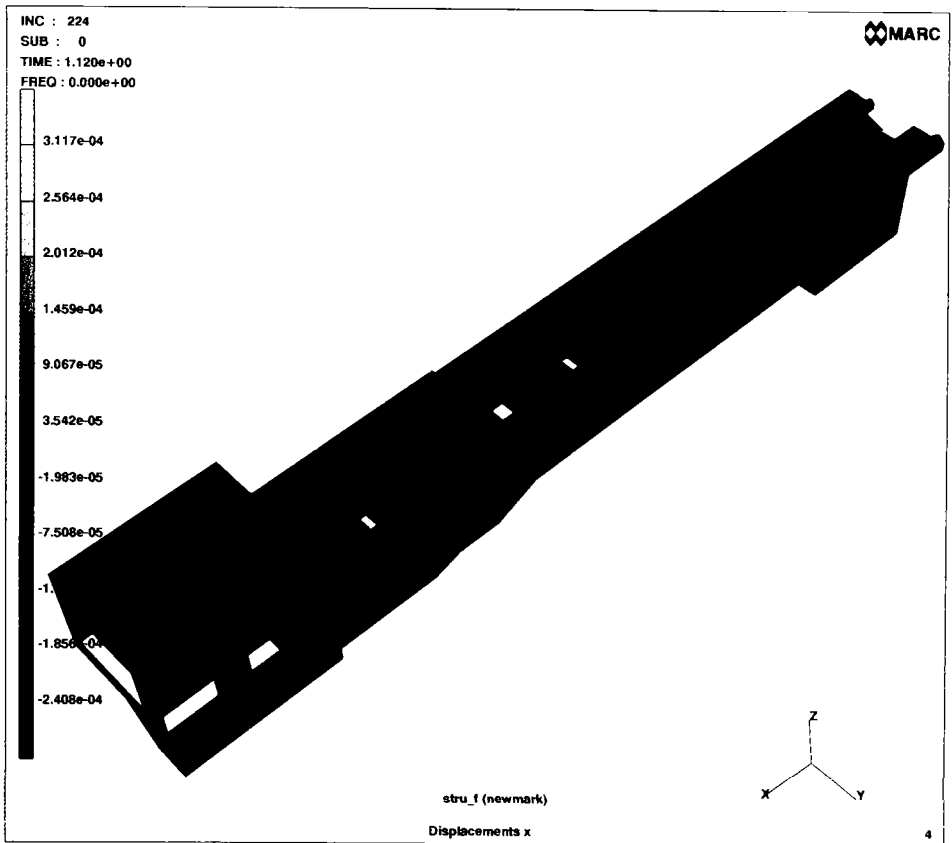


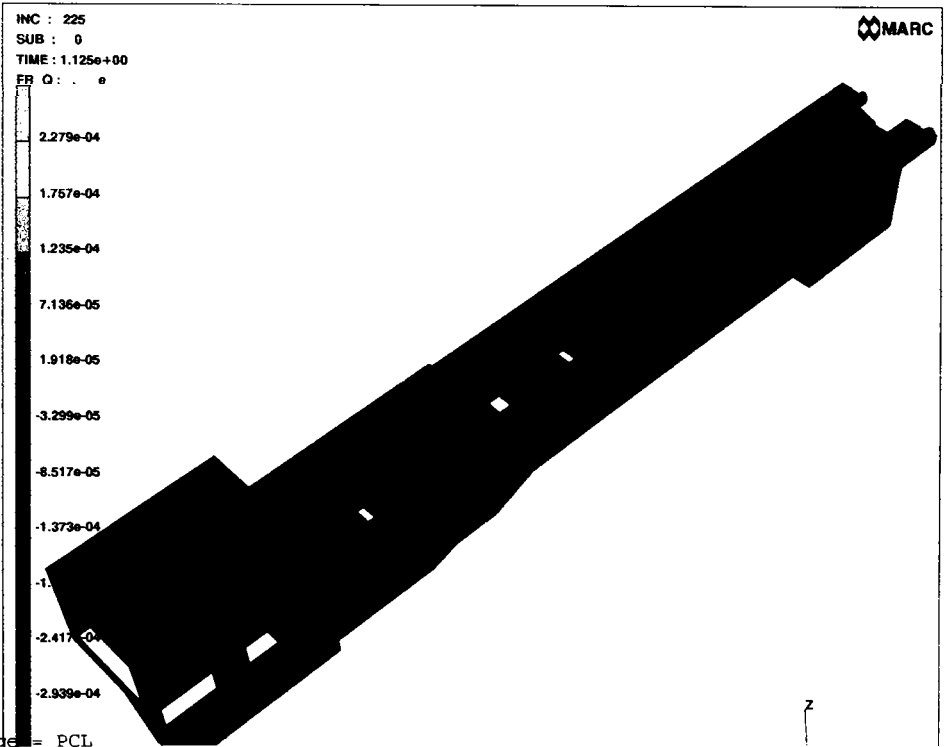












pr language = PCL

